

РЕПУБЛИКА БЪЛГАРИЯ

(19) BG

(11) 60441 B2

5(51) С 07 К 15/26

С 12 Р 21/00

А 61 К 37/02



ОПИСАНИЕ КЪМ ПАТЕНТ

ЗА

ИЗОБРЕТЕНИЕ

ПАТЕНТНО ВЕДОМСТВО

(21) Регистров № 98456

(22) Заявено на 11.02.94

(24) Начало на действие  
на патента от: 11.02.94

Приоритетни данни

(31)

(32)

(33)

(41) Публикувана заявка в  
бюлетин № на

(45) Отпечатано на 30.06.95

(46) Публикувано в бюлетин № 3  
на 15.03.95

(56) Информационни източници:

(62) Разделена заявка от рег.

(73) Патентопритецател(и):

Biogen, Inc., Cambridge, MA (US)

(72) Изобретател(и):

Walter Charles Fiers, Destelbergen (BE)

(74) Представител по индустриална  
собственост:

Румяна Стефанова Слабова,  
1000 София, бул. "Васил Левски" 68  
вх. 2, ап. 31

(86) № и дата на РСТ заявка:

(87) № и дата на РСТ публикация:

Издава се съгласно § 4 от Преходните и заключителните разпоредби на  
Закона за патентите на основание патент US № 57069 издаден на 21.08.92

(54) ДНК ПОСЛЕДОВАТЕЛНОСТИ, РЕКОМБИНАНТНИ ДНК МОЛЕКУЛИ И МЕТОДИ ЗА  
ПОЛУЧАВАНЕ НА ПЕПТИДИ, ПОДОБНИ НА ЧОВЕШКИ ФИБРОБЛАСТЕН ИНТЕРФЕРОН

(57) Изобретението се отнася до ДНК последователности, рекомбинантни ДНК молекули и методи  
за получаване на полипептиди, които са сродни с човешкия фибробластен интерферон. По-специално  
изобретението се отнася до ДНК секвенции за интерферони, експресирани в подходящ госто-  
приемник.

25 претенции, 13 фигури

BG60441 B2

(54) ДНК ПОСЛЕДОВАТЕЛНОСТИ, РЕКОМБИНАНТНИ ДНК МОЛЕКУЛИ И МЕТОДИ ЗА ПОЛУЧАВАНЕ НА ПЕПТИДИ, ПОДОБНИ НА ЧОВЕШКИ ФИБРОЛАСТЕН ИНТЕРФЕРОН

ОБЛАСТ НА ТЕХНИКАТА

Изобретението се отнася до ДНК последователности, рекомбинантни ДНК молекули и метод за получаване на

полипептиди от рода на човешки фибробластен интерферон. По-специално изобретението се отнася до ДНК последователности, експресирани в подходящ гостоприемник. Рекомбинантната молекула, описана тук, се характеризира с ДНК последователности, кодиращи пептиди, чито аминокиселинни секвенции и композиция са съществено съвместими с човешки фибробластен интерферон и които имат имунологичната и биологична активност на последния. Както ще проличи от изложеното по-долу, ДНК последователностите, рекомбинантните ДНК молекули и методите на това изобретение могат да се използват за получаване на полипептиди, полезни като антивирусни, антитуморни и антиракови агенти и в други методи.

#### ХАРАКТЕРИСТИКА НА ПРЕДШЕСТВУВАЩОТО СЪСТОЯНИЕ НА ТЕХНИКАТА

Използвана е номенклатура за интерферон публикувана в Nature, 286, p. 2421 (10 юли 1980). Тя замества номенклатурата, публикувана в наши по-ранни изследвания, тъй като новото изобретение претендира за приоритет пред тях. Т. е. IF сега се обозначава IFN, а фибробластен интерферон - IFN-бета.

Известни са два класа интерферони ("IFN"). Интерфероните от клас I са малки, киселинно стабилни (глико)протеини, които правят клетките резистентни към вирусна инфекция (A. Isaacs and J. Lindeman, "Virus interference I. The Interferon", Proc. Royal Soc. Ser. B., 147, pp. 258-67 (1957) and W. E. Stewart, II, The Interferon System, Springer-Verlag (1979)(подолу "The Interferon System"). Клас II интерфероните са киселинно неустойчиви. Понастоящем те са лошо характери-

зирани. Въпреки, че в известна степен са клетъчно специфични (The Interferon System), интерфероните не са вирусно специфични. Обратно, те запазват клетките срещу широк спектър вируси.

Човешкият интерферон (Hu IFN) е класифициран в три групи - алфа, бета и гама. HuIFN-бета или фибробластен интерферон се произвежда при подходяща индукция от диплоидни фибробластни клетки. Той също така се произвежда в малки количества в лимфобластоидните клетки, заедно с големи количества човешки интерферон-алфа. IFN-бета произведен от тези клетки е детайлно пречистен и характеризиран (E. Knight, Jr., "Interferon: Purification and Initial Characterisation From Human Diploid Cells", Proc. Natl. Acad. Sci. USA, 73, pp. 520-23 (1976)). Той е гликопротеин с молекулно тегло около 20000 ( M. Wiranowska-Stewart, et al., "Contributions of Carbohydrate Moieties to the Physical and Biological Properties of Human Leucocyte, Lymphoblastoid and Fibroblast Interferons", Abst. Ann. Meeting Amer. Soc. Microbiol., p. 246 (1978)). Той е също хетерогенен съобразно теглото си, което се дължи на въглехидратните му съставки.

Аминокиселинната композиция на човешки фибробластен интерферон е описана от E. Knight, Jr., et al., "Human Fibroblast Interferon: Amino Acid Analysis and Amino-Terminal Amino Acid Sequence", Science, 207, pp. 525-26 (1980)). Изясняването на аминокиселинната последователност на автентичен човешки фибробластен интерферон е в ход. До днес е изяснена аминокиселинната последователност на NH<sub>2</sub> края на автентичен зрял протеин за първите 13 аминокиселинни остатъка: Met-Ser-Tyr-Asn-Leu-Leu-Gly-Phe-Leu-Gln-Arg-Ser-Ser... (E. Knight, Jr., et al., по-горе).

Известно е, че два различни гена, единият локализиран в хромозома 2, а другият в хромозома 5 кодират интерферон-бета (D. L. Slate and R. H. Ruddle, "Fibroblast Interferon in Man Is Coded by Two Loci on Separate Chromosomes", Cell, 16, pp. 171-80 (1979)). Други изследвания обаче показват, че генът за интерферон-бета се намира върху девета хромозома (A. Medger et al., "Involvement of a Gene on Chromosome 9 in Human Fibroblast Interferon Production", Nature, 280, pp. 493-95 (1979)).

Въпреки че автентичният интерферон-бета е гликозилиран, отстраняването на въглехидратната част (P. J. Bridgen, et al., "Human Lymphoblastoid Interferon", J. Biol. Chem., 252, pp. 6585-87 (1977)) или синтез на интерферон-бета в присъствие на инхибитори, които пречат на гликозилирането (W. E. Stewart, II, et al., "Effect of Glycosylation Inhibitors on the Production and Properties of Human Leucocyte Interferon", Virology, 97, pp. 473-76 (1979); J. Fujisawa et al., "Nonglycosylated Mouse L Cell Interferon Produced by the Action of Tunicamycin", J. Biol. Chem., 253, pp. 8677-79 (1978); E. A. Havel et al., "Altered Molecular Species of Human Interferon Produced in the Presence of Inhibitors of Glycosylation", J. Biol. Chem., 252, pp. 4425-27 (1977); The Interferon System, p. 181) дава по-малка форма от интерферон-бета, който запазва повечето или всички активности на интерферона.

Човешки интерферон-бета, както много човешки протеини може да бъде полиморфен. Следователно клетки или отделни индивиди могат да произвеждат видове интерферон-бета в по-общия клас, които да са физиологично сходни, но структурно леко различни от протеина на класа, към който се числят. Така че, докато протеиновата структура на интерфе-

рон бета общо е добре дефинирана, то някои индивиди могат да произвеждат интерферони, които леко варират от нея.

Интерферон-бета обикновено не се открива в нормални или здрави клетки (The Interferon System, pp. 55-57). Той се произвежда, когато клетката е обект на индуктор на интерферон. Интерферонови индуктори обикновено са вируси, но богат да бъдат и невирусни по характер, като естествена или синтетична двойноверижна РНК, вътреклетъчни микроби, микробиални продукти и различни химични агенти. Направени са много опити да се извлече полза от тези невирусни индуктори, за да станат човешките клетки резистентни на вирусни инфекции (S. Barons and F. Dianzani (eds.), Texas Reports On Biology And Medicine, 35 ("Texas Reports"), pp. 528-40 (1977)). Тези опити не са много успешни. Вместо това, сега се предпочита езогенен интерферон.бета.

Интерфероновата терапия срещу вируси, тумори и рак се провежда с различни режими на дозите и с различни начини на прилагане (The Interferon System, pp.305-321). Например интерферон се прилага успешно орално, чрез инжектиране - интрамускулно, интравенозно, интраназално, интрадермално и подкожно - ,също и под формата на очни капки, мехлеми или спрей. Той обикновено се прилага един до три пъти дневно в дози от  $10^4$  до  $10^7$  единици. Продължителността на терапията зависи от пациента и условията на лечение. Напр. вирусни инфекции се третират един или два пъти дневно в продължение на няколко дни (до две седмици), един до няколко пъти дневно, повече от няколко месеци или дори години. Най-ефективната терапия за даден пациент трябва да бъде определена от съответен лекар, който да прецени факторите като степен на заболяването, предшествуваща

терапия и отговора на пациента към интерферон при избрания начин на приложение и режим на дозировка.

Като антивирусен агент, човешки интерферон се използва за лечение на следното: респираторни инфекции (Texas Reports, pp. 486-496); херпесно-вирусен кератит (Texas Reports, pp. 497-500); R. Sundmacher, "Exogenous Interferon in Eye Diseases", International Virology, IV, The Hague, Abstract nr. W2/11, p. 99 (1978)); акутен хеморагичен конюнктивит (Texas Reports pp. 501-10); адено-вирусен кератоконюнктивит (A. Romano et al., ISM Memo I-A8131 (October, 1979)); варицела зостер (Texas Reports pp. 511-15); цитомегаловирусна инфекция (Texas Reports, pp. 523-27); и хепатит B (Texas Reports, pp. 516-22). Виж също и The Interferon System, pp. 307-19. Обаче широкоспектърното използване на интерферона като вирусен агент изисква по-големи количества от него, отколкото са достъпни до този момент.

В прибавка към антивирусното, интерферонът има и други действия. Например той е антагонист на действието на фактора, стимулиращ колониите, инхибира растежа на хемопоетичните, формиращи колонии клетки и повлиява нормалната диференциация на гранулоцитните и макрофагови предшественици (Texas Reports pp. 343-49). Той също инхибира еритроидната диференциация в левкемични клетки на Friend, третирани с DMSO (Texas Reports pp. 420-28). Отбелязано е, че в това отношение някои клетъчни линии могат да бъдат значително по-чувствителни към интерферон-бета, отколкото към интерферон-алфа (S. Einhorn and H. Strander, "Is Interferon Tissue-Specific? - Effect of Human Leucocyte and Fibroblast Interferons on the Growth of Lymphoblastoid and Osteosarcoma Cell Lines", J. Gen. Virol., 35, pp. 573-77 (1977); T.

Kuwata, et al., "Comparison of the Suppression of Cell by Leucocyte and Fibroblast Interferon", J. Gen. Virol., 43, pp. 435-39 (1979)).

Интерферонът може също да играе роля в регулирането на имунния отговор. Например в зависимост от дозата и времето на приложение по отношение на антигена, IFN може да бъде както имуностимулиращ, така и имуносупресиращ *in vivo* и *in vitro* (Texas Reports, pp.357-69). В прибавка, е наблюдавано, че специфично сенсибилизираните лимфоцити произвеждат интерферон след контакт с антигена. Следователно, такъв антигенно индуциран интерферон може да бъде регулатор на имунния отговор, повлияващ както нивата на циркулиращия антиген, така и изявата на клетъчния имунитет (Texas Reports, pp.370-74). Известно е също, че интерферонът повишава активността на килърните лимфоцити и антитялозависимата, клетъчно-медирирана цитотоксичност (R. R. Herberman, et al., "Augmentation by Interferon of Human Natural and Antibody-Dependent Cell-Mediated Cytotoxicity", Nature, 277, pp. 221-23 (1979); P. Beverly and D. Knight, "Killing comes Naturally", Nature, 278, pp. 119-20 (1979); (Texas Reports, pp. 375-80); J. R. Huddlestome, et al., "Induction and Kinetics of Natural Killer Cells in Humans Following Interferon Therapy", Nature, 282, pp 417-19 (1979); S. Einhorn, et al., "Interferon and Spontaneous Cytotoxicity in Man. II. Studies in Patients Receiving Exogenous Leucocyte Interferon", Acta Med. Scand., 204, pp. 477-83 (1978)). И двете могат директно и индиректно да се включат в имунологичната атака върху туморните клетки.

Следователно в допълнение към използването му като антивирусен агент, интерферонът има потенциално приложение

при антитуморната и антиракова терапия (The Interferon System, pp. 319-21 и 394-99). Известно е, че интерфероните повлияват растежа на много класове тумори в различни животни (The Interferon System, pp. 292-304). Те, както и другите антитуморни агенти, изглеждат най-ефективни, когато са насочени срещу малки тумори. Антитумарното действие на животински интерферон е зависимо от дозировката и времето, но е демонстрирано при концентрации под токсичните нива. Същевременно различни опити са проведени и продължават да се провеждат върху антитуморните и антиракови свойства на човешките интерферони. Те включват лечение на различни злокачествени заболявания като остеосаркома, акутна миелоидна левкемия, мултиплена миелома и болест на Ходжкин; (Texas Reports, pp. 429-35). В прибавка, скоро е показано, че човешкият интерферон-бета причинява локална туморна регресия, когато е инжектиран в подкожни туморни възли в поразени от меланома или рак на гърдата пациенти (T. Nemoto, et al., "Human Interferons and Intralesional Therapy of Melanoma and Breast Carcinoma", Amer. Assoc. For Cancer Research, Abs. nr. 993, p. 246 (1979)). Въпреки че резултатите от тези клинични тестове са окуражаващи, антитуморното и антираково приложение на интерферон-бета е силно осуетено от липсата на адекватно снабдяване с пречистен интерферон. Забележително е, че някои клетъчни линии, които са резистентни на антиклетъчното действие на интерферон-алфа, остават чувствителни към интерферон-бета. Това диференцирано действие показва, че интерферон-бета може да бъде успешно използван срещу някои класове резистентни туморни клетки, които се появяват след избирателен

натиск у пациенти, третирани с високи дози интерферон-алфа (T. Kuwata, et al., по-горе; A. A. Creasy, et al., "The role of Go-G1 Arrestin the Inhibition of Tumor Cell Growth by Interferon", Abstracts, Conference on Regulatory Functions of Interferons, N. Y. Acad. Sci., nr 17 (October 23-26, 1979)).

На биохимично ниво интерфероните индуцират формирането поне на три протеина, протеинкиназа (B. Lebleu et al., "Interferon, Double-Stranded RNA and Protein Phosphorylation", Proc. Natl. Acad. Sci. USA, 73, pp. 3107-11 (1976); A. G. Hovanessian and I. M. Kerr, "The (2'-5') Oligoadenylyate (pppA2'-5'A2'-5'A) Synthetase and Protein Kinase(s) From Interferon Treated Cells", Eur. J. Biochem., 93, pp. 512-16 (1979)), (2'-5') oligo (A) полимераза (A. G. Hovanessian et al., "Synthesis of Low Molecular Weight Inhibitor of Protein Synthesis with Enzyme from Interferon-Treated Cells", Nature, 268, pp 537-39 (1977); A. G. Hovanessian and I. M. Kerr, Eur. J. Biochem., по-горе) и фосфодиестераза (A. Schmidt, et al., "An Interferon-Induced Phosphodiesterase Degrading (2'-5') oligoisoadenylate and the C-C-A Terminus of t RNA", Proc. Natl. Acad. Sci. USA, 76, pp. 4788-92 (1979)).

Изглежда, че и интерферон-бета, и интерферон-алфа включват сходни ензимни пътища (C. Baglioni, "Interferon-Induced Enzymatic Activities and Their Role in the Antiviral State", Cell, 17, pp. 255-64 (1979)), и двата може би имат сходна активна сърцевина, тъй като разпознават кодирания от 21. хромозома клетъчен рецептор (M. Witanowska-Stewart, "The Role of Human Hromosome 21 in Sensitivity to Interferons", J. Gen. Virol., 37, pp. 629-34 (1977)). Появяването на един или повече ензими в клетки, третирани с интерферон, би позволило по-натат-

тъшно характеризиране на протеините със сходна на интерферона активност.

Днес, човешкият интерферон-бета се произвежда от човешки клетъчни линии, отглеждани в тъканна култура. Това е скъп процес със нисък добив. Един голям производител получава само  $40-50 \times 10^8$  единици груб екстракт интерферон-бета за година (V. G. Edy *et al.*, "Human Interferon: Large Scale Production in Embryo Fibroblast Cultures", in Human Interferon (W. R. Stinebring and P. J. Chapple, eds), Plenum Publishing Corp., pp 55-60 (1978)). Интерферон-бета със специфична активност от  $10^6$  единици/мг може да се въстанови с 50% добив от груби клетъчни екстракти, като се пречисти чрез адсорбция върху стъклени сфери с контролиран размер на порите (A. Billiau *et al.*, "Human Fibroblast Interferon for Clinical Trials: Production, Partial Purification and Characterization", Antimicrobial Agents and Chemotherapy, pp. 49-55 (1979)). По-нататъшното пречистване до специфична активност от около  $10^9$  единици /мг се постига с цинково-хелатна афинитетна хроматография с около 100% добив (A. Billiau *et al.*, "Production, Purification and Properties of Human Fibroblast Interferon", Abstracts, Conference on Regulatory Functions of Interferons, N. Y. Acad. Sci., nr 29 (October 23-26 (1979)). Тъй като специфичната активност на човешкия интерферон-бета е много висока, количеството, необходимо за практическо приложение е ниско. Например 100г чист интерферон-бета биха осигурили между 3 и 30 милиона дози.

Настоящият напредък на молекулярната биология направи възможно включването на ДНК, кодираща небактериални еукариотни протеини в бактериални клетки. Общо, с ДНК, която не е получена чрез химичен синтез, конструирането на

такава рекомбинантна ДНК молекула се състои от следните стъпки: получаване на едноверижно ДНК копие (кДНК) от пречистена матрична РНК (мРНК), която е матрица за желания протеин; превръщане на кДНК в двойноверижна ДНК; свързване на ДНК към подходящ участък на подходящо клониращо средство за получаване на рекомбинантна ДНК молекула и трансформирането ѝ в подходящ гостоприемник. Такава трансформация дава възможност на гостоприемника да произвежда желания протеин. Много небактериални гени и протеини се получават в *E.coli* чрез използване на рекомбинантна ДНК технология. Между тях са интерферон-алфа (*S. Nagata, et al.*, "Synthesis in *E. coli* of a Polypeptide with Human Leucocyte Interferon Activity", *Nature*, 284, pp 316-20 (1980)). В допълнение рекомбинантната ДНК технология се използува за получаване на плазмид, съдържащ генна последователност, кодираща интерферон-бета (*T. Taniguchi et al.*, "Construction and Identification of a Bacterial Plasmid Containing the Human Fibroblast Interferon Gene Sequence", *Proc. Japan Acad. Ser. B*, 55, pp. 464-69 (1079)).

Обаче, никъде в миналото не е описана актуалната генна последователност на интерферон-бета и тази последователност не е сравнена с първоначалната аминокиселинна последователност или аминокиселинна композиция на автентичния интерферон-бета. Предната работа е насочена само към интерферон-алфа, който е от клас I и се различава химически, биологически и имунологично от интерферон-бета (вж. по-горе). Последните данни се базират единствено на данните от хибридизацията. Тези данни сами по себе си не могат да определят дали избраният клон съдържа пълната и действуваща генна последователност, кодираща интерферон-

бета и дали клонираната генна последователност ще може да експресира интерферон-бета в бактериите. Хибридизацията само потвърждава, че определен ДНК участък е в дадена степен хомологен и комплементарен със компонент от мРНК от поли-А РНК, която индуцира интерферонна активност, когато е инжектирана в ооцити. Нещо повече, наличието на определена хомологност е зависимо от условията на хибридизация, избрани при скриниращия процес. Следователно, хибридизацията към мРНК компонент от поли(А) РНК само по себе си не показва, че избраната ДНК секвенция е тази, която кодира интерферон-бета и че тя ще бъде полезна при получаването на този полипептид в подходящ гостоприемник.

На семинар в Цюрих на 25 февруари 1980, Танигучи докладва, че е определил нуклеотидната последователност на един от неговите хибридизирани клонове. Той също установи, че първите 13 аминокиселини, кодирани от тази последователност са идентични с тези, определени от E. Knight, Jr., et al., (по-горе)за автентичния HuIFN-бета. Танигучи не показва пълната нуклеотидна последователност за своя клон, нито сравнява неговата аминокиселинна композиция с тази, определена за автентичен човешки интерферон-бета. Той докладва пълната нуклеотидна последователност на своя хибридизиращ клон (T. Taniguchi et al., Gene, 10, pp. 11-15 (1980)). Последователността се различава с един нуклеотид от тази, която е описана и претендираща за патент в British patent application 8011306 от 3 април 1980г., и към което заявление за патент настоящата работа има претенции за приоритет. Аминокиселинната последователност докладвана от Танигучи е описана и с

претенции в предшествуващото заявление. Танигучи също така не докладва за експресия в съответен гостоприемник на полипептидите, които имат биологична и имунологична активност на човешки интерферон-бета по време на попълване на заявлението за британски патент 80.18701 от 6. юни 1980г. към което настоящото заявление също претендира за приоритет. Тази експресия в гостоприемник на полипептид(и), имащи биологична и имунологична активност на човешки интерферон-бета, както и методите, полипептидите, гените и рекомбинантните ДНК молекули свързани с нея, характеризират настоящото изобретение. Това изобретение не се отнася до приготвяне на чиста или съществено чиста мРНК за интерферон-алфа преди опитите да се клонира ген<sup>аг</sup> за интерферон или да се получат пептиди, подобни на фибробластния интерферон в бактериални гостоприемници, както е видно в предложението в Research Disclosure No. 18309, pp. 361-62 (1979).

Най-накрая трябва да се отбележи, че изборът на ДНК последователност или на конструкция от рекомбинантна ДНК молекула, която хибридира с мРНК от полиA РНК (тази, която произвежда HuIFN активност в ооцити), не е достатъчна да покаже, че ДНК последователността или хибридът включен в рекомбинантната ДНК молекула, отговарят на човешки интерферон. При отсъствие на сравнение между аминокиселинната последователност, кодирана от определена ДНК секвенция и аминокиселинната последователност на автентичния протеин, само произвеждането на полипептиди, които показват имунологична или биологична активност на човешки интерферон, могат действително да покажат, че избраната ДНК последователност или

конструираната рекомбинантна ДНК молекула отговарят на HuIFN. Нещо по-важно, само след като е показана такава активност на човешки интерферон, ДНК секвенцията, рекомбинантната ДНК молекула или секвенциите сходни с тях могат да бъдат успешно използвани за избор на други секвенции, отговарящи на HuIFN в съответствие с това изобретение или да се получат рекомбинантни ДНК молекули, които експресират продукти, имащи имунологична или биологична активност на човешки интерферон-бета.

Следователно от гореказаното трябва да стане ясно, че проблемът за получаване на човешки интерферон-бета посредством използването на рекомбинантна ДНК технология е по-различен от всеки от по-горе описаните процеси. Тук определена ДНК последователност с непозната структура - кодираща експресията на човешки интерферон-бета в подходящ гостоприемник - може да бъде намерена и отделена от високо-комплексна смес от ДНК секвенции за да се използва за получаване на човешки интерферон-бета. По-нататък този проблем за локализиране и отделяне се изостря от предсказаната извънредно ниска концентрация на желаната ДНК секвенция в комплексната смес и липсата на ефективни средства за бързо анализиране на многото ДНК последователности в сместа за избиране и отделяне на желаната секвенция.

### СЪЩНОСТ НА ИЗОБРЕТЕНИЕТО

Настоящото изобретение разрешава проблеми, отнасящи се до установяване на мястото и отделяне на ДНК последователности, които кодират експресията на човешки интерферон-бета в подходящ гостоприемник, като при това

осигурява ДНК последователности, рекомбинантни ДНК молекули и методи, чрез които гостоприемника се трансформира в продуциращ бета-тип интерферони.

Въз основа на това изобретение е възможно да се получат бета-тип интерферони за използването им в антивирусни, антитуморни и антиракови агенти и методи. Това изобретение позволява получаването на тези полипептиди в количества и с методи, които не са били достъпни досега.

Както ще се разбере от изложението, което следва, ДНК секвенциите и рекомбинантните ДНК молекули на изобретението са в състояние да направляват произвеждането на бета-тип интерферони в подходящ гостоприемник. Репликацията на тези ДНК секвенции и рекомбинантни ДНК молекули в подходящ гостоприемник също така позволява получаването на големи количества от гени, кодиращи тези полипептиди. Молекулярната структура и свойства на тези полипептиди и гени се определят леко. Полипептидите и гените са полезни както получени в гостоприемника, така и след подходяща дериватизация или видоизменяне, в композиции и методи за определяне или усъвършенствуване получаването на тези продукти сами по себе си и за използването им като антивирусни, антитуморни и антиракови агенти и методи.

Този процес е следователно различен от предните процеси, отбелязани по-горе, тъй като той обратно на тях включва приготвянето и избирането на ДНК последователности и рекомбинантни ДНК молекули, които съдържат подходящи ДНК секвенции, кодиращи поне един интерферон от бета-тип.

От гореказаното се приема, че основният аспект на това изобретение е осигуряването на рекомбинантна ДНК молекула, способна да индуцира в едноклетъчен гостоприемник експресията на полипептид, проявяващ имунологична и биологична активност на човешки интерферон от бета-тип, иначе казано ДНК секвенцията да е избрана така че:

- (a) ДНК участъците G-pPLa-HFIF-67-12 [HincII-Sau3AI], G-pPLa-HFIF-67-12 $\Delta$  19 [HincII-Sau3AI] и G-pPLa-HFIF-67-8 [HincII-Sau3AI], да бъдат носени от микроорганизми, идентифицирани съответно с номера DSM 1851-1854.
- (b) ДНК секвенциите да хибридизират с някои от гореспоменатите участъци и
- (c) ДНК секвенциите, които са дегенерати в резултат на генетичен код на ДНК участъците и секвенциите, дефинирани в (a) и (b) и които при експресията си кодират полипептиди, имащи същата аминокиселинна последователност, да бъдат свързани към една контролираща експресията последователност в споменатата рекомбинантна ДНК молекула. В частност, ДНК последователността (b), която хибридизира с ДНК участъка (a), може да бъде ДНК участък G-pPLa-HFIF-67-12 $\Delta$ M1 [BamHI-SauAI], носена от микроорганизъм, дефиниран със съответен номер ATCC 31824 или ДНК участък p[325]-gHIF-4 [EcoRI], носена от микроорганизъм, дефиниран със съответен номер ATCC 31825.

Тези секвенции позволяват получаването на човешки интерферон-бета и подобни нему полипептиди в съответствие с методите на това изобретение.

#### КРАТКО ОПИСАНИЕ НА ФИГУРИТЕ

Фигура 1 е схематично изображение на една част от методите на изобретението за приготвяне на смес от рекомбинантни ДНК молекули, някои от които се характеризират с включени ДНК последователности, които кодират полипептидите на това изобретение.

Фигура 2 е схематично изображение на процеса на скриниране на първоначалния клон на това изобретение.

Фигура 3 е схематично изображение на една част от процеса на скриниране на клон, използваща ДНК последователност, получена в съответствие с това изобретение.

Фигура 4 представлява съставна нуклеотидна последователност от кодиращата ДНК-верига на човешки интерферон-бета. Последователността е номерирана от началото на участъка до областта, която не се превежда. Нуклеотидите 65-125 представляват сигнална последователност, а нуклеотидите 128-625 представляват "зрял" фибробластен интерферон. Аминокиселинните последователности на сигналния полипептид са изобразени върху съответните им нуклеотидни секвенции; аминокиселините на сигналния полипептид са номерирани от -21 до -1, а аминокиселините на зрелия интерферон - от 1 до 166. Представянето на данните от рестрикционния и фрагментен анализ на ДНК за човешки бета-интерферон, присъстваща в културите депозирани във връзка с заявка за британски патент № 80.11306 от 3. април 1980г. се различава по два нуклеотида във фигура 4, в сравнение с настоящата. Тези промени са в нетранслирана секвенция, която предхожда предложената сигнална секвенция в ДНК на човешки интерферон-бета. Тези промени нямат ефект върху ДНК последователността на човешки интерферон-бета, нито върху аминокиселинната секвенция на

нейния трансляционен продукт и не променят използването на последователността като хибридационна сонда за скриниране на клонове за свързани с HuIFN-beta ДНК инсерти.

Фигура 5 показва ориентационните и рестрикционни карти на някои плазмиди в съответствие с това изобретение.

Фигура 6 е сравнение на аминокиселинната композиция на човешки фибробластен интерферон, определена в съответствие с настоящото изобретение и тази, определена за автентичен фибробластен интерферон.

Фигура 7 показва рестрикционната карта на гена за човешкия фибробластен интерферон на това изследване и стратегията на секвениране, използвана при секвенирането на pHFIF3, pHFIF6 и pHFIF7.

Фигура 8 е схематично изображение на конструкцията на рекомбинантната ДНК молекула pPLa-HFIF-67-1 от това изобретение.

Фигура 9 е схематично изображение на конструкцията на рекомбинантните ДНК молекули pPLa-HFIF-67-12 и pPLa-HFIF-67-12~~19~~ от това изобретение.

Фигура 10 е схематично изображение на конструкцията на рекомбинантната ДНК молекула pPLa-HFIF-67-8 от това изобретение.

Фигура 11 е схематично изображение на ориентацията и частична рестрикционна карта на pPLa-HFIF-67-12 от това изобретение.

Фигура 12 е схематично изображение на ориентацията и частична рестрикционна карта на pPLa-HFIF-67-12~~19~~ от това изобретение.

Фигура 13 е схематично изображение на ориентацията и частична рестрикционна карта на pPLa-HFIF-67-8 от това изобретение.

### НАЙ-ДОБРИЯТ НАЧИН ЗА ПРОВЕЖДАНЕ НА ТОВА ИЗОБРЕТЕНИЕ

За да може даденото изобретение да бъде пълно разбрано е изложено следното детайлно описание.

В описанието се използват следните термини:

Нуклеотид – Мономерна единица от ДНК или РНК, състояща се от захар (пентоза), фосфатен остатък и азотна хетероциклическа база. Б е свързана със захарта чрез гликозидна връзка (с 1' въглеродния атом на пентозата) и тази комбинация от база и пентоза се нарича нуклеозид. Базата характеризира нуклеотида. Четирите ДНК бази са аденин ("A"), гуанин ("G"), цитозин ("C") и тимин ("T"). Четирите бази на РНК са А, Г, С и урацил ("U").

ДНК последователност (секвенция)-линеарно подредени нуклеотиди, свързани един с друг чрез фосфодиестерни връзки между 3' и 5' въглеродните атоми на съседните пентозни остатъци.

Кодон-ДНК последователност от три нуклеотида (триплет), които кодират чрез мРНК една аминокиселина, сигнал за започване или сигнал за завършване на трансляцията. Например нуклеотидните триплети TTA, TTG, CTT, CTG, CTA и CTG кодират аминокиселината левцин ("Leu"), TAG, TAA и TGA са спиращи трансляцията сигнали, а ATG е трансляционен стартов сигнал.

Рамка на четене-Групирането на кодоните по време на превеждането на м РНК в аминокиселинни секвенции. По

време на трансляцията трябва да се следва точната рамка на четене. Например ДНК секвенцията GCTGGTTGTAAG може да се прояви в три рамки на четене или фази, всяка от които дава различна аминокиселинна секвенция:

GCT-GGT-TGT-AAG"Ala-Gly-Cys-Lys

G-CTG-GTT-GTA-AG"Leu-Val-Val

GC-TGG-TTG-TAA-G"Trp-Leu-(Stop)

Полипептид – Линеарно подреждане на аминокиселини, свързани една с друга чрез пептидна връзка между алфа-амино и карбоксилните групи на съседните аминокиселини.

Геном - Цялата ДНК на клетката или вируса. Тя включва *inter alia* структурните гени, кодиращи полипептида на субстанцията, както и оператора, промотора и последователностите за свързване и взаимодействие с рибозомата, включително последователности като на Shine-Dalgarno.

Структурен ген – ДНК последователност, която кодира чрез своята матрична или информационна РНК (мРНК) последователност от аминокиселини, характерна за специфичен полипептид.

Транскрипция (презписване) – Процесът на получаване на мРНК от структурния ген.

Трансляция (превеждане) – Процесът на получаване на полипептид от мРНК.

Експресия – Процесът, на който е подложен структурния ген, за да се получи полипептид. Той е комбинация между транскрипция и трансляция.

Плазмид – Нехромозомна двойноверижна ДНК последователност, съдържаща интактен репликон, така че плазмидът се реплицира в клетката на гостоприемника. Когато плазмидът е разположен в едноклетъчен организъм, характеристиките

на този организъм могат да се изменят или трансформират в резултат на ДНК на плазмида. Например плазмид, носещ ген за резистентност към тетрациклин (TetR) трансформира клетка, чувствителна към тетрациклин в резистентна към него. Клетка, трансформирана от плазмид се нарича "трансформант".

Фаг или бактериофаг – бактериален вирус. Много от тях се състоят от ДНК последователност, капсулирана в протеинов плик или обвивка ("капсид").

Клониращо средство – Плазмид, фагова ДНК или друга ДНК последователност, способна да се реплицира в клетка на гостоприемник, характеризираща се с едно или малък брой разпознаващи се от ендонуклеаза места, при които може да бъде срязана по определен начин, без това да е придружено от загуба на есенциална биологична функция на ДНК, т.е. репликация, производство на протеини на обвивката или загуба на промотор и свързващи места, при които <sup>съдържа</sup> маркер, удобен за разпознаване на трансформираните клетки – например за резистентност към тетрациклин или ампицилин. Клониращото средство често се нарича вектор.

Клониране – Процес на получаване на популация от организми или ДНК последователности, произлизящи от един и същ организъм или секвенция чрез неполова репродукция.

Рекомбинантна ДНК молекула или хибридна ДНК – Молекула, съдържаща сегменти от ДНК от различни геноми, които са свързани по дължина извън живите клетки, имаща способността да инфектира клетки на гостоприемник и да се поддържа вътре.

Последователност, контролираща експресията –  
 Последователност от нуклеотиди, която контролира и регулира експресията на структурни гени, когато е оперативно свързана към тях. Те включват lac системата, главните операторни и промоторни области на фага ламбда, контролната област на fd покривния протеин и други последователности, способни да контролират експресията на гените на прокариотни и еукариотни клетки и тяхните вируси.

Ако сега се върнем към фигура 1, то там е показано схематично изображение на една част от процеса на приготвяне на смес от рекомбинантни ДНК молекули, някои от които включват изрязани ДНК последователности, които характеризират настоящото изобретение.

ПРИГОТВЯНЕ НА ПОЛИ(А)РНК СЪДЪРЖАЩА мРНК ЗА ЧОВЕШКИ ФИБРОЛАСТЕН ИНТЕРФЕРОН (IFN-beta mRNA)

РНК използвана в това изобретение се екстрагира от човешки VGS клетки, диплоидна фибробластна клетъчна линия, която може да се отглежда в монослойни култури при 37°C. Интерферон-бета се получава в тези клетки при индукция с поли(I,C) в присъствие на циклохексимид.

За типично изолиране на РНК, всяка една от 20 цилиндрични шишета с диплоидни VGS клетки в непрекъснат моносвой се подготвя от предния ден със 100 единици/мл интерферон-бета и културите се индуцират за 1 час със 100 мкг/мл поли(I,C) и 50 мкг/мл циклохексимид, инкубиран се с циклохексимид (50 мкг/мл) 4 часа, събират се чрез изстъргване във фосфатно-буфериран физиологичен разтвор и се утаяват чрез центрофугиране. Клетките се лизират за 15 мин при 0°C чрез разтваряне в хипотоничен буфер ( 10 mM Tris-HCL (pH7.4), 10

мM NaCl и 1.5 мM MgCl<sub>2</sub>) и прибавяне на NP40 до 1% за да се отделят интактните ядра, съдържащи ДНК и да се изолира цитоплазмена РНК. Ядрата се отстраняват чрез утаяване в Sorvall SS-34 ротор за 5 мин при 3000 об/мин. Натриев додецил сулфат ("SDS") и EDTA се прибавят към супернатантата до 1% и 10 мM съответно и сместа се екстрагира 5 пъти с 2 x обем от 1:1 редестилиран фенол и хлороформ-изоамилов алкохол (25:1). Водната фаза, съдържаща РНК, се отделя чрез центрофугиране в Sorvall SS-34 ротор при 8000 об/мин за 10 мин след всяка екстракция. РНК преципитира из водната фаза чрез прибавяне на 1/10 об. 2M натриев ацетат (pH 5.1) и 2.5 об. етанол. Обикновено за цилиндрично шише се получават 60 - 90 мкг от тоталната РНК.

Използват се също и други процедури за екстрагиране на цитоплазмена РНК. Например клетките се лизират totally чрез хомогенизиране в 0.2 M Tris-HCl (pH 9.0), 50 mM NaCl, 20 mM EDTA и 0.5% SDS и се екстрагират с фенол-хлороформ както е описано по-горе ( F. H. Reynolds *et al.*, "Interferon Activity Produced by Translation of Human Interferon Messenger RNA in Cell-Free Ribosomal Systems and in Xenopus Oocytes", *Proc. Natl. Acad. Sci. USA*, 72, pp. 4881-87 (1975)) или измитите клетки се сuspendират в 400 мкл 0.1 M NaCl, 0.01 M Tris-HCl (pH 7.5), и 0.001 M EDTA ("NTE" буфер) и се прибавят 2.5 мл 4M гуанидин-изотиоцианат и 1M бета-меркаптоетанол в 20 mM натриев ацетат (pH 5.0) и клетките се хомогенизират. Лизатът се насложва върху 1.3 мл 5.7 M възглавница от CsCl в нитроцелулозна епруветка Beckman SW-60 Ti, центрофугират се 17 часа при 39000 об/мин, за да се утаи РНК и да се отдели от ДНК, белтъците и липидите.

РНК се екстрагира веднъж с фенол-хлороформ (J. Morser, et al., "Characterisation of Interferon Messenger RNA From Human Lymphoblastoid Cells", J. Gen. Virol., 44, pp. 231-34 (1979)).

Тоталната РНК се изследва за присъствие на мРНК за интерферон-бета чрез инжектиране в цитоплазмата на ооцити от *Xenopus laevis* и определяне на индуцираната там активност на интерферон-бета (Reynold et al., по-горе). Изследването се провежда чрез разтваряне на РНК във вода и инжектиране на около 50 nl във всеки ооцит. Ооцитите се инкубират през нощта при стайна температура в среда на Barth (J. Gurdon, J. Embryol. Exper. Morphol., 20, pp. 401-14 (1968)), хомогенизират се в част от средата, остатъците от клетката се отстраняват чрез центрофугиране и се определя активността на интерферон-бета в супернатантата. Определянето на активността на интерферон-бета става чрез редукция на вирус-индуцирания цитопатичен ефект (W. E. Stewart and S. E. Sulkin "Interferon Production in Hamsters Experimentally Infected with Rabies Virus", Proc. Soc. Exp. Biol. Med., 123, pp. 650-53 (1966)). Инфициращият вирус е вирус на везикуларен стоматит (линия Indiana), а клетките са човешки диплоидни фибробласти, с тризомия по 21. хромозома, за да се постигне по-висока чувствителност към интерферон-бета. Активността на интерферон-бета се изразява по отношение на реферативен стандарт за интерферон 69/19.

РНК за интерферон-бета, съдържаща поли(A) РНК, се изолира от цитоплазмената РНК чрез адсорбция към олиго(dT)-целулоза (тип 7; P-L Biochemicals) в 0.4 M NaCl, 10 mM Tris -HCl (pH 7.8), 10 mM EDTA и 0.2% SDS за 10 мин при стайна температура. Агрегирането на РНК се намалява до минимум чрез загряването ѝ за 2 мин при 70°C преди адсорбцията.

След измиване на целулозата с гореспоменатия буфер, поли(A) РНК фракцията се елюира с 10 mM Tris-HCl (рН 7.8), 1 mM EDTA и 0.2% SDS. Тя обикновено съдържа около 4-5% от тоталната РНК, която се измерва при оптична плътност 260 nm.

По-нататъшно пречистване за обогатяване на поли(A) РНК в мРНК за интерферон-бета се постига чрез формамид-захарозни градиенти (T. Pawson *et al.*, "The size of Rous Sarcoma Virus mRNAs Active in Cell-Free Translation", *Nature*, 268, pp. 416-20 (1977)). Тези градиенти имат по-висока разрешителна способност, отколкото неденатуриращите захарни градиенти. Обикновено около 80 мкг поли(A) РНК се разтваря в 50% формамид, 100 mM LiCl, 5 mM EDTA, 0.2% SDS и 10 mM Tris-HCl (рН 7.4), загрява се при 37°C за 2 мин., за да се предотврати агрегирането и се поставя върху 5-20% захарен градиент и се поставя в полиаломерна епруветка Beckman SW-60 Ti. След центрофугиране при 20°C за 4 1/2 часа при 60 000 об/мин. в Beckman SW-60 Ti ротор с тотална, маркирана с <sup>14</sup>C РНК, служеща като маркер за големината, градиентите се фракционират и се определя оптичната плътност на фракциите. Всички РНК фракции се преципитират двукратно с 0.5 M NaCl и 2.5 обема етанол и се изследват за активност на интерферонна мРНК, както е описано по-горе. Процесите на пречистване довеждат до 40-кратно обогатяване на съдържанието на поли(A)РНК в мРНК за интерферон-бета.

Алтернативно, олиго(dT) адсорбираната мРНК (60 мкг) се фракционира чрез електрофореза в 4% полиакриламиден гел в 7 M урея, 0.1% SDS, 50mM Tris-борат (рН 8.3) и 1 mM EDTA. РНК се разтваря в същия буфер и се загрява при 55°C

1 мин. преди да се нанесе върху гела. След електрофорезата се изрязват участъци от гела с ширина 2 мм, РНК се елюира от всеки хомогенизиран участък от гела и се освобождава от онечиствания чрез адсорбция към олиго(dT)целулоза и се изследва за РНК за интерферон-бета както преди.

На това място би трявало да се установи, че поли(A) РНК продукта, получен след формамид-захарозните градиенти и фракционирането в полиакриламиден гел, съдържа голям брой различни мРНК. С изключение на мРНК за интерферон-бета, всички останали мРНК са нежелани замърсители (Фигура 1). За съжаление тези замърсители имат сходни отнасяния с мРНК за човешки интерферон по време на останалата част от процеса на клониране в това изобретение. Следователно тяхното присъствие в поли(A) РНК би довело в крайния препарат до голям брой нежелани бактериални клонове, които съдържат гени, кодиращи полипептиди различни от интерферон-бета. Тези замърсявания поставят сложни проблеми пред скрининга при изолирането на желаните интерферон-бета хибридни клонове. В случая с интерферон-бета проблемът на скринирането се задълбочава по-нататък с липсата на достатъчно пречистена проба от мРНК за човешки интерферон-бета или ДНК за него, за да служи като скринираща сонда за идентифициране на желаните клонове. Следователно, скриниращият процес за клоновете за интерферон-бета е много труден и изискващ време. По-нататък, тъй като се очаква много малък процент от клоновете за интерферон-бета да го експресират в биологично и имунологично активна форма, изолирането на активен клон е като "да се търси игла в купа сено".

С предимство можем да използваме рекомбинантна ДНК технология за осигуряване на пречистена проба от мРНК за човешки интерферон-бета или кДНК или част от тях. Тази пречистена мРНК или кДНК може след това да се използува за скриниране на голям брой бактериални клонове и следователно забележително повишава вероятността от изолиране на клон, който експресира интерферон-бета в активна форма.

#### СИНТЕЗ НА ДВОЙНОВЕРИЖНА кДНК, СЪДЪРЖАЩА кДНК ЗА БЕТА-ИНТЕРФЕРОН

Поли(А) РНК, обогатена в мРНК за интерферон-бета се използува като матрица за приготвяне на комплементарна ДНК ("кДНК"), изключително както е описано от R. Devos et al., "Construction and Characterization of a Plasmid Containing a Nearly Full-Size DNA Copy of Bacteriophage MS2 RNA", J. Mol. Biol., 128, pp. 595-619 (1979) за конструиране на плазмид, съдържащ ДНК копие на РНК от бактериофаг MS2.

Едноверижна кДНК се получава от поли(А) РНК чрез РНК-зависима ДНК-полимераза (25 единици) от птичи миелобластозен вирус ("AMV") обратна транскриптаза (дар от Dr. J. Beard, Life Sciences, Gulfport, Florida), инициирана с (dT) праймер (6 мкг Miles) хибридизирана към поли(А) опашка на РНК, в 50 мкл 50 mM Tris-HCl (pH 8.3), 10 mM MgCl<sub>2</sub>, 30 mM бета-меркаптоетанол, 4мМ Na<sub>4</sub>P<sub>2</sub>O<sub>7</sub>, 2.5 мкг/мл инактивиран говежди серумен албумин, dTTP, dATP, dCTP и dGTP всеки с концентрация 0.5 mM и алфа <sup>32</sup>P-dATP (20 micro Ci/ мкл, Amersham). След 30 мин. при 41°C реакцията се спира с прибавяне на EDTA до 10 mM, реакционната смес се екс-

трахира с еднакъв обем фенол-хлороформ-изоамилов алкохол (25:24:1) и водната фаза се наслоява върху колона със Sephadex G-50 и се елюира с TE буфер (10 mM Tris-HCl (pH 7.5), 1 mM EDTA). Изходните фракции, които показват радиоактивност се преципитират с прибавяне на 10 мкг трансферна РНК от E.coli, калиев ацетат (pH 5.1) до 0.2 M и 2.5 обема етанол.

кДНК популацията, синтезирана по-горе, е всъщност комплексна смес от кДНК, произлизащи от различни мРНК, присъствуващи в обогатената поли(A) м РНК (Фиг.1). В добавка, поради предварителното завършване чрез AMV обратна транскриптаза, много от кДНК са непълни копия на различни мРНК в поли(A) РНК (не е показано на Фиг.1).

Преди превръщането на кДНК в двойноверижна, тя се отстранява от асоциирането към комплементарната матрица РНК чрез преципитиране в етанол и инкубиране в TE буфер (10 mM Tris-HCl (pH 7.5), 1 mM EDTA) с рибонуклеаза T<sub>1</sub> (10 единици, Sankyo Co., Ltd.) и панкреатична рибонуклеаза A (10 мкг, Sigma) към 10 мкл за 30 мин при 37°C (рибонуклеазите не съдържат едноверижно-специфични ендо- и екзо-дезоксирибонуклеази). Отстраняването на матричната верига с рибонуклеаза вместо с алкали избягва възможната мутация на кДНК чрез алкално-катализирано дезаминиране.

кДНК може да се превърне в двойноверижна чрез ДНК полимераза I (A. Efstratiadis, et al., "Enzymatic In Vitro Synthesis of Globin Genes, Cell, 7, pp. 279-88 (1976)). 10 мкл смес рибонуклеаза/кДНК (от по-горе) се разрежда до 20 мкл с MgCl<sub>2</sub> до 10 mM, DTT до 10 mM, калиев фосфат (pH 6.9) до 100 mM, dTTP, dATP, dCTP и dGTP всеки с концентрация 0.3 mM и алфа <sup>32</sup>P-dATP (20 micro Ci/ мкл, Amersham) и ДНК

полимераза I (40 единици, Biolabs). След 6 часа при 15°C се прибавят EDTA до 10 mM и SDS до 0.1% и двойноверижната кДНК се изолира чрез екстракция (фенол:хлороформ:изоамилов алкохол), хроматография (Sephadex G50) и преципитиране на изтичащите фракции, както е описано по-горе. За отваряне на двойноверижните фуркетни бримки, които остават върху структурана на двойноверижната кДНК, преципитираната кДНК се разтваря в 100 мкл 0.2 M NaCl, 50 mM натриев ацетат (pH 4.5), 10 mM цинков ацетат и 2 мкг топлинно денатурирана ДНК от телешки тимус и се третират с S1 нуклеаза (5 единици, Sigma) за 30 мин при 37°C. Прибавянето на EDTA до 10 mM, екстракцията с фенол:хлороформ:изоамилов алкохол и преципитирането на водната фаза чрез прибавяне на 10 мкг трансферна РНК от E.coli като носител, калиев ацетат (pH 5.1) до 0.2 M и 2.5 обема етанол дава смес от двойноверижни кДНК с тъпи краища. Тази смес е хетерогенна поради хетерогенността на поли(A)РНК, която е използвана като матрица за получаването ѝ (Фиг.1) и поради предварителното завършване на кДНК транскрипта чрез AMV обратна транскриптаза (не е показано на Фиг.1).

За да се намали ефекта от по-нататъшна хетерогенност, двойноверижната кДНК се оразмерява чрез електрофореза в 4% полиакриламиден гел в 50 mM Tris-боратен буфер (pH 8.3) и 1 mM EDTA. 5'-32P-белязани рестрикционни фрагменти (фХ174 (RF)-ДНК) служат като маркери за големината. Подбират се ДНК фрагменти с подходящ размер (т.е. класовете 800-900 bp, 700-800bp, 650-700bp и 550-650 bp). Тъй като кДНК, получена чрез полиакриламидна електрофореза на поли(A)РНК, показва изразена линия при около 850 bp,

приема се, че тази лента представлява ДНК с пълна дължина. Лентите се елюират чрез разбъркване на гела в 0.5 М амониев ацетат и 0.1% SDS и разбъркване до другия ден. След това отпадъците се отделят чрез центрофугиране, ДНК се адсорбира с хидроксилапатитен прах, наслоява се върху колона Sephadex G50 в 5 mM натриев фосфат (pH 7.5), измива се обилно с буфер и се елюира с 0.45M натриев фосфат (pH 7.5). Веднага се обезсолява чрез сивовия ефект на матрикса на Sephadex G50. Фракциите, съдържащи елюираната ДНК, монитирани чрез  $^{32}\text{P}$  радиоактивност се преципитират чрез прибавяне на 10 мкг трансферна РНК от E.coli като носител, калиев ацетат (pH 5.1) до 0.2 M и 2.5 обема етанол.

Ефективността на добиването на кДНК, описано по-горе се илюстрира чрез типичен експеримент, където около 2 мкг поли(A)РНК след преминаване през формамид-захарен градиент дава около 16 нг двойноверижна кДНК с размер 800-900 bp.

Също така трябва да се отбележи, че тази двойноверижна кДНК е смес от голям брой кДНК, много малко от които са кДНК за интерферон-бета (Фигура 1).

### КЛОНИРАНЕ НА ДВОЙНОВЕРИЖНА ДНК

За клониране на двойноверижна кДНК съгласно с това изобретение могат дасе пригответ различни комбинации от гостоприемник и клониращо средство. Например полезно клониращо средство може да се състои от сегменти от хромозомни, нехромозомни и синтетични ДНК последо-вателности като различни познати производни на SV40 и познати бактериални плазмиди, напр. плазмиди от E.coli вкл. col El, pCRI, pBR322, pMB9 и техни производни, плазмиди с по-широк

обхват на гостоприемника "RP 4, фагови ДНК, като различни производни на фаг ламбда (NM 989) и други ДНК фаги (M13), филаментозни едноверижни ДНК фаги и вектори, произлизащи от комбинации от плазмиди и фагови ДНК, като плазмидите, които са модифицирани да използват фагова ДНК или други контролиращи експресията секвенции или дрождеви плазмиди като  $\lambda$  плазмид или техни производни. Използваните гостоприемници могат да включват бактериални такива като E.coli HB 101, E.coli x 1776, E.coli x2282, E.coli MRCI и щамове от *Pseudomonas*, *Bacillus subtilis*, *Bacillus stearothermophilus* и други бацили, дрожди или други гъби, животински и растителни гостоприемници като животински (вкл. човек) и растителни клетки в култура или други гостоприемници. Разбира се не всички комбинации гостоприемник/вектор са еднакво ефективни. Специален подбор от комбинации гостоприемник/клониращо средство могат да се направят от специалисти след преосмисляне на принципите, изложени по-нататък, без да се отдалечават от обхвата на настоящото изобретение.

По-нататък, в едно специфично клониращо средство могат да се подберат различни участъци за включване на двойноверижна ДНК. Тези участъци обикновено се обозначават чрез рестрикционните ендонуклеази, които ги срязват. Например в pBR322, PstI участъкът е локализиран в гена за бета-лактамаза, между нуклеотидните триплети, които кодират аминокиселини 181 и 182 на този протеин. Този участък е първоначално използуван от Nagata *et al.*, по-горе при тяхния синтез на полипептиди, проявяващи имуно-логична и биологична активност на интерферон-алфа. Едно от двете HindII ендонуклеазни места за разпознаване е между

триплетите, кодиращи аминокиселини 101 и 102, и едно от няколкото Taq места е при триплета, кодиращ аминокиселина 45 на бета-лактамазата в pBR322. По сходен начин EcoRI участък~~s~~ и PvuII участък~~s~~ на този плазмид лежат извън някаква кодираща област. EcoRI мястото се намира между гените, кодиращи резистентност към тетрациклин и ампицилин. Това място е използвано от Taniguchi et al., по-горе в тяхната рекомбинантно-синтетична схема. Тези места се разпознават добре от специалистите в тази област. Естествено се подразбира, че клониращото средство, полезно при настоящото изобретение, не е необходимо да има участъци за рестриктази за включване на избрания ДНК фрагмент. Вместо това то може да бъде прибавено към фрагмент с такива свойства.

Векторът или клониращото средство и по-специално мястото избрано в него, за присъединяване на избрания ДНК фрагмент, за да се получи рекомбинантна молекула, се определя от различни фактори, като броя на местата, възприемащи определен рестрикционен ензим, размера на протеина, който ще се експресира, възприемчивостта на желания протеин към протеолитично разграждане от ензимите на гостоприемника, замърсяване или свързване на протеина, който ще се експресира с протеините на гостоприемника, ако то трудно се отстранява по време на пречистването, експресионни характеристики, като локализацията на стартовия и терминационния кодони по отношение на векторната секвенция и други фактори, които са известни на специалистите. Изборът на вектор и място за включване на определен ген се определя при баланса на тези

фактори, тъй като те не са от еднакво значение за даден случай.

Въпреки многото методи, познати в областта на включване на чужда ДНК в клониращо средство или вектор за да се формира рекомбинантна ДНК молекула, методът, избран за първоначално клониране в съответствие с това изобретение е разграждане на плазмид (в частност pBR322) с този рестрикционен ензим, който е специфичен за избрания участък за включване (в частност PstI) и прибавяне на dA опашки към 3' края на терминалната трансфераза. По сходен начин двойноверижната кДНК се удължава чрез прибавяне на dT опашки към 3' края, за да се улесни присъединяването към опашката на плазмида. "Опашатият" плазмид и кДНК след това се оставят да ренатурират, за да се включи кДНК към подходящото място в плазмида и да се циркуларизира хибридената ДНК. Комплементарният характер на опашките позволява тяхното сцепление (Фигура 1). Получената рекомбинантна ДНК молекула сега носи вмъкнат ген при избраното PstI рестрикционно място (Фигура 1). Този метод на прикачване на dA-dT краища за включване е описан от D. A. Jackson, et al., "Biochemical Methods for Inserting New Genetic Information into DNA of Simian Virus 40: Circular DNA Molecules Containing Lambda Phage Genes and the Galactose Operon of Escherichia coli", Proc. Natl. Acad. Sci. USA, 69, pp. 2904-909 (1972) и R. Devos et al., по-горе. Той довежда до 3 пъти повече рекомбинантни ДНК плазмиди, отколкото прикачването на dC-dG краища.

Разбира се, други познати методи за вмъкване на ДНК секвенции в клониращи средства за получаване на рекомбинантни ДНК молекули са също полезни в настоя-

щото изобретение. Те включват например прикачване на dC-dG краища, директно лигиране, синтетични линкери, репариращи реакции с екзонуклеази и полимерази, последвани от лигиране или разтягане на ДНК веригата с ДНК полимераза и подходяща едноверижна матрица се лигира.

Трябва да се разбере, че нуклеотидната последователност или фрагмента от кДНК, включен в избраното място на клониращото средство, може да включва нуклеотиди, които не са част от истинския структурен ген за желания полипептид или може да включва само фрагмента на пълния структурен ген за него. Изиска се само при каквато ѝ да е включена ДНК, трансформираният гостоприемник да произвежда полипептид, имащ имунологична и биологична активност на човешки интерферон-бета или тази ДНК последователност сама по себе си да се използува като хибридиционна сонда за подбиране на клонове, които съдържат ДНК секвенции, полезни при получаването на полипептиди, имащи имунологична или биологична активност на човешки интерферон-бета.

Клониращото средство или вектор, съдържащ чуждия ген, се използва за трансформиране на гостоприемника, така че да му даде възможност да експресира полипептиди, имащи имунологична или биологична активност на човешки интерферон-бета, които хиbridният ген кодира. Избирането на подходящ гостоприемник също се контролира от различни фактори, известни на науката. Те включват например съвместимост с избрания вектор, токсичност на протеините, кодирани от хиbridния плазмид, лекота на въстановяване на желания протеин, експресионни характеристики, биологична сигурност и разходи. Балансът на тези фактори трябва да се

НАМЕРИ, КАТО СЕ ЗНАЕ, ЧЕ НЕ ВСИЧКИ ГОСТОПРИЕМНИЦИ МОГАТ ДА БЪДАТ ЕДНАКВО ЕФЕКТИВНИ ЗА ЕКСПРЕСИЯ НА КОНКРЕТНА ДНК МОЛЕКУЛА.

В настоящия синтез предпочтано инициално клониращо средство е бактериалният плазмид pBR322, а предпочтаното инициално място за ендонуклеаза в него е PstI (Фигура 1). Плазмидът е малък (молекулно тегло около 2.6 мегадалтона) и носи гени за резистентност към антибиотиците ампицилин (Amp) и тетрациклин (Tet). Плазмидът е напълно охарактеризиран (F. Bolivar *et al.*, "Construction and Characterization of New Cloning Vehicles II. A Multipurpose Cloning System", Gene, pp. 95-113 (1977); J. G. Sutcliffe, "pBR322 Restriction Map Derived from the DNA Sequence: Accurate DNA Size Markers up to 4361 Nucleotide Pairs Long", Nucleic Acid Research, 5, pp. 2721-28 (1978); J. G. Sutcliffe, "Complete Nucleotide Sequence of the Escherichia coli Plasmid pBR322", Cold Spring Harbor Symposium, 43, I, pp. 77-90 (1978)). Вмъкването на ДНК продукта на тези места осигурява голям брой бактериални клонове, всеки от които съдържа един от ДНК гените или фрагменти от тях, присъстващи в кДНК продукта, приготвен предварително. Отново много малко от тези клонове съдържат гени за интерферон-бета или фрагменти от тях (Фигура 1) и може никой от тях да не експресира полипептиди, проявяващи имунологична и биологична активност на интерферон-бета. Предпочитаният инициален гостоприемник в съответствие с това изобретение е E.coli HB 101.

### 1. Получаване на dA-удължен, разграден с PstI pBR322

Плазмидът pBR322 се смила напълно при 37°C с PstI ендонуклеаза (New England Biolabs) в 10 mM Tris-HCl (pH 7.6), 7 mM MgCl<sub>2</sub>, 7 mM 2- меркаптоетанол. Сместа се

екстрагира с 1 обем фенол и 10 обема етер и се преципитира с 2.5 обема етанол:0.2 M разтвор на натриев ацетат.

Прибавянето на хомополимерни dA краища (опашки)(Фигура 1) чрез терминална дезоксинуклеотидил трансфераза (TdT) (пречистена по L. Chang и F. G. Bollum, "Deoxyribonucleotide-Polymerizing Enzymes of Calf Thymus Gland", *J. Biol. Chem.*, 246, pp. 909-16 (1971)) се съдържа в 50 мкл реакционен обем, съдържащ 0.14 M калиев какодилат, 30 mM Tris-HCl (pH 6.8), 1 mM CoSO<sub>4</sub>, 0.2 мкг/мл топлинно инактивиран говежди серумен албумин, 0.8 mM DTT, 0.2 mM dATP и малко алфа-<sup>32</sup>P dATP. Инкубура се при 37°C за пет минути и после се прибавя EDTA до 10 mM и SDS до 0.1% и сместа се екстрагира с фенол и се хроматографира върху Sephadex G50 в TE буфер. Изтичащите фракции, съдържащи линеаризиран и удължен pBR322 се пречистват по-нататък чрез адсорбция към олиго(dT) целулоза в 10 mM Tris-HCl (pH 7.8), 1 mM EDTA и 0.4 M NaCl. След продължително измиване желаните фракции се елюират с 10 mM Tris-HCl (pH 7.8), 1 mM EDTA.

## 2. Получаване на dT удължена ДНК

Двойноверижна ДНК се удължава с dTMP остатъци по начин, сходен на този, който е описан по-горе за удължаването на pBR322 с dA, с изключение на това, че dTTT и малко <sup>3</sup>H-dTTP заместват dATP и алфа-<sup>32</sup>P dATP. Пречистването върху олиго(dT) целулоза естествено се пропуска. Както преди dT-удължената ДНК е смес от различни видове, много малко от които са родствени на човешки интерферон-бета (Фигура 1).

### 3. Получаване на $\text{Ca}^{++}$ -третирана E.coli HB101

$\text{Ca}^{++}$ -третирана E.coli HB101 се получава по метода на E. M. Lederberg и S. N. Cohen, "Transformation of Salmonella Typhimurium by Plasmid Deoxyribonucleic Acid", J. Bacteriol., 119, pp. 1072-74 (1974) чрез инокулиране на Escherichia coli HB101 (подарък от H. Boyer) в 5 мл. LB среда (10 части бактотриптон, 5 части дрождев екстракт и 5 части NaCl за литър) и културите се оставят при  $37^{\circ}\text{C}$  до следващия ден. Пресните култури се разреждат 1/100 в 20 мл LB среда и се култивират до плътност около  $2 \times 10^8$  бактерии/мл, бързо се охлаждат върху лед и се утаяват при 6000 об./мин за 5 мин в Sorvall SS34 ротор при  $4^{\circ}\text{C}$ . Клетките се поддържат при  $0-4^{\circ}\text{C}$ , и се измиват с 20 мл 10mM  $\text{CaCl}_2$ . След 20 мин върху лед клетките се утаяват отново и ресуспендиран в 2 мл 100mM  $\text{CaCl}_2$  и се държат при  $0^{\circ}\text{C}$  15 мин. Порции (200 мкл), с добавен глицерол до 11%, могат да се съхраняват няколко месеца при  $-80^{\circ}\text{C}$  без да загубят активността си ( D. A. Morrison, "Transformation in Escherichia coli: Cryogenic Preservation of Competent Cells", J. Bacteriol., 132, pp. 349-51 (1977)).

### 4. Ренатуриране на dA удължен pBR322 и dT удължена ДНК

dA и dT краишата на вектора и ДНК инсертът позволяват ренатуриране, което формира първоначално желания хибриден плазмид или рекомбинантна ДНК молекула. За тази цел PstI третирания, снабден с dA краища pBR322 вектор и сместа от оразмерени dT-опашати кДНК се разтварят в TSE буфер ( 10 mM Tris-HCl (pH 7.6), 1 mM EDTA и 100 mM NaCl) до 1.5 мкг/мл плазмид и до моларно съотношение на

плазмида към ДНК инсерта 1.5:2.0. След 10 минути загряване при 65°C, сместа се охлажда бавно до стайна температура повече от 4 часа.

Продуктът е широка смес от различни рекомбинантни ДНК молекули и някои клониращи средства без включени ДНК последователности. Обаче всяка рекомбинантна ДНК молекула съдържа кДНК сегмент при PstI мястото. Всеки такъв ДНК сегмент може да съдържа ген или фрагмент от него. Много малко от кДНК фрагментите кодират човешки интерферон-бета или част от него (Фигура 1). Непотребната по-голяма част кодира един от останалите протеини или фрагменти от тях, чиито мРНК са част от поли(A)РНК, използвана в процеса на това изследване (Фигура 1). Би трябвало да се подразбира, че може и никой от клоновете на така приготвената библиотека да не експресира полипептиди, имащи биологична и имунологична активност на интерферон-бета.

#### 5. Трансфекция на *E.coli* HB101 с ренатурираните хибридни плазмиди.

За трансфекционния процес е необходимо да се използува РЗ ниво на обезопасяване, а също и за всички по-нататъшни етапи, в които се съхраняват и използват трансформираните бактерии. Проби (90 мкл или по-малко) от горната смес се охлаждат до 0°C и се прибавя 1 М CaCl<sub>2</sub> до 0.1 М. Количество (100 мкл или по-малко) от този разтвор се прибавя към 200 мкл *E.coli* HB101, третирана с Ca<sup>++</sup> в лед и след 30 минути престояване при 0°C, клетките се подлагат на топлинен шок за 5 мин при 37°C и отново се охлаждат при 0°C за 15 мин. След прибавянето на 2 мл LB среда, клетките се инкубират при 37°C във водна баня с разклащање 30 до 45

мин и бактериалната суспенсия се посява върху петрита с 1.2% агар, съдържащ LB среда, снабдена с 10 мкг/мл тетрациклин.

Тъй като плазмид pBR322 включва ген за резистентност към тетрациклин, гостоприемниците *E.coli*, които са трансформирани с плазмид, имащ този ген в интактен вид, ще растат върху културата, съдържаща антибиотика, а нетрансформираните бактерии ще се изключат. Следователно, растежа в тетрацилин-съдържаща култура дава възможност за селекция на гостоприемниците, трансформирани с рекомбинантна ДНК молекула или рециклиран вектор.

След 24 часа при 37°C, индивидуални колонии се подбират и се разтварят в 100 мкл LB среда (с прибавки както по-горе) в кладенчетата на микротитърна плака (Dynatech). След инкубиране до следващия ден при 37°C, 11 мкл диметилсулфоксид (DMSO) се смесват във всяко кладенче и плаките се запечатват с прилепваща лента. Те се съхраняват при -20°C и се приготвя библиотека от 17 000 индивидуални клона *E. coli* HB101. Тази библиотека произхожда от 270 fmol (128 нг) dT опашати кДНК инсерти, които от своя страна са синтезирани от 4.4 мкг градиентно пречистена поли(A)РНК. Около 98% от клоновете в тази библиотека се чувствителни към карбеницилин (по-стабилно производно на амицилина). Следователно повече от 98% от библиотеката съдържат плазмид, имащ инсерт при Pst мястото на бета-лактамазния ген на pBR322 и само 2% съдържат рециркулиран вектор без инсерт.

Тези 17 000 клона съдържат множество рекомбинантни ДНК молекули, представляващи пълни или частични копия на сместа от мРНК в поли(A)РНК препарат от човешки интер-

ферон-бета-продуциращи клетки (Фигура 2). Множеството от тях съдържат само единични, рекомбинантни ДНК молекули. Много малко от тези рекомбинантни ДНК молекули са родствени на човешки интерферон-бета. Съответно клоновете трябва да се скринират, за да се отделят свързаните с човешки интерферон-бета клонове от останалите.

#### СКРИНИРАНЕ НА КЛОН СЪДЪРЖАЩ кДНК ЗА ЧОВЕШКИ ИНТЕРФЕРОН-БЕТА

Съществуват няколко начина за скриниране на бактериални клонове, съдържащи кДНК за човешки интиферон-бета. Те включват например РНК селекционна хибридиизация (Alwine et al., по-долу), диференциална хибридиизация (T. P. St. John and R. W. Dawis, "Isolation of Galactose-Inducible DNA Sequences from *Saccharomyces Cerevisiae* by Differential Plaque Filter Hybridization", *Cell*, 16, pp. 443-452 (1979)); хибридиизиране със синтетична сонда (B. Noyes et al., "Detection and Partial Sequence Analysis of Gastrin mRNA by Using an Oligodeoxynucleotide Probe", *Proc. Natl. Acad. Sci. USA*, 76, pp. 1770-74 (1979)) или скриниране за клонове, които произвеждат желания протеин чрез имунологични (L. Villa-Komaroff, et al., "A Bacterial Clone Synthesizing Proinsulin", *Proc. Natl. Acad. Sci. USA*, 75, pp. 3727-31 (1978)) или биологични (A. C. Y. Chang, et al., "Phenotypic Expression in *E.coli* of a DNA Sequence Coding for Mouse Dihydrofolate Reductase", *Nature*, 275, pp. 617-24 (1978)) изследвания. Ние избрахме РНК селекционното хибридиизиране като най-удобен и надежден метод за първично скриниране.

## A. Изследване на РНК чрез селекционно хибридиране

### 1. Обзор на първоначалното изследване

Разглеждайки Фигура 2, се вижда, че рекомбинантните ДНК молекули се изолират от индивидуални култури от около 46 клона, чувствителни към карбеницилин и резистентни към тетрациклин от описаната по-горе библиотека от клонове (2 смеси от 2 клона са показани на Фиг.2)(етап А). Рекомбинантните ДНК молекули се разграждат и хибридилизират към тотална РНК, съдържаща мРНК за човешки интерферон-бета, получени както е описано преди (етап В). Всички хибриди между рекомбинантни РНК молекули и тотална РНК се отделят от нехибридилизиралата тотална РНК (етап С). Хибридилизиралата тотална РНК се въстановява из хиридите и се пречиства (етап D). Въстановената РНК се изследва за човешки интиферон-бета-РНК активност както е описано по-горе (етап Е). Ако, и само ако сместа от рекомбинантни ДНК молекули съдържа рекомбинантна ДНК молекула, имаща вмъкната нуклеотидна последователност, способна да хибридиизира с мРНК за човешки интерферон-бета в тоталната РНК при строги хибридиционни условия, освободената от този хибрид мРНК ще предизвика образуване на чавешки интерферон-бета в ооцити, тъй като мРНК, освободена от всеки друг хибрид между рекомбинантна ДНК молекула и тотална РНК, няма да бъде сродна на тази за интерферон-бета. Ако групата от 46 клона дава положителен отговор, клоновете се разделят в 6 подгрупи (4 подгрупи от 8 и 2 подгрупи от 7) и всяка подгрупа се изследва както преди. Процесът продължава, докато се идентифицира само един клон.

Няма осигуровка, че рекомбинантните ДНК молекули и бактериалните клонове, трансформирани с тях и идентифицирани по този начин, съдържат пълната кДНК последователност за интерферон-бета и дори, че кДНК последователността действително кодира интерферон-бета или дава клон, експресиращ полипептиди, имащи имунологична или биологична активност на интерферон-бета. Обаче рекомбинантната ДНК молекула наистина ще съдържа екстензивни нуклеотидни последователности, комплементарни на интерферон-бета мРНК кодиращата секвенция. Следователно, рекомбинантната ДНК молекула поне ще се използува като източник на сонди за бързо скриниране на други рекомбинантни ДНК молекули и клонове, трансформирани с тях, за идентифициране на други партиди клонове, които могат да съдържат автентична или пълна нуклеотидна секвенция, кодираща интерферон-бета. Тези клонове могат по-нататък да се анализират за възможна експресия на полипептиди, проявяващи имунологична и биологична активност на интерферон-бета. И, нуклеотидната последователност на включения ДНК фрагмент от тези хибридни плазмиди и нейният аминокиселинен преводен продукт могат да се определят и ако е възможно да корелират с аминокиселинната композиция и инициална секвенция, докладвана за автентичен интерферон-бета (вж. по-горе).

## 2. Изпълнение на първоначалното изследване

Етап А – Пригответяне на смес от рекомбинантни ДНК молекули.

Върху петрита с LB агар се правят реплики на микротитърните плаки, съдържащи по 96 клона от гореспоменатата библиотека от клонове, като едната съдържа 10 мкг/мл тетрациклин а другата 100 мкг/мл карбеницилин. По този начин, две партиди от около 45-46 клона, резистентни към тетрациклин и чувствителни към карбеницилин, се взимат и отглеждат поотделно до следващия ден при 37°C в 100 мл LB среда, съдържаща 10 мкг/мл тетрациклин. Тези култури се събират, утаяват се в Sorvall GS-3 ротор при 8000 об/мин за 10 мин, измиват се двукратно с TES буфер (50 mM Tris-HCl (pH 8.0), 5 mM EDTA, 5 mM NaCl) и се ресуспендират в 40 мл TES за 1 от началния обем на културата. Клетките се лизират с лизозим-Тритон X-100 (M. Kahn *et al.*, "Plasmid Cloning Vehicles Derived from Plasmids Col, El, F, R6K и RK2" in Methods in Enzymology, 68: Recombinant DNA (R. Wu, ed.) (1980)). 40 мл от разтворените в TES клетки се обединяват с 20 мл 10% захароза в 50 mM Tris-HCl (pH 8.0) и лизозим до 1.3 мг/мл и се оставят при стайна температура 20 мин. Към тази суспензия се прибавя 1 мл 0.5 M EDTA-NaOH (pH 8.0), 8 мл Triton X-100, 25 mM EDTA, 50 mM Tris-HCl (pH 8.0) и лизисът се извършва при стайна температура за 30 мин. Остатъците от клетките и по-голямата част от хромозомалната ДНК се отстранява чрез утаяване в Beckman SW27 ротор при 24 000 об/мин за 45 минути. Супернатантата се охлажда върху лед, обединява се с 1/3 обем 40% полиетиленгликол 6000-2 M NaCl и се оставя при 0°C до следващия ден. Полученият преципитат се събира в Sorvall HB4 ротор при 5000 об/мин за 10 мин при 4°C и се разтваря в TES буфер. Разтворът, съдържащ 0.2 об. 10 мг/мл етидиум

бромид (Serva) и CsCl до 1 г/мл се центрофугира в Beckman R60 Ti-ротор при 40 000 об/мин. поне 48 часа. Една полиаломерна гилза обикновено е достатъчна за лизат от 1-2 л. от оригиналния обем на културата. При UV-осветяване в гилзата би трябвало да се визуализират две ДНК ленти. Лентата с по-висока плътност отговаря на форма I плазмидна ДНК, втората лента отговаря на форми 2 и 3 плазмидна ДНК и на някаква хромозомна ДНК. Първата лента се събира, етидиум бромидът се отстранява с шест екстракции с изоамилов алкохол и водната фаза се разтваря с 3 обема доведен с вода до 0.2 М натриев ацетат (рН 5.1) преди ДНК да се преципитира с 2.5 обема етанол. ДНК се разтваря отново, екстрагира се с фенол и отново се преципитира с етанол. Качеството на ДНК се монитрира чрез електрофореза в 1% агарозен гел в 40 mM Tris-HOAc (рН 7.8), 20 mM натриев ацетат, 2 mM EDTA, последвана от оцветяване с етидиум бромид. Ако ДНК е замърсена с много РНК, тя се пречиства по-нататък чрез центрофугиране в неутрален захарозен градиент: 300 мкг ДНК в 10 mM Tris-HCl (рН 7.6) и 1 mM EDTA се наслояват върху 36 мл 5-20% захарозен градиент в 10 mM Tris-HCl (рН 7.6), 1 mM EDTA, 1 M NaCl, центрофугират се в полиаломерни епруветки 16 часа при 24 000 об/мин. в Beckman SW27 ротор при 18°C и фракциите, съдържащи ДНК ( $OD_{260}$ ) се събират и преципитират с натриев ацетат-етанол.

#### Етап В - Хибридизиране на ДНК с тотална РНК

Около 150 мкг така пригответа ДНК се обединява с малко еднакво белязана  $^{32}P$  ДНК и 2 мкг pSTNV-1 ДНК (рекомбинантен плазмид, съдържащ пълен размер кДНК копие на

РНК от сателитен некротизиращ тютюна вирус ("STNV); J. Van Emmelo, et al., "Construction and Characterization of a Plasmid Containing a Nearly Full Size DNA Copy of Satellite Tobacco Necrosis Virus RNA", J. Mol. Biol.,(in press), като вътрешен контрол, разрушава се с ултразвук в MSE ултразвуков уред и се преципитира с натриев ацетат-етанол.

Твърд матрикс от диазобензил-хидроксиметил (DBM) целуло-за ( Cf., J. C. Alwine, et al., "Method for Detection of Specific RNAs in Agarose Gels by Transfer to Diazobenzyl Oxymethyl Paper and Hybridizing with DNA Probes", Proc. Natl. Acad. Sci. USA, 74, pp. 5350-54 (1977)) се приготвя по метода на J. C. Alwine, et al., "Detection of Specific RNAs or Specific Fragments of DNA Fractionation in Cells and Transfer to Diazobenzyl Oxymethyl Paper" Methods in Enzymology, 68: Recombinant DNA (R. Wu, ed.)(1980)). За хартиен матрикс, лист хартия Whatman 540 се намокря равномерно в разтвор, съдържащ 2-3 мг 1-(*m*-нитробензилокси)метил пиридин хлорид (NBPC/BDH) и 0.7 мл натриев ацетат трихидрат в 28.5 мкл вода за см<sup>2</sup>, инкубура се при 60°C докато изсъхне и още 10 минути и се изпича при 130-135°C за 30-40 мин. След неколкократно измиване с вода (около 20 мин), 3 пъти с ацетон (около 20 мин), и изсушаване филтър се запазва. Хартията се инкубуира при 60°C за 30 мин в 0.4 мл 20% натриев - дитионит-вода за см<sup>2</sup> с обикновено разклащащ. Хартията се измива отново 4 пъти с вода, един път с 30% оцетна киселина за 5 мин и четири пъти с вода и се прехвърля към 0.3 мл/см<sup>2</sup> ледено студена 1.2 M HCl, към която непосредствено преди работа е прибавен за 30 мин при 0°C 10 мг/мл пресен NaNO<sub>2</sub> и се измива бързо два пъти с ледено студена вода и един път с 80% диметилсулфоксид

(спектрофотометрична степен на чистота, Merck)-20% 25 mM натриев фосфат (pH 6.0). За праховиден матрикс обикновено се следва същата процедура, като се използва микрогрануларен целулозен прах (Whatman CC31). Количествата се изразяват спрямо съответното тегло на целулозния матрикс.

Първоначално ние използваме праховиден матрикс, тъй като капацитета му на свързване е по-висок и се използват по-малки обеми за хибридизация, измиване и елюиране. Впоследствие използваме хартиен матрикс за скриниране на индивидуалните клонове. Използването на хартия позволява ефикасно елюиране с вода, което осигурява предимство при по-нататъшното изследване на интерферон-бета мРНК. Приготвената по-горе ДНК се разтваря в 25 mM натриев фосфат (pH 6.0), загрява се 1 мин, охлажда се и се прибавят 4 обема DMSO. Свързването към матрикса (50 мг праховиден) или хартиения диск (10 mm диаметър) обикновено протича от края на настоящата до началото на следващата седмица при 4°C и непрекъснато разбъркване. Обема на ДНК се поддържа достатъчно малък, за да позволява тесен контакт с матрикса и така се увеличава ефективното свързване на ДНК с матрикса. След свързването, матрикса се измива 4 пъти с вода и 4 пъти с 0.4 N NaOH при 37°C, всеки по 10 мин, отново 4 пъти с вода при стайна температура и накрая 2 пъти с хибридационен буфер (50% формамид (дейонизиран, Baker), 40 mM пиперазин-N,N'-бис(2-етан сулфонова киселина)(pH 6.4) ("PIPES", Sigma), 1 mM EDTA, 0.6 M NaCl и 0.1% SDS при 4°C. Ефективността на свързването се измерва с <sup>32</sup>P-радиоактивност.

20 мкг тотална РНК, пригответа както е описано по-горе, се разтваря в 250 мкл (50 мкл за хартиен матрикс) хибридиционен буфер и се прибавя към свързалия ДНК матрикс. Матриксът се загрява до 70°C за 2 минути и се оставя да пренощува при 37°C с леко разбъркване.

Етап C → Отделяне на хибридициралите обща РНК-ДНК от нехибридициралата обща РНК.

След центрофугиране на праховидния матрикс, нехибридициралите РНК се отстраняват и матриксът се измива 7 пъти с общо 2 мл 50% формамид, 10 mM(pH 6.4) "PIPES", 1 mM EDTA, 0.3 M NaCl и 0.1% SDS. Ниското солево съдържание при това измиване дестабилизира неспецифичното РНК-ДНК свързване. Всяко измиване е последвано от центрофугиране и ресуспендиране на матрикса в буфер. За следващия анализ, първото измиване се обединява с нехибридициралата РНК ("фракция 1") и измиванията 2-4 ("фракция 2") и 5-7 ("фракция 3") също се обединяват. При хибридициране към хартиен матрикс се използува сходна процедура, с изключение на това, че общий обем за измиване е ограничен до 1 мл.

Етап D- Пречистване на хибридициралата тотална РНК

Хибридициралите тотална РНК-ДНК се елюират от праховидния матрикс на три пъти с общо 900 мкл 99% формамид, 0.2% SDS при 70°C за 2 минути и се охлаждат в лед. Тоталната хибридиционна процедура и елюиране с формамид се провежда изключително както е описано от A. G. Smith (лично съобщение). Хибридициралите тотална РНК-ДНК се елюират от хартиения матрикс чрез първо измиване със 100

мкл ледено студена вода, последвано от двукратно елюиране с вода (общо 300 мкл) при 80°C за 2 мин. За по-нататъшните изследвания всичко се събира (фракция 4).

Към едната половина от всяка от тези 4 фракции се прибавя транспортина РНК от телешки черен дроб или рибозомна РНК (фракции 1А, 2А, 3А, 4А), а към другата половина - 8 мкг еукариотна поли(А) РНК или рибозомална РНК (фракции 1В, 2В, 3В, 4В). Фракциите се пречистват чрез преципитиране с прибавяне на 0.5 М NaCl и 2.5 обема етанол, за да се отстранят следите от формамида и други онечиствания.

Етап Е – Определяне на активността на мРНК за интерферон-бета.

Фракции 1А, 2А, 3А и 4А се прехвърлят в 25 мкл лизат от заешки ретикулоцити, третиран с нуклеаза (приготвен съгласно процедурата на R. B. Pelham и R. J. Jackson, "An Efficient mRNA-Dependent Translation System for Reticulocyte Lysates", Eur. J. Biochem., 7, pp. 247-56 (1976)) по процедурата на B. LeBleu, et al., "Translation of Mouse Interferon mRNA in Xenopus Laevis Oocytes and in Rabbit Reticulocyte Lysates", Biochem. Biophys. Res. Commun., 82, pp. 665-673 (1978) с изключение на това, че се прибавят 250 мМ спермидин-HCl, 1 мМ фруктозо-1,6-дифосфат в присъствието на  $^{35}\text{S}$ -метионин (0.5 mCi/ml, Amersham). След инкубиране, 25 мкл ретикулоцитен лизат от по-горе се комбинират с 1 мкл 10% деоксихолат-10% Тритон X100 и 2 мкл антисерум-PBS (1:9) и се загряват при 37°C за 1 час. Прибавят се 20 мкл Staphylococcus aureus Cowan I (прясно измит, S. W. Kessler et al., "Rapid Isolation of Antigens from Cells with a Staphylococcal Protein A-Antibody Adsorbent: Parameters of the Interaction of

"Antibody-Antigen Complexes with Protein A", J. Immunology, 115, pp. 1617-1624 (1975)) в 10% 100mM NaCl, 10 mM Tris-HCl (pH 7.4), 1 mM EDTA, 0.05% NP40 и сместа се оставя 30 мин при 20°C и се центрофугира в центрофуга Eppendorf 5412 за 2 мин. Утайката се измива и се центрофугира 2 пъти с PBS и крайната утайка се разтваря в "sample" buffer" и се разделя чрез електрофореза в 13% полиакрил амиден гел както е описано от U. K. Laemmli et al., "Cleavage of Structural Proteins During the Assembly of the Head of Bacterio-phage T4", Nature, 227, pp. 680-85 (1970), и се подлагат на авторадиография. Сравнението на STNV-RHK трансляционните продукти във фракции 1А и 4А осигуряват индикация на ефективността на хибридизацията и на РНК- деградацията в този процес. Фракции 1B, 2B, 3B и 4B се разтварят в 2 мкл вода и се изследват в ооцитите за съдържание на мРНК за интерферон-бета, както е описано по-горе.

### 3. Последващ анализ - Хибридизация към нитроцелулозни листи

Някои следващи анализи на индивидуални клонове се правят върху нитроцелулозни листи (M. Cochet et al., "Cloning of an Almost Full-Length Chicken Conalbumin Double-Stranded cDNA", Nucleic Acid Research, 6, pp. 2435-2452 (1979)). ДНК се разтваря в 2 M NaCl и 0.2 M NaOH, загрява се до 100°C за 1 мин, охлажда се и се нанася върху несъдържащи детергент филтри Millipore (големина на порите 0.45um; 7мм диаметър). Филтрите се изпичат 2 часа при 80°C, измиват се в 0.3 M NaCl, 2mM EDTA, 0.1% SDS, 10 mM Tris-HCl (pH 7.5) и се изсушават при стайна температура. РНК се хибридизира 3 часа при 47°C в 30% формамид, 0.5 M NaCl, 0.4% SDS, 2mM EDTA, 50 mM PIPES (pH 7.5). Хибридизацията се спира чрез

разреждане с 10 обема 0.1 M NaCl и филтрите се измиват няколко пъти в 15 мл 0.3 M NaCl, 2mM EDTA, 0.1% SDS, 10 mM Tris-HCl (pH 7.5) чрез разклащаане при 45°C и няколко пъти в същия разтвор без SDS при 4°C. Елюирането на хибридиизиралите РНК-ДНК се задействува в 30 мкл 5 mM калиев хлорид при 100°C за 1 мин.

#### 4. Резултати от селекционното хибридизиране на РНК

Скринират се 16 групи по около 46 клона (групи А-Р). В шест от тях фракция 1B съдържа активност само на мРНК за интерферон-бета, в осем от другите не се отбелязва активност на мРНК за интерферон-бета и в две от групите (групи С и О) мРНК за човешки интерферон се наблюдава във фракция 4B. Изследванията на групи С и О се отчитат по следния начин: логаритъм от единици интерферон-бета (калибрирани срещу референтен стандарт 69/19), отбелязани при изследване на фракция 1B (нехибридиизирали) и изследване на фракция 4 B (хибридиизирали). Границата на отчитане е 0.1.

<u>Група</u>	<u>Фракция 1B</u>	<u>Фракция 4B</u>
С	1.0	0
	0.5	0.5
	0	0.2
О	0	0
	0.2	0.5

Група О е подразделена на 6 подгрупи (подгрупи O<sub>1</sub> до O<sub>6</sub>; четири по осем клона и две по седем) и хибридиизирана и изследвана както е описано преди, с изключение на това, че са използвани 400 мл култура за всеки клон. Подгрупите

дават следните резултати, представени в същия формат, както по-горе. Хибридирането се провежда върху DMB-целулозен прах, освен ако не е посочено друго.

<u>Подгрупа</u>	<u>Фракция 1В</u>	<u>ФРАКЦИЯ 4В</u>
$O_1$	0	1.2
	0	1.5
	0	0.5
	0	0.5
	0.2	0.5
	0	1.2*
$O_2$	0.7	0
$O_3$	0.7	0
	0.5	0
$O_4$	0	0
$O_5$	0.5	0
$O_6$	0	0

Подгрупа  $O_1$  е подразделена на нейните индивидуални клонове

(обозначени като клонове  $O_{1/1}$  -  $O_{1/1}$ ) и хибридирана и изследвана както е описано преди, с изключение на това, че са използвани 700 мл култура за всеки клон. Хибридирането отново се провежда върху DMB-целулозен прах, освен ако не е посочено друго.

<u>Клон</u>	<u>Фракция 1В</u>	<u>Фракция 4В</u>
$O_{1/1}$	0.2	0
	0.7	0
	0.7	0*

\*Метод с целулозна хартия дБМ

<u>Клон</u>	<u>Фракция 1<sub>D</sub></u>	<u>Фракция 2<sub>D</sub></u>
$O_{1/2}$	1.0	0**
	1.2	0
	0.2	0*
	0.7	0**
$O_{1/3}$	1.2	0
	1.0	0.2*
	1.2	1.0(?)*
	1.2	0**
$O_{1/4}$	1.2	0
	1.2	0
	1.0	0*
	1.2	0**
$O_{1/5}$	0.7	0
	0.7	<0.2*
	1.0	0
	0.7	0
$O_{1/6}$	1.0	<0.2**
	0.5	0**
	0.5	0
	1.2	0*
$O_{1/7}$	<0.2	0.5**
	0	1.7*
	<0.2	1.2*
	0	0.7**
$O_{1/8}$	0	1.0**

Следователно, клон  $O_{1/8}$  съдържа рекомбинантна ДНК молекула, способна да хибридиизира с мРНК за интерферон-бета от общата РНК, съдържаща мРНК за интерферон-бета.

\*Метод върху целулозна хартия дБМ

\*\* Нитроцелулозни листа

Неспецифичното РНК-ДНК свързване е малко вероятно, тъй като сравнението на фракции 1А и 4А показва, че няма съществено неспецифично свързване на STNV-ДНК в същите експерименти, т. е. трансляция в заешки ретикулоцитен лизат в присъствие на  $^{35}\text{S}$ -метионин, последвана от гел-електрофореза, както е описано по-горе. Клон O<sub>1/8</sub> е обозначен *E. coli* HB101 (G-pBR322(Pst)/HFIF1 ("G-HB101-pHFIF1"), неговата рекомбинантна ДНК молекула G-pBR322(Pst)/HFIF1 ("pHFIF1"),), и неговият хибриден инсерт "pHFIF1 фрагмент". Тази номенклатура показва, че клонът и рекомбинантната ДНК молекула произлизат в Гент ("G") и се състоят от плазмид pBR322, съдържащ при PstI мястото кДНК за човешки интерферон-бета, съответната молекула е първата установена. ("1").

#### ИДЕНТИФИЦИРАНЕ НА КЛОНОВЕ, СЪДЪРЖАЩИ РЕКОМБИНАНТНИ ДНК МОЛЕКУЛИ, КРЪСТОСАНО-ХИБРИДИЗИРАЩИ С pHFIF1

pHFIF1 се използва за скриниране на библиотеката от клонове, получена предварително, за бактериални клонове, съдържащи рекомбинантни ДНК молекули, имащи сродни хиbridни ДНК инсерти, при хибридиране на колониите (M. Grunstein and D. S. Hogness, "A Method for the Isolation of Cloned DNA's that Contain a Specific Gene", Proc. Natl. Acad. Sci. USA, 72, pp. 3961-3965 (1975)). Този метод позволява бърза идентификация на родствени клонове, чрез хибридиране на радиоактивна сонда, направена от pHFIF1 към ДНК на лизирани бактериални колонии, фиксирани върху нитроцелулозни филтри.

Библиотеката от клонове, съхранена в микротитърни плаки, както е описано по-горе, се реплицира върху нитроцелулозни листи със сходна големина (0.45 мкм диаметър на порите, Schleicher and Schuell или Millipore), които предварително са сварени, за да се отстрани детергентът и листите са сложени върху петрита с LB-агар, съдържащи тетрациклин (10 мкг/мл). Бактериалните колонии растат до следващия ден при 37°C. Лизисът и фиксирането на бактериите върху нитроцелулозните филтри става чрез измиване последователно в 0.5 N NaOH (два пъти по 7 мин), 1 M Tris-HCl (pH 7.5)(7 мин), 0.5M Tris-HCl (pH 7.5) и 1.5 M NaCl (7 мин), 2 x SSC (0.15 M NaCl, 0.015 M Na-цитрат (pH 7.2)(7 мин). След старательно изплакване с етанол и изсушаване на въздуха, листите се изпичат за 2 часа при 80°C във вакуум и се съхраняват при стайна температура.

Hinf I рестрикционен фрагмент, специфичен за pHF1 фрагмента (по-долу), служи като сонда за хибридизирането на колониите, описано по-долу. Този фрагмент (прибл. 170 чифта бази) се пречиства чрез електрофореза от продуктите на смилане на pHF1 с Hinf I в 6% полиакриламиден гел. След оцветяване на ивиците ДНК с етидиум бромид, специфичните фрагменти се елюират, подлагат се на ре-електрофореза и се бележат с  $^{32}\text{P}$  чрез "накъсано превеждане" (ник-трансляция) (P. W. J. Rigby *et al.*, "Labeling Deoxyribonucleic Acid to High Specific Activity in Vitro by Nick Translation with DNA Polymerase I", *J. Mol. Biol.*, 113, pp. 237-51(1977)) при инкубиране в 50 мкл 50 mM Tris-HCl (pH 7.4), 10 mM MgCl<sub>2</sub>, 20 mM бета-меркаптоетанол, съдържащ по 2.5 мкл от dCTP, dTTP и dGTP, всеки с концентрация 400 мкМ, 100 pmol алфа-ATP (Amersham, 2000Ci/mmol) и 2.5 единици от

ДНК полимераза I (Boehringer) при 14°C за 45 мин. Нереагираните дезоксинуклеотид трифосфати се отстраняват чрез гел-фильтрация върху Sephadex G50 в TE буфер. Високо маркираната  $^{32}\text{P}$  ДНК се преципитира с 0.1 обема 2 M натриев ацетат (pH 5.1) и 2.5 обема етанол при 20°C.

Хибридизирането на гореказаната сонда към импрегнирания с ДНК филтър се провежда точно както е описано от D. Hanahan and M. Meselson (лични контакти). Филтрите, пригответи предварително както е описано, по-горе се преинкубират 2 часа при 68°C в 0.1% фикол, 0.1% поливинилпиролидон, 0.1% говежди серумен албумин, 0.15 M NaCl, 0.03M Tris-HCl(pH 8.0), 1 mM EDTA и се изплакват с 0.02% фикол, 0.02% поливинилпиролидон, 0.02% говежди серумен албумин, 0.75 M NaCl, 0.15M Tris-HCl(pH 8.0), 5 mM EDTA и 0.5% SDS. Хибридизацията продължава до следващия ден при 68°C в разтвор, идентичен с този за изплакването, и при използване на сонда, маркирана с  $^{32}\text{P}$ , която е денатурирана 5 мин при 100°C непосредствено преди това. Хибридизираните филтри се измиват 2 пъти с 0.3 M NaCl, 0.06M Tris-HCl(pH 8.0), 2 mM EDTA за 2 часа при 68°C преди изсушаване на въздух и авторадиография.

Скрират се около 1350 клона, произлизащи от 800-900 ДНК класа. Тринадесет колонии, включително pHFIF1 дават положителен резултат. Тези колонии се обозначават G-HB101-pHFIF1 до 13, а техните рекомбинантни ДНК молекули pHFIF1 до 13. Една от колониите, pHFIF2, е хибридизирана с поли(A) РНК, съдържаща мРНК за интерферон-бета и е изследвана с използване на DBM-целулозна хартия (вж. по-горе). Тъй като тоталната

интерферон-РНК активност се определя в хибридираната фракция и нехибридираната РНК не съдържа забележима активност, ясно е че клоновете, идентифицирани чрез хибридиране на колониите към част от pHFIF1 фрагмента също хибридираат с мРНК за интерферон-бета.

Очевидно е, че този метод за скриниране на клонове, използващ ДНК инсерт от pHFIF1 за човешки интерферон-бета или друг ДНК инсерт от клон, идентифициран с използването на ДНК инсерт от pHFIF1, както е описано по-горе, може да се използува еднакво добре и за други клонове, съдържащи ДНК секвенции, произлизащи от рекомбинантна ДНК технология, синтез, естествени източници или комбинация от тях, или клонове, съдържащи ДНК секвенции, свързани с някоя от посочените по-горе ДНК секвенции посредством мутация, включително единична или множествена, заместване на бази, инсерции, инверсии или делеции. Следователно такава ДНК секвенция и нейното идентифициране също попада в рамките на това изобретение. Също трябва да бъде разбрано, че ДНК последователностите, които не са скринирани с горните ДНК секвенции, но които в резултат от подреждането на нуклеотидите си кодират полипептиди, кодирани от горните секвенции, също попадат в тези рамки.

#### ХАРАКТЕРИСТИКА НА СВЪРЗАНИТЕ С ИНТЕРФЕРОН-БЕТА РЕКОМБИНАНТНИ ПЛАЗМИДИ

Тринадесетте клона ( pHFIF1-13), които са открити чрез хибридиране на колониите, се характеризират по-нататък. Конструирана е физическа карта на инсертите на тези

клонове и е определена ориентацията на инсертите в различни клонове.

Физическата карта на плазмидите се конструира чрез смилане с различни рестрикционни ензими (New England Biolabs) в 10 mM Tris-HCl (pH 7.6), 7 mM MgCl<sub>2</sub> и 7 mM бета-меркаптоетанол при 37°C чрез добре познатите процедури. Продуктите от смилането се разделят чрез електрофореза в 2.2% агароза или 6% полиакриламиден гел в 40 mM Tris-HOAc (pH 7.8), 20 mM EDTA. Те се анализират след онагледяване чрез оцветяване с етидиум бромид и се сравнява с подробната физическа карта на pBR322 (J.G. Sutcliffe, по-горе). Рестрикционни карти на различните плазмиди са конструирани на базата на образци от такива разграждания. Последните са усъвършенствувани чрез секвениране на ДНК инсертите в различните плазмиди, основно чрез процедурата на A. M. Maxam and W. Gilbert, "A New Method for Sequencing DNA", Proc. Natl. Acad. Sci. USA, 74, pp. 560-564 (1977).

Плазмидната ДНК се приготвя от някой от клоновете от pHF1-13 в съответствие с това изобретение по метода на Kahn *et al.*, (по-горе), използвани предварително тук за изолиране на ДНК от партидите клонове за скриниране. Изолираната ДНК- форма I се пречиства чрез центрофугиране в неутрален захарозенградиент, както е описано, по-горе и се подлага на рестрикция с различни рестриктази, изключително като е препоръчано от снабдителя (New England Biolabs).

Разградената ДНК се дефосфорилира за 30 мин при 65°C в присъствието на 4 единици бактериална алкална фосфатаза и 0.1% SDS. Следват две фенолни екстракции и преципитация с

етанол. ДНК се бележи в 5' края с гама- $^{32}\text{P}$ -ATP (прибл. 3000 Ci/mmol) и полинуклеотидкиназа (P-L Biochemicals, Inc.).

За секвениране, белязаните фрагменти се третират по два начина. Някои се пречистват върху полиакриламиден гел преди разграждането с втори рестрикционен ензим. Други веднага се разграждат с втори рестрикционен ензим. И в двата случая желаните фрагменти се разделят върху полиакриламиден гел в Tris-borate-EDTA буфер. Фигура 7 показва различни рестрикционни фрагменти (кръгчетата показват белега и стрелка с посоката на секвенирането) а стратегията на секвениране използува pHFIF1, pHFIF3, pHFIF6 и pHFIF7.

Фрагментите се разграждат съгласно метода на A. M. Maxam and W. Gilbert, (по-горе). Продуктите се разделят върху полиакриламидни гелове с различни концентрации и дължини в 50 mM Tris-борат, 1 mM EDTA (pH 8.3) при 900 до 2000V.

Всеки участък от кДНК инсерта се секвенира откъм двете вериги и всеки рестрикционен участък, който служи като маркиран край, се секвенира с фрагмент, който го обхваща. Събирателната нуклеотидна секвенция, получена по този начин за кодиращата верига на ДНК за интерферон-бета, или генят и съответната му аминокиселинна секвенция са изобразени на фигура 4. Тъй като никой от плазмидите pHFIF1-13 не съдържа пълния ген за човешки интерферон-бета, то фигура 4 се получава от комбинация от данните на поне два такива плазмиди. Относно това, фигура 5 показва взаимната връзка между инсертите pHFIF1, pHFIF3, pHFIF6 и pHFIF7. Непрекъснатите стрелки или пунктирите показват ориентацията на различните части на инсертите.

Отнасяйки се към фиг. 4, виждаме, че хетерополимерната част на инсърта е рамкиран от едната страна със сегмент, богат на Т-остатъци, и с нишка от А-остатъци (вероятно отговарящи на поли(А)края на мРНК). За информация, инсърта е номериран от първия нуклеотид на съставния инсърт до нуклеотидно гнездо в нетранслираната част на инсърта. ATG иницииращ триплет при позиция 65-67 и TGA терминиращ триплет при позиции 626-628 определят четивната рамка, която не се прекъсва от безмислени кодони. Всяка друга транслируема последователност, т.е. при различна рамка на четене, обградена от ATG или GTG и терминационен сигнал, е много къса, за да кодира полипептид с очаквания размер на интерферон-бета. Следователно областта между нуклеотиди 65 и 625 най-вероятно включва нуклеотидната секвенция за съставната ДНК- последователност, която кодира интерферон-бета в съответствие с настоящото изобретение.

Тази секвенция не изключва възможността мутации на гена, като мутации, включващи единични или множествени замествания на базите, делеции, инсерции или инверсии, да не протичат винаги в гена или да не участвуват съществено в модификацията на неговите свойства или в свойствата на полипептидите, кодирани от него. Тя не изключва полиморфизъм, който може да има за резултат физиологично сходни, но структурно леко различни гени или полипептиди от тези, представени на фиг.4 (по-горе, стр. 3 ). Например друг клон, идентифициран съгласно настоящото изобретение има "T", вместо "C" в нуклеотид 90 от нуклеотидната последователност, кодираща интерферон-бета. Тази промяна в третия нуклеотид на кодона не променя аминокиселината, кодирана

от него. Аминокиселинната последователност, кодирана от ДНК последователността на фиг. 4 е идентична на аминокиселинната последователност описана от Taniguchi *et al.*, по-горе.

Трябва да се отбележи, че клонираната кДНК от полиА РНК по обичайната процедура (A. Elefstratiadis *et al.*, по-горе) може да няма 5' терминални нуклеотиди и може дори да съдържа артефактни секвенции (R. I. Richards *et al.*, "Molecular Cloning and Sequence Analysis of Adult Chicken Beta-Globin cDNA", Nucleic Acid Research, 7, pp 1137-46 (1979)). Следователно не е сигурно, че ATG локализирани при нуклеотиди 65-67 са в действителност първите ATG на автентичната интерфеон-бета кодираща секвенция. Обаче за целите на следващото описание се приема, че ATG при нуклеотиди 65-67 са първите ATG от автентичната мРНК за интерферон-бета.

При сравнение на полипептида, кодиран от тази област на инсърта σ секвенцията от 13 N-терминални аминокиселини на автентичен човешки фибробластен интерферон - MetSerTyrAsnLeuLeuGlyPheLeuGlnArgSerSer - определена от Knight *et al.*, изглежда, че избраната рамка на четене е коректна и че нуклеотидите 65-127 може би кодират сигнален пептид, който предхожда нуклеотидната последователност, кодираща "зрелия" полипептид.

В допълнение в еукариотните мРНК първият AUG триплет откъм 5' края е обикновено иницииращото място за протеинов синтез ( M. Kozak, "How Do Eukaryotic Ribosomes Select Initiation Regions in Messenger RNA?", Cell, 15, pp. 1109-25 (1978)). Тук кодонът в съставния фрагмент, отговарящ на първата аминокиселина на фибробластния интерферон е на

разстояние 22 кодона от първия ATG-триплет. Това отново дава основание да се предполага че ДНК секвенцията, кодираща фибробластен интерферон, може би се предхожда от секвенция, определяща сигнален полипептид от 21 аминокиселини. Предполагаемата сигнална секвенция съдържа серия от хидрофобни киселини. Такова акумулиране на хидрофобни документи е характерно за сигналните секвенции (с.ф., B. D. Davis and P.C. Tai, "The Mechanism of Protein Secretion Across Membranes", Nature, 283, pp. 433-38 (1980)).

Както изглежда, нуклеотидната последователност, отговаряща на зрелия човешки интерферон-бета, съдържа 498 нуклеотиди, които кодират 166 аминокиселини. Приемайки, че тук няма разтеж откъм киселинния край, молекулното тегло на полипептида на интерферона е 20085. Композицията на базите на кодиращата последователност е 45% G+C. Използването на кодоните в кодиращата интерферон секвенция е в логично съгласие с приетото за мРНК на бозайници изобщо (R. Grantham *et al.*, "Coding Catalog Usage and the Genome Hypothesis", Nucleic Acid Research, 8, pp. 49-629 (1980)). Всяко наблюдавано отклонение може да се припише на малкия брой включени примери.

Структурата на полипептида, изобразен на фигура 4 за съставния фрагмент, разбира се не включва в сметката модификации на полипептида, причинени от неговото взаимодействие с *in vivo* ензимите, напр. гликозилирането. Следователно, трябва да разбираме, че аминокиселинната секвенция, изобразена на фигура 4, може да не бъде идентична с човешки интерферон-бета, продуциран *in vivo*.

Сравнението на първите 13 аминокиселини на автентичен фибробластен интерферон (Knight *et al.*, по-горе) със секвенцията, получена по пътя на дедукция от съставния ген на фиг. 4 не показва разлики. Аминокиселинната секвенция, определена директно за автентичен фибробластен интерферон от една страна, и тази, получена чрез дедукция от последователността на съставния ген на това изобретение от друга, също показват съществени прилики. Фигура 6 показва сравнение между тези композиции.

При все че никоя от рекомбинантните ДНК молекули, първоначално получени в съответствие с това изобретение, не съдържа пълната ДНК секвенция за фибробластен интерферон, те наистина осигуряват полезни сонди за скриниране на ДНК последователности за откриване на такива, които са родствени на човешки интерферон-бета. По-нататък, комбинация от части от инсертите на тези рекомбинантни ДНК молекули, така че да се получи пълна кодираща секвенция за интерферон-бета е, както се вижда по-долу въпрос на сръчност. Например при справка с фиг. 5 и фиг. 8, лесно може да се види че PstI-BglII фрагмент от pHFIF6 може да се присъедини към PstI-HaeII фрагмент от pHFIF7 или EcoRI-PstI фрагмент от pHFIF6 може да се присъедини към PstI-HaeII фрагмент от pHFIF7 или BglII-PstI фрагмент от pHFIF6 може да се присъедини към PstI-BglII фрагмент от клон 7 за формиране на съставна, кодираща човешки интерферон-бета секвенция. Съединяването на тези фрагменти може да бъде направено преди или след вмъкването на клонирания фрагмент в желания плазмид.

ПОЛУЧАВАНЕ НА ПЛАЗМИДИ, СЪДЪРЖАЩИ  
ПЪЛНАТА ДНК ПОСЛЕДОВАТЕЛНОСТ, КОДИРАЩА  
ЧОВЕШКИ ИНТЕРФЕРОН-БЕТА С ЦЕЛ  
ЕКСПРЕСИРАНЕ НА ПОЛИПЕПТИДИ, ПРОЯВЯВАЩИ  
АКТИВНОСТ НА ЧОВЕШКИ ИНТЕРФЕРОН-БЕТА

Бактериофагът ламбда съдържа два силни промотора  $P_L$  и  $P_R$ , чиято активност е под контрол на репресорен протеин, който е продукт на фаговия ген  $cI$ . В присъствие на репресора, транскрипцията от тези промотори е напълно подтисната. Отстраняването на репресора включва силна транскрипция от  $P_L$  и  $P_R$  (за справка вж. H. Szybalski и W. Szybalski, "A Comprehensive Molecular Map of Bacteriophage Lambda", Gene, 7, 217-270 (1979)).

Производните на плазмида с множество копия pBR322 (F. Bolivar *et al.*, "Construction and Characterization of New Cloning Vehicles. II. A Multiple Cloning System", Gene, 2, pp. 95-113 (1977)) са конструирани да включват  $P_L$  промотора.

A. Структура на плазмиди съдържащи  $P_L$  промотор

Плазмид pPLa2311

Плазмид pPLa2311 (показан на фиг.8) се състои от три HaeII фрагменти. Най-големия фрагмент, около 1940 чифта бази, съдържа  $P_L O_L$  област от бактериофага ламбда и областта на гена за бета-лактамаза от pBR322 (J. Sutcliffe, "Complete Nucleotide Sequence of the Escherichia coli Plasmid pBR322", Cold Spring Harbor Symposium, 49, I, pp. 77-90 (1978)). Съседен на този фрагмент е 370 нуклеотидни чифта дълъг HaeII фрагмент, произлизащ от плазмид Col E1. Започването на репликацията обхваща свръзката между тези два фрагмента (A. Oka *et al.*, "Nucleotide Sequence of Small ColE1 Derivatives.

Structure of the Regions Essential for Autonomous Replication and Colicin E1 Immunity", Mol. Gen. Genet., 172, 151-159 (1979)). Третият HaeII фрагмент, с около 1600 нуклеотидни чифта дължина кодира резистентността към канамицин. Този фрагмент първоначално произхожда от плазмид pCR1 (C. Covey *et al.*, "A Method for the Detection of Restriction Sites in Bacterial Plasmid DNA", Mol. Gen. Genet., 145, 155-158 (1976)). Посоката на транскрипция от  $P_L$  промотора е по същия начин както при бета-лактамазния ген. Плазмид pPLa2311 дава резистентност към 100 мкг/мл карбеницилин и 50 мкг/мл канамицин.

### Плазмид G-pPLa8

Плазмид G-pPLa8 (показан на фигура 9) е получен от pPLa2311 чрез превръщане на PstI мястото в бета-лактамазния ген в BamHI място. Това се извършва чрез третиране на отворен PstI pPLa2311 с S1 нуклеаза, последвано от лигиране на тъпия край към към BamHI свързващ фрагмент (линкер)(получен от Collaborative Research Inc., Waltham, Mass.) и рециркуларизиране на молекулата след разцепването с BamHI. Плазмид pPLa8 вече не носи резистентност към карбеницилин, но все още притежава резистентност към канамицин.

### Плазмид G-pPLc24

Плазмид G-pPLc24 (показан на фиг.10) съдържа бета-лактамазния ген и началото на репликация от pBR322. HaeII-EcoRI фрагмент, дълъг 290 нуклеотидни чифта, съдържа  $P_{L'OL}$  областта от бактериофага ламбда. Посоката на транскрип-

цията от  $P_L$  промотора е към EcoRI участъка. EcoRII-BamHI фрагмент, дълъг 431 нуклеотидни чифта, кодира участъка за свързване с рибозомата и първите 98 аминокиселинни остатъка на репликазния ген на бактериофага MS2, получен от плазмида pMS2-7 (R. Devos *et al.*, 'Construction and Characterization of a Plasmid Containing a Nearly Full-Size DNA Copy of Bacteriophage MS2 RNA', J. Mol. Biol., 128, pp. 595-619 (1979)). Трансляцията на MS2 репликазния протеинен фрагмент протича колinearно с транскрипцията от  $P_L$  промотора.

#### B. Температурно-зависимо запускане на $P_L$ промоторната активност.

Транскрипцията от  $P_L$  промотора - присъствующа върху pPLa2311, pPLa8 и pPLc24 плазмидите - се репресира чрез поддържане на плазмидите в щам E.coli, който синтезира репресорен протеин. В резултат на своя авторегулиращ се път на синтез (M. Ptashne *et al.*, "Autoregulation and Function of a Repressor in Bacteriophage Lambda", Science, 194, 156-161 (1976)), едно копие от cI гена в хромозомата на лизогенен щам е способно да репресира напълно  $P_L$  промотор, присъствующа върху плазмид с множество копия.

Щамовете, използвани в това изобретение, са E.coli K12 HI (K12ΔM72 lac<sub>am</sub> trpEA2 Sm<sup>R</sup>(lambda c1857 N<sub>am</sub>7N<sub>am</sub>53 HI bio); U. Bernard *et al.*, "Construction of Plasmid Cloning Vehicles that Promote Gene Expression from the Bacteriophage lambda  $P_L$  Promoter", Gene, 5, 59-76, (1979)) и E.coli M5219 (K12ΔM72 lac<sub>am</sub> trp<sub>am</sub> Sm<sup>R</sup> (lambda1857 HI bio 252); H. Greer, "The kil Gene of Bacteriophage lambda", Virology, 66, 589-604 (1975)). И двата щама съдържат дефектен, неизрезваем ламбда профаг,

носещ мутантен cI ген. Мутантният ген кодира температурно-чувствителен репресор, като по този начин позволява запускането на транскрипцията от  $P_L$  промотора чрез промяна в температурата - при  $28^\circ\text{C}$  репресорът е активен и репресира транскрипцията от  $P_L$  промотора, обаче при  $42^\circ\text{C}$  репресорът се инактивира и транскрипцията от  $P_L$  промотора се включва.

ДНК делецията на профага отстранява част от cro гена и всички останали гени надясно от него (M. Castellazzi *et al.*, "Isolations and Characterization of Deletions of Bacteriophage Lambda Residing as Prophage I E.coli K12", Mol. Gen. Genet., 117, 211-218 (1972)). Делецията на гена cro е предимство, защото е известно, че натрупането на cro протеин поддържа транскрипцията от  $P_L$  промотора (A. Johnson *et al.*, "Mechanism of Action of the cro Protein of Bacteriophage Lambda", Proc. Natl. Acad. Sci. USA, 75, 1783-1787 (1978)). Щамът M5219 в добавка съдържа близо 252 делеция, която отстранява всички гени наляво от cII, с изключение на kil.

При температурна индукция щамът M5219 експресира N-генен продукт. Щамът K12ΔHI от друга страна има две amber мутации в N, които го правят функционално N-негативен. Известно е, че продуктът на N гена действува като анти-терминатор в бактериофага ламбда (J. W. Roberts, "Transcription Termination and Late Control in Phage Lambda", Proc. Natl. Acad. Sci. USA, 72, 3300-3304 (1975)). Анти-терминационния ефект също се наблюдава при терминационни последователности, които естествено не присъстват в ДНК на фага ламбда (например естествения стоп при края на trp оперона), което осигурява стартовете на

РНКтранскрипта при  $P_L$  промотора. По-нататък, полярни<sup>те</sup> ефекти, обусловени от присъствието на безмислен кодон в  $P_L$  транскрипта се освобождават под действието на N генния протеин ( за справка вж. N. Franklin and C. Yanofsky, "The N Protein of Lambda: Evidence Bearing on Transcription Termination, Polarity and the Alteration of E.coli RNA Polymerase" in RNA Polymerase (Cold Spring Harbor Laboratory, 1976) pp. 693-706).

Следователно имайки гореспоменатите плазмиди в термоиндуцируема бактериална  $cI$  основа, можем да си позволим експериментално включване и изключване на активността на  $P_L$  промотора. Избирането на K12ΔHI или M5219 позволява транскрипцията да протича в отсъствие или присъствие на N генен продукт. Последното може да бъде предимство, както е описано по-горе, в случаите, когато ДНК областите, които ще се транскрибират, съдържат терминиращи секвенции или секвенции, забавящи РНК полимеразата.

C. Конструкция на клоновете, които имат ДНК секвенция, кодираща човешки интерферон-бета, вмъкната в плазмид, съдържащ  $P_L$  промотор.

В следното описание изолирането на плазмидната ДНК, рестрикционния анализ на ДНК и лигиранието на ДНК фрагментите се извършва както е описано по-горе за клониране на двойноверижна ДНК. Трансформационният етап също е описан по-горе с изключение на това, че когато K12ΔHI и M5219 се използват за гостоприемник се прави

топлинен шок при 34°C и трансформираните клетки се инкубират при 28°C.

### 1. Конструиране на плазмид G-pPLa-HFIF- 67-1

Рационално за тази конструкция е наблюдението, че комбинация от подходящи рестрикционни фрагменти от клоновете G-pBR322(Pst)HFIF-6 и G-pBR322(Pst)HFIF-7, позволяват реконструкцията на пълна, продължително кодираща секвенция за интерферон-бета. Потокът на получаваните фрагменти по време на няколко конструкционни етапа е показан схематично на фиг.8. Плазмидът G-pBR322(Pst)HFIF-6 беше разграден с EcoRI и PstI и лигиран към плазмид G-pBR322(Pst)HFIF-7, който е разграден с PstI и PvuI. След лигрането сместа се смила с EcoRI и HaeII. 4 пъти моларен излишък от тази смес беше след това лигиран към плазмид G-pPLa2311, който е разграден с HaeII и EcoRI. Трансформантите се получават в щам C600г<sub>K+</sub>(lambda) (който се използва поради своята относително висока трансформационна способност и защото съдържа див тип cI ген) при селекция за резистентност към канамицин. От 15 скринирани трансформанти два са загубили резистентността си към карбеницилин. Рестрикционният анализ на ДНК, изолирана от плазмидите на тези трансформанти, показва, че един от тях има желаната структура на G-pPLa-HFIF- 67-1, представена на фиг 8. Този плазмид съдържа уникално EcoRI място и уникално PstI място. Комбинираното EcoRI-PstI разграждане дава два фрагмента. Малкият комигрира с фрагмент, получен от EcoRI-PstI разграждане на G-pBR322(Pst)HFIF-6. BglII разграждането отделя малък фрагмент от около 650 нуклеотидни чифта. Размерът на последния фрагмент е съвместим с очаквания размер след

присъединяване на проксимален BglII-PstI фрагмент от клон G-pBR322(Pst)HFIF-6 към дисталната PstI-BglII част от G-pBR322(Pst)HFIF-7. HincII разграждането дава три фрагмента, както се очаква от присъствието на HincII мястото в  $P_L$  областта, амино-терминалната част на бета-лактамазния ген и нетранслирания 5' край на ДНК секвенцията за човешки интерферон-бета. Плазмидът е обозначен като G-pPLa-HFIF- 67-1.

Базирайки се на гореспоменатото характеризиране чрез рестрикционно - ензимен анализ , плазмида G-pPLa-HFIF- 67-1 би трябвало да съдърж пълната кодираща секвенция за човешки интерферон- бета. Посоката на желаната транскрипция протича колинеарно с тази от  $P_L$  промотора. Между  $P_L$  и HuIFN-beta кодиращата секвенция плазмида все още запазва поли (А-Т) опашка и един обърнат 3' краен фрагмент, както в G-pBR322(Pst)HFIF-6.

## 2. Конструиране на плазмид G-pPLa-HFIF- 67-12

Следващото стъпало в конструкцията цели отстраняването от G-pPLa-HFIF- 67-1 на поли (А-Т) опашката и част от инвертиралия 3' краен фрагмент (вж. фиг. 9). G-pPLa-HFIF- 67-1 ДНК се смила с BglII и HpaII. Тъй като кодиращата човешки интерферон -бета секвенция не съдържа HpaII участък това смилане води до BglII фрагмент, съдържащ цялата кодираща последователност за интерферон-бета и в същото време инактивира останалата част от вектора. Полученият BglII фрагмент се лигира към плазмид G-pPLa8, който е обработен с Bam HI. Ензимите BglII и BamHI произвеждат идентични висящи краища, така че BglII

краищата могат да се лигират към отворен BamHI участък и обратно. Такова реконструирано място повече не е субстрат на BglII или BamHI, но се разпознава от ензима Sau3aI(MboI) (V. Pirotta, "Two Restriction Endonucleases from *Bacillus globigii*", Nucleic Acid Research, 3, 1747-1760 (1976)). След лигирането сместа отново се разцепва с Bam HI, за да се елиминират тези G-pPLa8 молекули, които са рециркуларизирали. Трансформантите отново се получават в C600r<sub>Km</sub><sup>+</sup>(lambda), селекционирани за резистентност към канамицин.

Трансформантите се скринират чрез определяне големината на неразградената ДНК върху агарозен гел както е описано по-горе за характеризиране на сродните на интерферон-бета рекомбинантни плазиди. Клоновете, които са леко по-големи от родителския G-pPLa8, се подлагат по-нататък на рестрикционен анализ с PstI или HincII. Установено е, че един от клоновете съдържа единично PstI място и три HincII места. Един фрагмент от този клон комигрира с HincII фрагмент от pPLa8 който се получава от P<sub>L</sub> до беталактамазната област. Друг малък фрагмент от клона измерен около 400 нуклеотидни чифта -съвместим с инсерция-та от BglIII фрагмента в G-pPLa8 по отношение на ориентацията спрямо P<sub>L</sub> промотора. Този плазмид е обозначен G-pPLa-HFIF- 67-12. Етапите, използвани за конструкцията на този плазмид са показани схематично на фиг.9. По детайлна карта на този плазмид е показана на фиг. 11. Размерът на плазмida (ок.4450 нуклеотидни чифта) е определен чрез размера на неговите съставни фрагменти, а те на свой ред се определят чрез относителната им подвижност при електрофореза в агарозен гел.

*E.coli* K12 Δ HI и M5219 тогава се трансформират с характеризирания плазмид G-pPLa-HFIF-67-12. Проверката на определените нуклеотидни последователности около BglII/BamHI свързването в G-pPLa-HFIF-67-12 показва интересно явление. Полипептидът, започващ при AUG на бета-лактамазната кодираща секвенция на този плазмид завършва при двоен amber кодон, локализиран в непреведения 5' край на секвенцията, кодираща човешки интеферон-бета. Тези терминационни кодони са разположени 23 нуклеотида преди иницииращия AUG кодон на сигналния пептид на HuIFN-beta т.е.:

181\* Съединение BamHI/BglII  
 CCC.CGG.AUC.UUC.AGU.UUC.GGA.GGC.AAC.CUU.UCG.  
Pro - Arg - Ile - Phe - Ser - Phe - Gly - Gly - Asn - Leu -  
 ←Ser -

AAG.CCU.UUG.CUC.UGG.CAC.AAC.AGG.UAG.UAG  
 Lys - Pro - Leu - Leu - Trp - His - Asn - Arg am am

GCGACACUGUUCGUGUUGUCAAC - (HuIFN-beta  
 сигнален пептид кодираща секвенция) -AUG-(секвенция,  
 кодираща зрял HuIFN-beta)

Оградената фигура показва номера на аминокиселинния остатък в бета-лактамазния протеин на pBR322 (J. Sutcliffe, по-горе). Звездичката (\*) показва, че CCU кодонът присъствующ при тази позиция върху pBR322, е сменен с CCC, като следствие от конверсията на PstI мястото в pPLa2311 с BamHI място в pPLa8 (вж. по-горе).

Следователно, тази конструкция отваря възможности за реиницииране при AUG на сигналния пептид на HuIFN-beta и следователно възможна експресия на интерферон-бета, свързан със своя сигнален пептид, но не и към част от бета-лактамаза. Такова вътрешно реиницииране, следващо преждевременно терминиране е наблюдавано в репресорния ген за лактозния оперон на *E.coli* ( T. Platt *et al.*, "Translational Restarts: AUG Reinitiation of a lac Repressor Fragment", *Proc. Natl. Acad. Sci. USA*, 69, 897-901 (1972)). Тази конструкция вероятно дава възможност за екскретиране на зрелия интерферон-бета при правилно бактериално разпознаване на сигналната секвенция на човешки интерферон-бета.

### 3. Конструиране на плазмид G-pPLa-HFIF- 67-12Δ19

От познатите последователности на pBR322 и кодиращата човешки интерферон-бета секвенция може да се изведе тази делеция от G-pPLa-HFIF-67-12 на малкия HincII фрагмент (от вътрешността на бета-лактамазата до три нуклеотида срещу AUG, инициращ сигналния пептид на HuIFN-beta ), водещ до продължително стартиране на транслационната рамка за четене при AUG на бета-лактамазата и завършване след кодиращата секвенция за човешки интерферон-бета. Тази конструкция е следователно определена да кодира полипептид, състоящ се от 82 аминокиселинни остатъка от бета-лактамазната кодираща секвенция, един аминокиселинен остатък, кодиран при слятото HincII място, сигналния полипептид за HuIFN-beta и зрял HuIFN-beta т.е.:

82

GUU.AAC.AUG-(кодираща последователност за сигналния  
Val Asn - Met

полипептид за HuIFN-beta-AUG--(кодираща последователност за зрял HuIFN-beta)

Оградената фигура показва номера на аминокиселинния остатък в бета-лактамазния протеин на pBR322 (J. Sutcliffe, по-горе). Следователно тази конструкция може да позволи експресирането на слят полипептид, състоящ се от част от бета-лактамаза, слята чрез една аминокиселина със сигналния пептид на HuIFN-beta, който от своя страна е свързан със зрял HuIFN-beta. Такъв слят протеин може да се екскретира от клетката.

G-pPLa-HFIF-67-12 се смила частично с HincII. Следва лигирание при концентрация на ДНК около 0.01 мкг/мл., ДНК е разградена с Xor II, един изоизомер на PvuI, произвеждащ 3' изпъкнали краища (R. Wang *et al.*, Biochim. Biophys. Acta, *in press*) и религирание при ниска ДНК концентрация. Родителската G-pPLa-HFIF-67-12 съдържа две XorII места: едното инактивира канамициновия ген, а другото е локализирано в HincII фрагмента, който се отделя от плазмида. Целта на разграждането с XorII и религиранието е да се елиминират родителските молекули, които не са разградени с HincII. Такива молекули съдържат две XorII места и при условията, използвани за лигирание е много малко вероятно отново да се свържат. Трансформантите се получават в C600r<sub>K</sub>-m<sub>K</sub><sup>+</sup>(lambda), селективен за канамицин и скриниран чрез рестрикционен анализ за присъствието на единствено PvuI място. По-нататъшният анализ на клоновете продължава чрез разграждане с HincII. Един клон, в който липсва малкият HincII фрагмент, но от друга страна е идентичен на G-pPLa-HFIF-67-12, се обозначава G-pPLa-

HFIF-67-12Δ19. Етапите, използвани в конструирането на този плазмид са показани схематично на фиг. 9. По-подробна карта на този плазмид е показана на фиг. 12. Размерът на плазмода (ок. 4500 нуклеотидни чифта) се определя чрез обобщаване на размера на съставящите го фрагменти, които на свой ред се определят чрез относителната им подвижност в агарозен гел. *E. coli* K12ΔHI и M5219 след това се трансформират с характеризирания плазмид G-pPLa-HFIF-67-12Δ19.

#### 4. Конструиране на плазмид G-pPLc-HFIF- 67-8

Плазмидът G-pPLc24 предлага друга възможност за вмъкване на секвенции за HuIFN-beta по такъв начин, че да може потенциално да се синтезира друг слят полипептид. Вмъкването на BglII фрагмент от G-pPLa-HFIF-67-1 в BamHI участъка на G-pPLc24 води до създаване на продължителна четивна рамка, кодираща 98 аминокиселинни остатъка от MS2 репликазния ген (W. Fiers *et al.*, "Complete Nucleotide Sequence of Bacteriophage MS2 RNA: Primary and Secondary Structure of the Replicase Gene", *Nature*, 260, 500-507 (1976)). 27 аминокиселини се кодират от участъка между BglII мястото и инициирация AUG на сигналната секвенция на човешки интерферон-бета:

98	UGG GAU.CUU.CAG.UUU.CGC.AGG.CAA.CCU.UUC.GAA. Trp - Asp - Leu - Gln - Phe - Arg - Arg - Gln - Pro - Phe - Glu
----	---

GCC.UUU.GCU.CUG.GCA.CAA.CAG.GUA.GUA.GGC.GAC. Ala - Phe - Ala - Leu - Ala - Gln - Gln - Val - Val - Gly - Asp
---

ACU.GUU.CGU.GUU.GUC.AAC.AUG-(кодираща секвенция  
Thr - Val - Arg - Val - Val - Asn - Met

на сигналния полипептид на HuIFN-beta)-AUG-(секвенция,  
кодираща зрял HuIFN-beta)

Оградената фигура показва номера на аминокиселинния остатък в MS2 протеина на репликазния ген (R. Devos *et al.*, по-горе; W. Fiers *et al.*, по-горе). Следователно тази конструкция може да позволи експресирането на слят полипептид, съдържащ част от MS2 репликаза, свързана с 27 аминокиселинни остатъка със сигналния пептид за човешки интерферон-бета, който от своя страна е свързан със зрелия човешки интерферон-бета.

G-pPLa-HFIF-67-1 ДНК се смила с BglII и се лигира с BamHI-разграден pPLc24 ДНК. Лигиращата смес се обработва с BamHI, за да се елиминират родителските молекули pPLc24 и се трансформира в C600r $\lambda$ -m $\lambda$ <sup>+</sup>(lambda), селективен за резистентност към карбеницилин. Трансформантите се анализират чрез рестрикция с HincII. От познаването на местата за рестриктазно разграждане в pPLc24 може да се предвиди, че инсерцията от BglII-IFN-beta фрагмента с ориентация по отношение на P<sub>L</sub> ще даде един допълнителен HincII фрагмент с дължина около 650 нуклеотидни чифта. Представителен клон, проявяващ тази конфигурация, е обозначен G-pPLc-HFIF-67-8. Етапите, използвани при конструирането на този плазмид, са показани схематично на фигура 10. По-подробна карта на плазмида е показана на фиг. 13. Размерът на плазмида (ок. 3850 нуклеотидни чифта) се

определя чрез обобщаване на размера на съставящите го фрагменти, които на свой ред се определят чрез относителната им подвижност в агарозен гел. E. coli K12ΔHI и M5219 след това се трансформират с характеризирания плазмид G-pPLc-HFIF-67-8.

### 5. Конструиране на плазмид G-pPLa-HFIF- 67-12Δ279T

Плазмидът pKT 279 (подарък от K. Talmage; pKT279 е произведен на pBR322, имащ делеция на част от гена за бета-лактамаза и PstI място, конструирано при аминокиселина 2. на бета-лактамазата) се смила с PstI, краищата се отстраняват и фрагментът се прави с тъпи краища посредством E.coli ДНК полимераза I (Klenow фрагмент) в присъствие на дезоксинуклеотид трифосфати. Линеаризирания с PstI и с тъпи краища фрагмент от pKT279 след това се смила с EcoRI за да се получи фрагмент, който между другото кодира сигналната секвенция на бета-лактамазата и първите 4 аминокиселини на зрелия протеин.

Този малък фрагмент след това се използва, за да замести HpaI-EcoRI фрагмент от G-pPLa-HFIF-67-12Δ19 (HpaI мястото е резултат на по-горе описаната делеция от G-pPLa-HFIF-67-12) чрез лигиранието му със смлян с HpaI-EcoRI pPLa-HFIF-67-12Δ19 в присъствие на T<sub>4</sub> ДНК лигаза.

Предполагаемата последователност при PstI (с тъпи краища) -HpaI свързването е:

(кодираща секвенция за бета-лактамазен сигнален цептид)-  
-CAC.CGC.AAC.AUG-

His - Arg - Asn- Met

(кодираща секвенция на сигналния полипептид на HuIFN-beta)-AUG-(секвенция, кодираща зрял HuIFN-beta)

Вследствие на това, получената конструкция има IFN-beta предхождан от две сигнални секвенции, взети в тандем бактериална сигнална секвенция (бета-лактамаза) и сигнална секвенция за интерферон-бета-свързани с няколко аминокиселини. Следователно тази конструкция позволява експресирането на човешки интерферон-бета, свързан с два сигнални пептида или ако тандемната комбинация между бактериалната сигнална секвенция и сигналната секвенция за интерферон-бета се разпознаят от бактериите и се разградят коректно, конструкцията може да позволи експресирането на зрял човешки интерферон-бета и неговото екскретиране от клетката.

*E. coli* M5219 се трансформира с pPLa-HFIF-67-12A279T.

#### 6. Конструиране на плазмид G-pPLa-HFIF- 67-12A218M1

Плазмид pKT218 (подарък от K. Talmage; pKT218 е произведен на pBR322, имащ делеция на част от гена за бета-лактамаза и неговата сигнална секвенция, и PstI място, конструирано при аминокиселина 4. на сигналната секвенция за бета-лактамазата) се смила с EcoRI и AluI за получаване на фрагмент, кодиращ между другото инициалната част на сигналния пептид за бета-лактамаза. Този фрагмент се лигира в присъствие на T<sub>4</sub> ДНК лигаза с фрагмент, получен от смилане на pPLa-HFIF-67-12A19 чрез смилане с AluI в присъствие на актиномицин D (0.05 mM)(за да се среже плазмида при AluI мястото в сигналния пептид за IFN-beta) и рестрикция с EcoRI.

Полученият плазмид, обозначен pPLa-HFIF- 67-12A218M1, съдържа инициалната част на полипептида, кодиращ бета-

лактамаза, част от гена, кодиращ сигналната секвенция за човешки интерферон-бета и гена, кодиращ зрял човешки интерферон-бета. Предполагаемата секвенция на принадлежащата към плазмида област е:

4

CAA.GCU.CUU.UCC.AUG-(секвенция, кодираща зрял Hu  
Gln - Ala - Leu - Ser - Met-  
IFN-beta)

Оградената фигура се отнася до номера на аминокиселинния остатък в сигналния пептид за бета-лактамаза на pKT218. Следователно, тази конструкция позволява експресия на зрял човешки интерферон-бета, свързан към част от бактериалната сигнална секвенция и част от собствената си сигнална секвенция. Отново, ако бактериалния гостоприемник разпознае и коректно разгради хибридената сигнална секвенция, то зрял човешки интерферон-бета ще се експресира от плазмида и ще се екскретира от клетката.

E. coli M5219 се трансформира с pPLa-HFIF-67-12ΔM1.

## 7. Конструиране на плазмид G-pPLa-HFIF- 67-12ΔM1

Плазмид pPLa-HFIF-67-12Δ19 се линеаризира както преди чрез смилане с AluI в присъствие на актиномицин D (0.05 mM) за да се генерира срязване при AluI мястото в сигналния пептид на човешки интерферон-бета. След смилане с HpaI ДНК се рециркулира в присъствието на T4 ДНК лигаза. Полученият плазмид, обозначен G-pPLa-HFIF- 67-12 Δ M1, има само малка част от сигналната секвенция на IFN-beta, предшествуваща ДНК секвенцията, кодираща зрял IFN-beta. Предполагаемата секвенция на свързването е:

82

GUU.CUC.UUU.CCA.UGA.  
Val - Leu -Phe - Pro -STOP

HuIFN-beta)

AUG-(секвенция кодираща зрял

Оградената вертикално фигура се отнася до номера на аминокиселинния остатък в бета-лактамазата. Оградената хоризонтално фигура се отнася до последователност във втората четивна рамка. Следователно транслирането на секвенцията, кодираща бета-лактамаза и останалата част от секвенцията, кодираща сигнален пептид на интерферон-бета е спряна при UGA-STOP кодона. Обаче стартовият кодон AUG за зрелия интерферон-бета присъствува на същото място, въпреки че е в различна рамка на четене. Следователно, ре-инициирането на транслацията може да се намира при тази тази точка за получаване на зрял HuIFN-beta.

E. coli M5219 се трансформира с pPLa-HFIF-67-12ΔM1.

#### 8. Конструиране на плазмид G-pPLa-HFIF- 67-12Δ19 BX-2

Плазмид pPLa-HFIF-67-12Δ19 се линеаризира с HpaI и се третира с езонуклеаза BAL 31, за да се отстраният нуклеотидни чифтове последователно от края на линеаризирания ДНК фрагмент (H. Gray *et al.*, "Extracellular Nucleases of Pseudomonas Bal 31" I. Characterization of Single Strand Specific Deoxyribonuclease", Nucleic Acid Res., 2, pp. 1459-92 (1975)). Чрез вариране на времето и условията на езонуклеазно третиране се конструират серия от ДНК фрагменти, имащи различен брой нуклеотиди от кодиращата последователност за сигналния пептид на човешки интер-ферон-бета, ако има

такава, предшествуващи AUG стартовия кодон на зрелия HuIFN-beta. Тези фрагменти могат да се манипулират след това, за да се конструира място за свързване с рибозомата на различни разстояния от този стартов кодон и да се даде възможност на желаната вторична структура в близост до кодона да повиши експресията на зрелия човешки интерферон-бета.

На фрагментите, третирани с екзонуклеаза, краищата им се правят тъпи с ДНК полимераза I от E.coli (Klenow фрагмент) в присъствието на dATP и dGTP за запълване на 5' изпъкнатите краища. След това двойноверижен XhoI линкер, прите-жаващ секвенцията 5'-CCTCGAGG-3' (Collaborative Research), се лигира върху ДНК фрагментите с тъпи краища. Тези фрагменти се отварят след това с двойноверижен EcoRI линкер, имаш секвенцията 5' -CCGAATTGG-3' (Collabo-  
rative Research). След смилането с EcoRI, фрагментите има-  
щи лепливи EcoRI краища, се рециркулираат с E. coli ДНК лигаза. Използването на тази лигаза вместо T<sub>4</sub> ДНК лигаза избягва рециркулирането на фрагментите с тъпи краища. Един плазмид се избира и се обозначава като pPLa-HFIF- 67-12Δ19 BX-2. Той има XhoI място около 25 нуклеотидни цифта срещу AUG стартовия кодон за зрял HuIFN beta. XhoI мястото се предшествува от EcoRI място, генерирано от лигироването на EcoRI линкер на HpaI фрагмент към EcoRI участък, непосредствено предшествуващ P<sub>L</sub> промотора на pPLa-HFIF-67-12Δ19. Следователно, секвенцията, кодираща бета лактамаза, е отстранена. По-нататък, тъй като поне част от сигналната секвенция на HuIFN-beta е отстранена, е възможна експресия само на зрял човешки интерферон-бета. E. coli K12ΔHI се трансформира с pPLa-HFIF-67-12Δ19 BX-2.

## ИЗОЛИРАНЕ И ХАРАКТЕРИЗИРАНЕ НА ЧОВЕШКИ ИНТЕРФЕРОН-БЕТА, ПРОИЗВЕДЕН ОТ БАКТЕРИИ

### A. Получаване на бактериални екстракти

#### 1. Процедура на индуциране

Порция от основните култури (замразени при -80°C в 50% глицерол "50% LB среда), включваща основните култури на щамовете K12ΔHI и M5219, трансформирани с плазмиди, съдържащи интерферон-бета фрагменти, описани по-горе се инжектира в прясна LB среда, съдържаща желания антибиотик и се култивира до насищане при 28°C. Две 500 мл партиди LB среда без антибиотик се инокулират всяка с 1 мл от нааситените клетки и се култивират при енергично разклащаане при 28°C до клетъчна плътност  $2 \times 10^8$ /мл. Едната партида се загрява до 42 °C и продължава да се разклаща. В зависимост от използвания плазмид, културите се събират в различно време от превключването на 42°C. Контролната култура, която остава при 28°C, се събира в същото време, както културата при 42°C. Клетките се събират чрез центрофугиране в GSA ротор (Sorvall) при 8000 об/мин за 10 мин. Утайката се измива в 20 мл 50 mM Tris-HCl (pH 7.4), 30 mM NaCl и се утаява отново в SS34 ротор (Sorvall) за 10 мин при 10 000 об/мин. Утайката бързо се замразява в сух лед - метанол и се съхранява при -80°C. Когато е необходимо събранныте клетки да се подложат на осмотичен шок, етапът на замразяване се пропуска.

Използват се две различни процедури за лизис и екстракция на клетките.

#### 2. ЕКСТРАКЦИОННА ПРОЦЕДУРА

Лизис А

Клетките се ресуспендираат в краен обем 4 мл в по-горе описания буфер и се прибавя лизозим (Sigma) до 1 мг/мл. Инкубацията е 30 мин при 0°C. Суспенсията претърпява два цикъла на замразяване и разтапяне чрез последователно потапяне в смес от етанол-CO<sub>2</sub> (-80°C) и водна баня (37°C). S 100 се приготвя при ултрацентрофугиране на лизирани бактерии (4 мл) в Beckman SW60 Ti ротор за 1 час при 60 000 об/мин и 4°C, след което по-нататък се използва супернатантата.

Лизис В

Лизис В се провежда както е описано по-горе (лизис А), с изключение на това, че разтворят 50 mM Tris-HCl (pH 8.0), 30 mM NaCl се замества с 50 mM HEPES (Sigma) - NaOH (pH 7.0), 30 mM NaCl, 3mM бета-меркаптоетанол и 3% фетален телешки serum (Gibco).

Оsmотичен шок

Веднага след събирането и измиването клетъчната утайка се ресуспендира в 20% захароза, 100 mM EDTA, 100mM Tris-HCl (pH 7.4) при максимална клетъчна плътност  $1 \times 10^{10}$ /мл. Суспенсията се държи върху лед 10 мин и след това се центрофугира 10 мин в SS34 ротор( Sorvall) при 10 000 об/мин. Захарозният разтвор се отделя внимателно от епруветката и утайката се ресуспендира в еднакъв обем вода (клетъчна плътност  $1 \times 10^{10}$ /мл). Ресуспендираните клетки остават върху лед 10 мин и след това се центрофугират отново 10 мин в SS34 ротор( Sorvall) при 10 000 об/мин. Супернатантата се довежда до 3% в 50 mM HEPES , (pH 7.0), 30 mM NaCl , 3mM бета-меркаптоетанол и 3% фетален

телешки серум (Gibco). Тази супернатанта се отбелязва като "осмотично-шокова супернатанта". Тя се съхранява при 0°C.

### 3. Преципитиране с амониев сулфат

1 мл от разтвор на  $(\text{NH}_4)_2\text{SO}_4$ , наситен при стайна температура, се прибавя към 0.5 мл от контролния разтвор или S-100 екстракта. Тази смес се държи върху лед поне 30 мин, след което преципитатът се утайва в Eppendorf центрофуга за 10 мин при стайна температура. Утайката се разтваря отново в PBS (фосфатно-буфериран физиологичен разтвор).

## B. Титрации на интерферона

### 1. Директно антивирусно изследване

Човешки интерферон-бета се изследва в микротитърни плаки (Sterilin) чрез техника на инхибиране на CPE (цитопатичен ефект) в човешки фибробласти, тризомни за хромозома 21. Клетките се посяват един ден преди използването, инкубират се при серия разреждания ( $\log_{10} = 0.5$ ) на пробите за 24 часа и се предизвикват с вирус за везикуларен стоматит (VSV)(щам Индиана) с  $10^{-3}$  разреждане от основния разтвор, съдържащ  $10^{6.9}$  миши C-929 плако-формиращи единици/мл. CPE се отбелязва на 24 час след стимулирането с VSV и крайната точка на действие на интерферона се дефинира като разреждане на пробата, причиняващо 50% редукция на вирусния CPE. Всички изследвания включват вътрешен стандарт за човешки интерферон-бета, който от своя страна е калибриран срещу стандарт за човешки фибробласти на NIH G023-902-527.

Клетъчната линия, тризомна за хромозома 21 (поради това означавана T<sub>21</sub>), е получена от кожна биопсия на пациентка

със синдром на Down. Нейният кариотип е определен и показва диплоидност за всички хромозоми, с изключение на 21 (тризомна). Чувствителността на тези клетки към интерферон изглежда сравнима с чувствителността на клетъчна линия, тризомна по хромозома 21, описана от E. De Clercq *et al.*, "Non-antiviral Activities of Interferon Are Not Controlled by Chromosome 21", Nature, 256, pp. 132-134 (1975) и E. De Clercq *et al.*, "Chromosome 21 Does Not Code for an Interferon Receptor", Nature, 264, pp. 249-251 (1976).

При други изследвания се използува клетъчна линия E<sub>1</sub>SM (A. Billiau *et al.*, "Human Fibroblast Interferon for Clinical Trials: Production, Partial Purification and Characterization", Antimicrobial Agents and Chemotherapy, pp. 49-55 (1979)). Тази линия е диплоидна, фибробластна, дизомна за хромозома 21 и произхожда от двумесечен човешки зародиш. В сравнение с линия T<sub>21</sub>, E<sub>1</sub>SM е по-малко чувствителна към човешки интерферон-бета с фактор от 10.

## 2. Изследване с 2,5-А синтетаза

Друг метод за изследване присъствието на интерферон е с използване на 2,5-А синтетаза. Показано е, че интерферонът индуцира този ензим, който превръща АТФ(АТР) в тримери (и в по-малка степен в димери, тетрамери и мултимери) на 2,5-А. (A. Kimchi *et al.*, "Kinetics of the Induction of Three Translation Regulatory Enzymes by Interferon", Proc. Natl. Acad. Sci. USA, 76, 3208-3212 (1979)).

Смесителни плоски шишета за култивиране, съдържащи култури от E<sub>1</sub>SM клетки (A. Billiau *et al.*, по-горе) се третират 20 часа с 1:6 разреждания на бактериални екстракти или

контролен интерферон в МЕМ-10% фетален телешки serum. Културите се отделят с трипсин (0.25%), EDTA (0.17%) и се измиват екстензивно със 140 mM NaCl в 35 mM Tris-буфер (pH 7.5). Всички следващи операции се провеждат при 4°C. Клетките се хомогенизират в 1.5-2.0 об. 20 mM HEPES буфер (pH 7.4), съдържащ 10 mM KCl, 1.5 mM магнезиев ацетат и 0.5 mM дитиотреитол (ДТТ) (лизис буфер I) в стъклена хомогенизатор на Dounce. Хомогената се центрофугира 20 мин при 10000 x g и супернатантата S10 се съхранява в течен азот, ако не се използува веднага.

Смесителни 96-гнездни микротитрационни плаки (105 клетки в 0.2 мл за 0.28 см<sup>2</sup> гнезда) се третират с интерферон или съответния бактериален екстракт както по-горе. След 20 часово третиране плаките се охлаждат върху лед и се измиват 3 пъти със 140 mM NaCl в 35 mM Tris-буфер (pH 7.5). След това културите се лизират чрез прибавяне към всяко гнездо на 5 мкл разтвор, съдържащ 0.5% Nonidet P40 и 1 mM фенилметан сулфонил флуорид в лизисен буфер I. След енергично разклащане за 20 мин върху лед, клетъчните лизати се събират и се центрофугират 20 мин при 10 000 x g както по-горе.

3.5 мкл от лизата, пригответи както е описано по-горе (лизис A или B), се инкубират 2 часа при 31°C в 6 мкл инкубационна смес, съдържаща 100 mM калиев ацетат, 25 mM магнезиев ацетат, 10 mM HEPES/KOH (pH 7.4), 5 mM ATP, 4 mM фруктозо-1,6 бис-фосфат, 1 mM ДТТ и 20 мкг/мл поли(I)-поли(C) и 2 мкCi от лиофилизирания (алфа-<sup>32</sup>P)-ATP (400 Ci/mmol, Radiochemical Centre, Amersham, U.K.). След спиране на реакцията чрез загряване 3 мин при 95°C и избистряне за 2 мин при 9000 x g, пробите се третират със 150

U/ml алкална фосфатаза от телешко черво (Boehringer, Mannheim cat. nr. 405612) за 1 час при 37°C, избистря се отново и се накапва (1 мкл за проба) върху тънкослойни плаки от полиетиленимин целулоза (Polygram, cel 300 PEI 20 x 20 cm, Macherey-Nagel Co., Duren, Germany). Плаките се измиват 2 пъти в 2 л дестилирана вода и се изсушават под вакуум преди хроматография в 1 M оцетна киселина за 2-3 часа. След изсушаване те се подлагат на авторадиография от 1-24 часа.

### C. Установяване на активност на чевешки интерферон-бета в бактериални екстракти

#### 1. Контролни експерименти

Два главни проблема се появяват при провеждането на по-горе описаните изследвания. И двата са важни при интерпретацията на данните от изследванията. Бактериалните екстракти (включително контролните) при лизиране с по-горе описаните процедури изглежда включват фактор, неродствен на интерферона, който проявява антивирусна активност. Не е ясно дали факторът сам по себе си е антивирусен агент или индуцира антивирусна субстанция, напр. интерферон, при условията на опита. Присъствието на фактора е установено че се повтаря в S100 екстрактите. Активността на фактора е често по-висока при контролните екстракти от E.coli HB101, може би поради клетъчната плътност, отколкото при K12ΔH<sup>+</sup> или M5219, където активността на фактора е често по-малко от 0.7 log<sub>10</sub>/ml. По някаква причина антивирусната активност на фактора се редуцира или дори понякога се елиминира напълно чрез

преципитиране с амониев сулфат при условията, които преципитират и интерферона при контролните експерименти. Поради антивирусната активност, дължаща се на този замърсяващ фактор, е трудно да се направят изводи за присъствието на следи от интерферон в бактериалните екстракти. Обаче е възможно да се дискримирира антивирусната активност на фактора при използване на диплоидни фибробласти E<sub>1</sub>SM. Тези клетки са по-малко чувствителни към човешки интерферон-бета, отколкото обикновените клетки с тризомия 21. Но те са значително по-чувствителни към фактора, отколкото към *bona fide* интерферон. Например, като се използува pMS2-7 (R. Devos et al., "Construction and Characterization of a Plasmid Containing a Nearly Full-Size DNA Copy of Bacteriophage MS2 RNA", J. Mol. Biol., 128, pp. 595-619 (1979)) в E.coli HB101 (H. Boyer and D. Rouland-Dussoix, "A Complementation Analysis of Restriction and Modification of DNA in Escherichia coli", J. Mol. Biol., 41, pp. 459-472 (1969)) или K12ΔHI-G-pPLa2311 като контролни лизати, данните, демонстриращи този относителен ефект, са показани на следващата таблица с антивирусна активност, измерена като log<sub>10</sub> единици/мл.

	<u>T<sub>21</sub></u>	<u>E<sub>1</sub>SM</u>
HB101-pMS2-7 (лизис A)	0.7	
HB101-pMS2-7 (лизис B, без бета-меркаптоетанол и телешки serum)	<0.2	1.2
HB101-pMS2-7 (лизис B)	не е правен	0.7
HB101-pMS2-7 (лизис B)	0.2	1.0
HB101-pMS2-7 (лизис B)	0.7	2.5
K12ΔHI-G-pPLa2311 (лизис B)	0.2	4.0

	$T_{21}$	$E_1SM$
K12ΔHI-G-pPLa2311 (42°C; с осмотичен шок)	0.5	>1.7

По-нататък присъствието на автентичен човешки интерферон-бета се отразява чрез различното отношение на стойностите  $T_{21} : E_1SM$  и високата стойност на  $T_{21}$  в сравнение с тази в присъствие на фактора. Това е показано със следните данни:

	$T_{21}$	$E_1SM$
суперната с осмотичен шок	K12ΔHI-G-pPLa2311 (42°C) + HuIFN-beta(автентичен)	0.5 1.5
лизис В	HB101-pMS2-7	0.2
след ципити- амониев	HB101-pMS2-7 + HuIFN-beta(автентичен)	2.7
ране с	(прибавен преди лизиса)	
сулфат		

Следователно, сравняването на активностите  $T_{21} : E_1SM$  и измерването на абсолютната активност върху  $T_{21}$  клетките дават възможност да се използват антивирусните изследвания, описани по-горе за недвусмислено установяване присъствието на човешки интерферон-бета в бактериален екстракт. По-нататък трябва да се отбележи, че за екстр-

актите от култури на *E.coli* (независимо K12ΔHI или M5219), трансформирани с някои от плазмидите на това изобретение като G-pPLa-HFIF-67-12, G-pPLa-HFIF-67-12Δ19, G-pPLc-HFIF-67-8, G-pPLa-HFIF-67-12Δ279 T, G-pPLa-HFIF-67-12Δ218MI, G-pPLa-HFIF-67-12ΔMI, G-pPLa-HFIF-67-12Δ19 BX-2, такова влияние на непознатия фактор върху антивирусните изследвания е по-малко тежко. При тези изследвания, не много концентрираните естракти (направко клетки от 150 мл култури при плътност 6 x 10<sup>8</sup>/мл се лизират и екстрагират в 4 мл) проявяват ниско или незабележимо ниво на антивирусната активност, дължаща се на непознатия фактор.

Присъствието на този замърсяващ фактор се наблюдава и при изследванията на 2,5-А синтетазната активност. Тук обаче факторът може да се елиминира напълно чрез преципитиране с амониев сулфат. Следователно, действителното присъствие на човешки интерферон-бета в бактериалния естракт, различаващо се от присъствието на замърсяващия фактор, може също да бъде определено недвусмислено с тези изследвания.

Обаче естрактите от *E.coli* HB101/G-pBR322(Pst)/HFIF-6, които имат непълна колinearна кодираща секвенция (липсват само последните няколко нуклеотидни цифта) и затова не могат да експресират зрял полипептид, имат повтаряща се позитивна 2,5-А синтетазна активност, но не и забележима антивирусна активност. Това показва, че 2,5 - А изследванията не могат да се приемат като единствен критерий за присъствието на пълен бактериално-синтезиран интерферон. То също показва, че по-малка от пълната молекула зрял интерферон може да има полезно действие.

2,5 синтетазната активност се измерва чрез инкорпориране на  $^{32}\text{P}$  в 2,5-А , показано с авторадиография. Резултатите (повторени 3 пъти) са показани на следната таблица, с повишаващи се положителни стойности, съответствуващи на повишеното инкорпориране на  $^{32}\text{P}$ .

екстракт а/

pHIF-6"+++; след преципитация с  $(\text{NH}_4)_2\text{SO}_4$ "++

екстракт б/

pMS2-7"+++; след преципитация с  $(\text{NH}_4)_2\text{SO}_4$ "-

екстракт б/

pMS2-7"+++; след преципитация с  $(\text{NH}_4)_2\text{SO}_4$ "-

+ HuIFN-beta

Вторият важен проблем при тези изследвания е ниското въстановяване на човешки интерферон-бета, секретиран от човешки фибробласти по време на и след различните експериментални етапи. В сравнение с левкоцитарния интерферон и с фибробластния интерферон, прибавен към S-100 екстракта, той показва само 10% ефективност, в контраст с човешки интерферон-алфа, който е със 100% въстановяване (антивирусните стойности са дадени в  $\log_{10}$  ед/мл, изследвани върху T<sub>21</sub> клетки).

IFN-alpha, разтворен в S-100 екстракт от HB101-pMS2-7 2.5

(лизис А)

IFN-alpha, разтворен в Е-MEM плюс 3% телешки serum 2.7

IFN-beta, разтворен в S-100 екстракт от HB101-pMS2-7 0.7

(лизис А)

IFN-beta, разтворен в Е-MEM плюс 3% телешки serum 1.7

Други експерименти, при които интерферон-бета се прибавя към клетъчната утайка преди лизиса и екстракцията (дори когато е прибавен телешки serum до 3% като стабилизатор) показват, че се въстановяват само 10-30% от интерферон-бета.

log<sub>10</sub> E<sub>2</sub>/m<sub>1</sub>

	HEPES	T <sub>21</sub>	E <sub>1SM</sub>
HB101-pMS2-7	pH 8	0.7 (10%)	1.7
плюс IFN-beta (лизис B	pH 7	1.0(20%)	1.7
без бета меркаптоета-	pH 6	0.7(10%)	1.7
нол и телешки serum)			
IFN-beta (без бактерии)(същото третиране като лизис B)	pH 6	1.7(50%)	1.5

По-нататък се провеждат експерименти за тестване на стабилността и въстановяването на активността на IFN-beta. Преципитиране с амониев сулфат, както е описано по-горе, в присъствие и отсъствие на бактериални екстракти, често показва редукция в титъра на антивирусните изследвания:

log<sub>10</sub> E<sub>2</sub>/m<sub>1</sub>

<u>Преципитиране с (NH<sub>4</sub>)<sub>2</sub>SO<sub>4</sub></u>	преди	след
IFN-beta	1.0	0.5
IFN-beta	2.7	2.5
HB101-pMS2-7 + IFN-beta (лизис B)	1.5	1.2
K12ΔHI-G-pPLa2311 (28°C )	1.7	1.5

	<u>LOG<sub>10</sub> ЕД./МЛ</u>	
	ПРЕДИ	СЛЕД
+ IFN-beta ((лизис В)		
K12ΔHI-G-pPLa2311 (28°C )	2.2	3.0
+ IFN-beta (лизис В)		

Диализирането на интерферон-бета (до следващия ден при 4°C срещу PBS) в присъствие и отсъствие на бактериални екстракти, също обикновено довежда до намаляване въстановяването на активността на интерферон-бета:

Диализа	<u>log<sub>10</sub> единици/мл</u>	
	преди	след
IFN-beta в PBS	1.0	0.5
IFN-beta в PBS	2.7	2.5
K12ΔHI-G-pPLa8+ IFN-beta (лизис В) (28°C)	1.2	<0.2
K12ΔHI-G-pPLa8+ IFN-beta (лизис В)	3.0	1.7
K12ΔHI-G-pPLa8+ IFN-beta (лизис В)	2.5	1.0
K12ΔHI-G-pPLa8+ IFN-beta (лизис В)	1.5	0.5

Тъй като интерферон-бета спада към тип I интерферони, неговата активност би трябвало да е киселинно стабилна. Това се тества чрез диализиране на пробите в присъствие или отсъствие на бактериални екстракти до следващия ден в 5 mM глицин-HCl (pH2.2) при 4°C. Това третиране предизвиква образуването на преципитат, който се утаява в центрофуга Eppendorf при 12 000 x g за 2 мин. Супернатантата след това се тества за антивирусна активност. Въпреки, че след това третиране остава няаква вирусна активност, то имаме съществена загуба на количеството възстановен интерферон.

		<i>log 10 ед./мл</i>
Диализа	преди	след
HB101-pMS2-7 (лизис А) + IFN-beta K12ΔHI-G-pPLa2311 (28°C )	0.7	0.5
+ IFN-beta след осмотичен шок	1.2	1.2
M5219-G-pPLa8(42°C)(лизис В)	1.2	0.7
+ IFN-beta		
M5219-G-pPLa8(28°C)(лизис В)	3.0	2.0
+ IFN-beta		

Намаляването на активността на човешки интерферон-бета, наблюдавано при тези различни въздействия върху описаните по-горе екстракти трябва да се интерпретира внимателно. Ниските антивирусни титри не винаги означават, че интерферонът е разграден. Те могат да се дължат на неспецифично залепване на HuIFN-beta към диализните мембрани или на компоненти в бактериалните екстракти (напр. мембрани компоненти). Например, добре установено е, че интерферон-бета е хидрофобен протеин (това е обусловено и от аминокиселинната му секвенция), който може да прилепва неспецифично към страните на епруветките или други повърхности. По-нататък бактериалният интерферон-бета, който не е гликозилиран може да бъде още по-хидрофобен. Следователно, изводите върху въстановяването на гликозилиран интерферон-бета, секретиран от човешки клетки не могат да бъдат приведени към интерферона с бактериален произход.

## 2. Демонстриране на активността на интерферон-бета

### A. Антивирусна активност

Бактериални екстракти от E.coli M5219 или K12Δ HI, съдържащи плазмидите G-pPLa-HFIF-67-12, G-pPLa-HFIF-67-12Δ19, G-pPLc-HFIF-67-8, G-pPLa-HFIF-67-12Δ279 T, G-

pPLa-HFIF-67-12Δ218MI, G-pPLa-HFIF-67-12ΔMI или G-pPLa-HFIF-67-12Δ19 BX-2, се анализират за антивирусна активност на интерферон-бета. Процедурата за индуцирането и приготвянето на S-100 екстракти и супернатантите след осмотичен шок са главно както са описани по-горе. 150 мл бактериална култура ( $3\text{-}6 \times 10^8$  клетки/мл) се използват за експеримента. Всички биологични титри са дадени в  $\log_{10}$  единици/мл.

#### G-pPLa-HFIF-67-12

G-pPLa-HFIF-67-12 се използва за трансформиране на E.coli M5219 и E.coli K12ΔHI и S-100 екстракти се приготвят чрез лизис В. Всички преби са преципитирани с амониев сулфат, преди да се тествуват за антивирусна активност.

	<u>T<sub>21</sub></u>	<u>E<sub>1SM</sub></u>
K12ΔHI-G-pPLa-HFIF-67-12(28°C)	<0.2	<1.0
K12ΔHI-G-pPLa-HFIF-67-12(42°C, 90 мин)	0.2/0.5	<1.0/<1.0
M5219-G-pPLa-HFIF-67-12(28°C)	<0.2	<1.0
M5219-G-pPLa-HFIF-67-12(42°C, 90 мин)	0.7/07	<1.0/<1.2

Втората фигура в горната таблица е титърът, определен при повторно анализиране на същата преба. Контролният опит е прибавяне на автентичен интерферон-бета към E.coli HB101-pMS2-7 преди лизиса на клетките и показва, че въстановяването на интерферон-бета в опита е 30%. Следователно ясно е, че при индукция се наблюдава интерферон-бета антивирусна активност в бактериалните лизати. Титрите, тъй като са по-ниско от определеното ниво на E<sub>1SM</sub> клетките, показват ясно, че активността на интерферон-бета не се

дължи на замърсяваща бактериална активност. Такава замърсяваща бактериална активност дава стойности поне 2.0 върху  $E_1SM$  срещу 0.5 или 0.7 върху  $T_{21}$  клетките (вж. контролните експерименти по-горе).

#### G-pPLa-HFIF-67-12Δ19

G-pPLa-HFIF-67-12Δ19 се използва за трансформиране на *E.coli* M5219 и S-100 екстракти се приготвят чрез лизис В. Всички преби са преципитирани с амониев сулфат, както е описано по-горе, преди да се тествуват за антивирусна активност. Отново присъствието на антивирусна активност на човешки интерферон бета е разбираемо. Стойността в скобите показва намереното ниво, дължащо се на токсичност на определени преби за човешки клетки в тъканна култура.

- i) M5219-G-pPLa-HFIF-67-12Δ19(28°C)
- ii) M5219-G-pPLa-HFIF-67-12 Δ 19(42°C, 90 мин, крайна клетъчна плътност =  $3 \times 10^8/\text{мл}$ )

	<u>върху <math>T_{21}</math></u>	<u>върху <math>E_1SM</math></u>
i)	<0.5	2.2 (< 2.0)
ii)	2.2(<0.5)	2.2 (< 2.0)

Контролният опит е прибавяне на автентичен интерферон-бета към *E.coli* HB101-pMS2-7 преди лизиса на клетките и показва, че въстановяването на интерферон-бета в опита е 30%. Високите стойности на  $T_{21}$  клетките и отношението на  $T_{21}$  към  $E_1SM$  показва, че няма значителна замърсяваща бактериална активност (както е обсъждано по-горе) в температурно индуцираните преби.

### G-pPLc-HFIF-67-8

Плазмидът G-pPLc-HFIF-67-8 се използва за трансформиране на E.coli M5219 и S-100 екстракти се приготвят чрез лизис В. Всички преби са преципитирани с амониев сулфат, както е описано по-горе, преди да се тестват за антивирусна активност.

- i)M5219-G-pPLc-HFIF-67-8(28°C)
- ii)M5219-G-pPLc-HFIF-67-8(42°C,180 мин, крайна клетъчна плътност = $6 \times 10^8$ /мл)

	<u>върху T<sub>21</sub></u>	<u>върху E<sub>1</sub>SM</u>
i)	<0.5	2.2 (< 2.0)
ii)	2.2(<0.5)	2.2 (< 2.0)

Стойността в скобите показва намереното ниво, дължащо се на токсичност. Контролният опит е прибавяне на автентичен интерферон-бета към E.coli HB101-pMS2-7 преди лизиса на клетките и показва, че въстановяването на интерферон-бета в опита е 30%. Отново е ясно, че бактериалният екстракт проявява антивирусна активност на човешки интерферон-бета.

В друг експеримент супернатанта от тези клетки, подложена на осмотичен шок, се изследва за антивирусна активност на интерферон-бета:

- i)M5219-G-pPLa-HFIF-67-12Δ19(28°C)
- ii)M5219-G-pPLc-HFIF-67-8(28°C)
- iii)M5219-G-pPLc-HFIF-67-8(42°C,180 мин, крайна клетъчна плътност = $6 \times 10^8$ /мл)

Изследванията се провеждат върху T<sub>21</sub> клетки преди и след преципитиране с амониев сулфат. Стойностите в скобите показват границите на определяне.

	<u>преди преципитиране</u>	<u>след преципитиране</u>
i)	<0.2	<0.2
ii)	<0.2	<0.2
iii)	1.5 (<0.2)	0.7(<0.2)

Въстановяването на интерферон-бета е около 10% в контролните експерименти. Контролните лизати не показват забележима активност върху E<sub>1</sub>SM. Стойностите, получени за супернатантите, преминали през осмотичен шок, показват, че температурно индуцирания екстракт от M5219-G-pPLc-HFIF-67-8 притежава антивирусна активност, която не присъствува в неиндуцираните преби. Проба (iii), имаща титър 0.7 log<sub>10</sub> единици/мл, след преципитиране с амониев сулфат се поставя при pH 2.2, както е описано по-горе и показва несъществено спадане на активността. Тази стабилност спрямо киселини е особено свойство на интерфероните от тип I, сиреч на интерферон-бета.

#### G-pPLa-HFIF-67-12Δ279 T

Плазмидът G-pPLa-HFIF-67-12 Δ 279 T се използува за трансформиране на E.coli M5219 и S-100 екстракти се приготвят чрез лизис В. Пробите се преципитират с амониев сулфат преди изследването на CPE върху T<sub>21</sub> клетките. Екстрактът от клетки, индуциран при 42°C, проявява антивирусен титър от 1.5-1.7 log<sub>10</sub> единици/мл екстракт.

G-pPLa-HFIF-67-12Δ218MI

Плазмидът G-pPLa-HFIF-67-12Δ218MI се използва за трансформиране на E.coli M5219 и S-100 екстракти се приготвят чрез лизис В. Пробите се преципитират с амониев сулфат преди изследването на СРЕ върху T<sub>21</sub> клетките. Екстракт от клетки, индуциран при 42°C, проявява антивирусен титър от 1.5 log<sub>10</sub> единици/мл екстракт.

G-pPLa-HFIF-67-12Δ218MI

Плазмидът G-pPLa-HFIF-67-12Δ218MI се използва за трансформиране на E.coli M5219 и S-100 екстракти се приготвят чрез лизис В. Пробите се преципитират с амониев сулфат преди изследването на СРЕ върху T<sub>21</sub> клетките. Екстракт от клетки, индуциран при 42°C, проявява антивирусен титър от 1.5 log<sub>10</sub> единици/мл екстракт.

G-pPLa-HFIF-67-12Δ218MI

Плазмидът G-pPLa-HFIF-67-12Δ218MI се използва за трансформиране на E.coli M5219 и S-100 екстракти се приготвят чрез лизис В. Пробите се преципитират с амониев сулфат преди изследването на СРЕ върху T<sub>21</sub> клетките. Екстракт от клетки, индуциран при 42°C, проявява антивирусен титър от 1.5 log<sub>10</sub> единици/мл екстракт.

G-pPLa-HFIF-67-12Δ218MI

Плазмидът G-pPLa-HFIF-67-12Δ218MI се използва за трансформиране на E.coli M5219 и S-100 екстракти се приготвят чрез лизис В. Пробите се преципитират с амониев сулфат преди изследването на СРЕ върху T<sub>21</sub> клетките. Екстракт от клетки, индуциран при 42°C, проявява антивирусен титър от 1.5 log<sub>10</sub> единици/мл екстракт.

G-pPLa-HFIF-67-12Δ218MI

Плазмидът G-pPLa-HFIF-67-12 Δ 218MI се използва за трансформиране на E.coli M5219 и S-100 екстракти се приготвят чрез лизис В. Пробите се преципитират с амониев сулфат преди изследването на CPE върху T<sub>21</sub> клетките. Екстрактът от клетки, индуциран при 42°C, проявява антивирусен титър от 1.5 log<sub>10</sub> единици/мл екстракт.

#### G-pPLa-HFIF-67-12Δ218MI

Плазмидът G-pPLa-HFIF-67-12 Δ 218MI се използва за трансформиране на E.coli M5219 и S-100 екстракти се приготвят чрез лизис В. Пробите се преципитират с амониев сулфат преди изследването на CPE върху T<sub>21</sub> клетките. Екстрактът от клетки, индуциран при 42°C, проявява антивирусен титър от 1.5 log<sub>10</sub> единици/мл екстракт.

#### G-pPLa-HFIF-67-12Δ218MI

Плазмидът G-pPLa-HFIF-67-12 Δ 218MI се използва за трансформиране на E.coli M5219 и S-100 екстракти се приготвят чрез лизис В. Пробите се преципитират с амониев сулфат преди изследването на CPE върху T<sub>21</sub> клетките. Екстрактът от клетки, индуциран при 42°C, проявява антивирусен титър от 1.5 log<sub>10</sub> единици/мл екстракт.

#### G-pPLa-HFIF-67-12ΔMI

Плазмидът G-pPLa-HFIF-67-12 Δ MI се използва за трансформиране на E.coli M5219 и S-100 екстракти се приготвят чрез лизис В. Пробите се преципитират с амониев сулфат преди изследването на CPE върху T<sub>21</sub> клетките. Екстрактът от клетки, индуциран при 42°C, проявява антивирусен титър от 2.0 log<sub>10</sub> единици/мл екстракт.

### G-pPLa-HFIF-67-12/19 BX-2

Плазмид G-pPLa-HFIF-67-12/19 BX-2 се използва за трансформиране на E.coli K12DH1 и S-100 екстракти се приготвят чрез лизис В. Пробите се преципитират с амониев сулфат преди изследването на СРЕ върху T<sub>21</sub> клетките. Екстрактът от клетки, индуциран при 42°C, проявява антивирусен титър от 1.7- 2.0 log<sub>10</sub> единици/мл екстракт.

#### b. Неутрализиране на антивирусната активност на интерферона с антитела

Други данни потвърждаващи бактериалната експресия на интерферон-бета са получени чрез експерименти с неутрализиране на антитела. Анти-интерферонов антисерум се получава у кози, имунизирани с 10<sup>7</sup> единици автентичен интерферон-бета (секретиран от човешки фибробластни клетки) и се пречиства върху стъклени сфери с контролиран размер на порите (A. Billiau *et al.*, по-горе). След като бактериалните екстракти се изследват както е описано по-горе за антивирусна активност, към сходни преби се прибавят серийни разреждания на антисерума, сместа се инкубуира за един час при 37°C, прилага се към човешки диплоидни фибробласти T<sub>21</sub> и се изследва за антивирусна активност както е описано по-горе. Степента на неутрализиране с антисерум варира от + + + (пълна неутрализация) до - (без неутрализация). Стойността в скобите показва приблизителното разреждане на антисерума за 50% неутрализация.  
 1) M5219-G-pPLc-HFIF-67-8 (42°C, 180 мин, даващ 2.2 log<sub>10</sub> антивирусни единици/мл върху T<sub>21</sub> клетки).

2) M5219-G-pPLa-8 ( $42^{\circ}\text{C}$ , 180 мин), към който преди лизиса е прибавен интерферон-бета (от човешки фибробласти), даващ  $1.7 \log_{10}$  антивирусни единици/мл върху  $\text{T}_{21}$  клетки.

разреждане на антисерума	(1)	(2)
$10^{-3}$	+++	+++
$10^{-4}$	+	+++
$10^{-5}$	<u>±</u> ( $10^{-4.5}$ )	+++
$10^{-6}$	-	<u>±</u> ( $10^{-6}$ )
$10^{-7}$	-	-

Сходни резултати се получават с екстракти от M5219-G-pPLc-HFIF-67-12 19 ( $42^{\circ}\text{C}$ ). Разликите в неутрализационния титър между бактериалния интерферон-бета на това изобретение и автентичния интерферон-бета може би се дължат на разлики в антигенността или на специфична интерферонна активност на тези бактериални протеини, родствени на автентичния интерферон-бета, причинени от липса на гликозилиране на бактериалните протеини.

### C. Стабилност на антивирусната активност на HuIFN-beta

#### (1) Действие на топлината

Интерферон-бета, за разлика от интерферон-алфа има необичайното свойство да въстановява антивирусната си активност след варене в 1% SDS, 1% бета-меркаптоетанол, 5M урея (Stewart, W. E. et al., "Distinct Molecular Species of Human Interferon , Requirements for Stabilization and Reactivation of Human Leucocyte and Fibroblast Interferon", J. Gen. Virol., 26, 327-331, (1975)), въпреки че 100% въстановяване обикновено не се получава. За тази цел

бактериалните клетки от 150 мл култура се ресуспендират във буфер за лизис В и се прибавя еднакъв обем 2% SDS, 2% бета-меркаптоетанол и 10 M урея. Сместа се сварява 2 мин и се приготвят S-100 фракции.

- i) контрола: M5219-G-pPLa-HFIF-67-12Δ19(28°C)
- ii) контрола: 3 log<sub>10</sub> единици HuIFN-beta, разтворен в лизис В буфер
- iii) M5219-G-pPLc-HFIF-67-8(42°C, 180 мин, крайна клетъчна плътност = 6 x 10<sup>8</sup>/мл)

Изследванията се провеждат върху T<sub>21</sub> клетки. Стойността във скобите показва границите на определяне, дължащи се на свойствена токсичност.

<u>Преди сваряване</u>	<u>След сваряване</u>
i) <1.5	<1.5
ii) 2.2 (<1.5)	2.0 (<0.5)
iii) 3.0 (<2.0)	2.2 (<1.5)

Контролният експеримент показва въстановяване около 10% на активността на интерферон-бета. Няма забележима стойност в паралелните контролни лизати на E<sub>1</sub>SM. Тези данни поясняват, че въпреки че само 10% от прибавения в контролния експеримент интерферон-бета се въстановява, то антивирусната активност на интерферон-бета присъствува в екстракта от температурно-индуцирана култура на M5219-G-pPLc-HFIF-67-8 въпреки това сурово третиране. Всъщност, антивирусната активност установена след това въздействие, е по-висока в сравнение с тази след лизис В, което показва

възможно прилепване на интерферон-бета към клетъчните компоненти по време на лизиса.

### (2) Диализа

Антивирусната активност на интерферон-бета също така не се диализира. Например след диализа срещу PBS за 16 часа при неутрално pH и 4°C антивирусната активност на бактериалните екстракти ( $\log_{10}$  единици/мл) се поддържа, макар и с редуциран титър.

- i) M5219-pPLc-HFIF-67-8 (42°C)
- ii) M5219-pPLa-HFIF-67-12Δ19 (42°C)
- iii) IFN-beta в M5219-pPLa-8 (42°C)

<u>Преди диализа</u>	<u>След диализа</u>
i) 2.3	2.3
i) 3	2.3
i) 1.5	1.3
ii) 2.3	1.3
ii) 2.3	2
ii) 2.3	1

Наблюдаваното спадане на активността след диализа може би се дължи на неспецифично прилепване на интерферон-бета към диализните мембрани и т.н.

### (3) Преципитиране с амониев сулфат

Антивирусната активност ( $\log_{10}$  единици/мл) на бактериалните екстракти на това изобретение се поддържа след преципитиране с 67% процента наситен разтвор на амониев сулфат (2 об. разтвор на амониев сулфат към 1 обем

екстракт), за която концентрация е известно че преципитира човешкия интерферон-бета. След 30 мин върху лед утайката се центрофугира при 12 000 x g за 10 мин и се разтварят в PBS за изследване:

- i) M5219-pPLc-HFIF-67-8 (42°C)
- ii) M5219-pPLa-HFIF-67-12Δ19 (42°C)
- iii) IFN-beta в M5219-pPLa-8 (42°C)

	<u>преди преципитация</u>	<u>след преципитация</u>
i)	2	2
i)	2	2.3
ii)	2	2
iii)	1.3	1.3
iii)	1.5	1.3

#### (4) Въздействие на pH

Антивирусната активност ( $\log_{10}$  единици/мл) на бактериалните екстракти на това изобретение е киселинно-стабилна. Екстрактите или се диализират 15 часа срещу 50 мл глицин-HCl (pH 2.2), след което се диализират 3 часа срещу PBS или се подкисляват с HCl, след което се неутриализират с NaOH. Изследванията се провеждат след отстраняване на преципитата.

- i) M5219-pPLc-HFIF-67-8 (42°C)
- ii) M5219-pPLa-HFIF-67-12Δ19 (42°C)
- iii) IFN-beta в M5219-pPLa-8 (42°C)

	<u>преди киселина</u>	<u>след киселина</u>
i)	2	1.3

<i>ПРЕДИ КИСЕЛИНА</i>	<i>СЛЕД КИСЕЛИНА</i>
i) 0.7	0.7
ii) 2	1
iii) 3	2

d. 2,5-А синтетазна активност

Подлагането на M5219-G-pPLc-HFIF-67-8 на осмотичен шок (описано по-горе) се изследва за наличие на 2,5-А синтетаза, както е описано по-горе с микротитърни плаки, с изключение на това, че се използват HeLa клетки вместо E<sub>1</sub>SM. Получени са следните резултати:

- i) M5219-G-pPLc-HFIF-67-8 (28°C)(вж. по-горе)
- ii) M5219-G-pPLc-HFIF-67-8 (42°C)(вж. по-горе)

Стойностите, отразяващи 2,5-А синтетазната активност, показват радиоактивността на <sup>32</sup>P, инкорпориран в тримерната форма на 2,5-А.

(измерени (след изваждане  
импулси) на ендогения  
фон)

1) нетретирани клетки	3342 cpm	0 cpm
2) бактериален екстракт (i): разреждане 1/6	1792 cpm	-1370 cpm
3) бактериален екстракт (ii): разреждане 1/6	6960 cpm	3618 cpm
4) бактериален екстракт (i) + IFN-beta до $1.5 \log_{10}$ единици/мл	7037 cpm	3695 cpm
5) вж. 3) но инкубиран с анти IFN-beta антисерум	3950 cpm	608 cpm
6) вж. 4) но инкубиран с		

	анти IFN-beta антисерум	2960 cpm	-382 cpm
7)	контролен IFN-beta 0.5 log <sub>10</sub> единици/мл	4463 cpm	1120 cpm
8)	контролен IFN-beta 1.0 log <sub>10</sub> единици/мл	7680 cpm	4338 cpm
9)	контролен IFN-beta 1.5 log <sub>10</sub> единици/мл	13615 cpm	10273 cpm
10)	контролен IFN-beta 2.0 log <sub>10</sub> единици/мл	25040 cpm	21698 cpm

Резултатите от изследването на 2,5-А синтетазната активност показват, че супернатантите на температурно-индуцираната M5219-G-pPLc-HFIF-67-8, подложени на осмотичен шок и имащи антивирусна активност също така индуцират 2,5 синтетазната активност, докато нетретираните с висока температура бактериални щамове не я индуцират. Това дулира резултатите от изследването на антивирусната активност.

Степента на стимулиране на 2,5 синтетазата е равна на активността на интерферон-бета, прибавен към контролния лизат (сравни примери (3) и (4)). Използването на концентрационна крива, изведена от примерите 7-10, показва, че като се имат предвид разрежданията, може да се определи активност от 1,7 log<sub>10</sub> единици/мл за двете преби (3) и (4), която е сравнима със стойностите на директното антивирусно изследване т.e. 1.5 log<sub>10</sub> единици/мл за двете преби. Тази серия от експерименти също така показва, че индукцията на 2,5-А синтетазата може да се неутрализира с антиинтерферон-бета антисерум, както в случая при антивирусното изследване.

**е. Антивирусна активност върху други клетъчни линии.**

Екстрактите (i) и (ii) (M5219-G-pPLc-HFIF-67-8) се тестват също за антивирусна активност върху различни клетъчни линии от котешки, миши, маймунски или заешки произход. Те не показват забележима антивирусна активност върху тези клетки, също както и автентичен интерферон-бета, произведен от човешки клетки. Също не е намерена активност върху котешка белодробна клетъчна линия, която е чувствителна към човешки левкоцитен интерферон. Тези резултати дават по-нататъшно доказателство, че произведенията от бактерии интерферон-бета показва изключително качества, идентични на тези на интерферон, секретиран от индуцирани човешки фибробластни клетки.

**f. Чувствителност към протеази.**

Чувствителността на интерферон-бета от бактериални гостоприемници в това изобретение се тества чрез въздействие върху разредени бактериални екстракти с нарастващи количества трипсин за 1 час при 37°C. Антивирусната активност на интерферон-бета се премахва от същите концентрации трипсин, при които се премахва активността на автентичен интерферон-бета, прибавен към инактивиран контролен лизат.

Крайна точка при трип- син (ms/ml)	0.03
---	------

M5219-pPLa-HFIF-67-12A19 (42°C)(1000 ед/мл)

M5219-pPLc-HFIF-67-8	(42°C)(1000 ед/мл)	0.03
IFN-beta в M5219-pPLa-8	(42°C)(1000 ед/мл)	0.03
M5219-pPLc-HFIF-67-8	(42°C)( 30 ед/мл)	0.03
IFN-beta в M5219-pPLa-8	(42°C)( 30 ед/мл)	0.03

### 3. Идентифициране на активния продукт интерферон-бета

Различни експерименти демонстрират, че пре-HuIFN-beta не е активен и не се превръща от бактериалните клетки или при условията на изследването в активен продукт (няма процесинг). Следователно активността на интерферон-бета, отбелязана в различните бактериални екстракти, описани по-горе вероятно се дължи на процесинг на очакваните слети протеини (напр. човешки интерферон-бета, слят с бета лактамаза, MS2 или бактериална сигнална секвенция) в активен продукт, от бактериите или при условията на изследването. Не е сигурно, че активният продукт в такива екстракти е зрял HuIFN-beta (зрял HuIFN-beta е продукта от G-pPLa-HFIF-67-Δ12 MI и G-pPLa-HFIF-67-12Δ19 BX-2). Обаче фракционирането на бактериалните екстракти чрез полиакриламид гел електрофореза при денатуриращи условия показва наличието на два активни продукта. Първият от тях има размери около 15000-18000 далтона и би трявало да отговаря на зрял интерферон-бета. Вторият продукт, който има по-високо молекулно тегло, вероятно е продукт на сливането или е претърпял непълен процесинг, който притежава активност на интерферон-бета или е продукт, претърпял процесинг до зрял интерферон-бета при условията на изследването. Намирането на аминокиселинната секвенция на различни експресирани продукти при използването на добре позната техника би направило възможно определянето на протеиновите

продукти (ако има такива), които показват активност на интерферон-бета в прибавка на тази на зрелия HuIFN-beta.

#### ПОДОБРЯВАНЕ НА ДОБИВА И АКТИВНОСТТА НА ПОЛИПЕПТИДИТЕ, ПРОЯВЯВАЩИ АКТИВНОСТ НА ЧОВЕШКИ ИНТЕРФЕРОН-БЕТА, ПОЛУЧЕНИ В СЪОТВЕТСТВИЕ С ТОВА ИЗОБРЕТЕНИЕ.

Нивото на продукция на протеин се ръководи от три главни фактора: броя на копията на неговите гени в клетката, ефективността, с която тези генни копия се транскрибират, и ефективността, с която те се превеждат. Ефективността на транскрипцията и трансляцията (които заедно съставляват експресията) зависи от своя страна от нуклеотидните секвенции, нормално разположени преди желаната кодираща секвенция. Тези нуклеотидни секвенции, или още секвенции, контролиращи експресията, дефинират *inter alia*, мястото при което РНК полимеразата взаимодействува, за да инициира транскрипцията (промоторна секвенция) и при което рибозомите се свързват и взаимодействуват с мРНК (продукта от транскрипцията), за да инициират трансляцията. Не всички контролиращи експресията секвенции функционират с еднаква ефективност. Следователно предимство е да се отделят специфичните кодиращи секвенции за желания протеин от съседните им такива и вместо това да се присъединят към други познати контролни секвенции, за да се благоприятстват по-високи нива на експресия. Ако това се постигне, новополученият ДНК фрагмент може да се вмъкне в плазмид с множество копия или в производно на бактериофаг, за да се повиши броят на генните копия в клетката и по-този начин и добива на експресирания протеин.

Няколко контролиращи експресията секвенции могат да се използват както е описано по-горе. Те включват оператора, промотора и мястото за свързване и взаимодействие с рибозомите (включително секвенции като тази на Shine-Dalgarno) на лактозния оперон на E.coli (lac-оперона), съответствуващата секвенция на триптофан-сингетазната система на E.coli (trp-системата), главните операторни и промоторни области на фага ламбда ( $O_{LPL}$ , който е описан по-горе и  $O_{RPR}$ ), контролната област на филаментните едноверижни ДНК-фаги или други секвенции, които контролират експресията на гените на прокариотните или еукариотни клетки и техните вируси. Следователно, за подобряване продукцията на определен полипептид в подходящ гостоприемник, генът, кодиращ този полипептид, трябва да бъде получен както е описано и придвижен от рекомбинантната ДНК молекула поблизо до своята предишна контролираща експресията секвенция или под контрола на една от по-горните секвенции. Такива методи са познати в практиката.

Други методи за подобряване ефективността на транслацията включват вмъкването на химически или ензимно приготвени олигонуклеотиди срещу иницирация кодон. Чрез тази процедура се постига по-оптимална първична и вторична структура на мРНК. По-точно секвенцията се аранжира така, че иницирацият AUG кодон да се намира в лесно достъпна позиция (т.е. да не е маскиран с вторични структури) или на върха на вилката или в друга едноверижна област. Също така могат да се оптимизират и позицията и секвенцията на по-горе споменатия Shine-Dalgarno сегмент. Важността на общата структура "нагъването" на мРНК е документирано

(D. Iserentant and W. Fiers, "Secondary Structure of mRNA and Efficiency of Translation Initiation", Gene, 9, 1-12(1980).

По-нататъшно повишаване на клетъчния добив от желани продукти зависи от увеличаването на броя на гените, които могат да се използват в клетката. Това може да се постигне чрез инсерция на гена за човешки интерферон-бета (със или без транскрипционните или транслационни контролни елементи) в плазмид с по-висок брой на копията или такъв, който се контролира чрез температура (т.е. който носи мутация, чрез която броят на копията се увеличава, когато се повиши температурата; B. Uhlin *et al.*, "Plasmids with Temperature-dependent Copy Number for Amplification of Cloned Genes and Their Products", Gene, 6, 91-106 (1979)). Алтернативно, повишаване дозата на гена може да се постигне чрез вмъкване на рекомбинантна ДНК молекула, получена по начина, описан по-горе, в умерения бактериофаг ламбда, просто чрез смилане на плазмида с рестриктази, за да се получи линейна молекула, която после се смесва с рестриктираното фаг ламбда- клониращо средство (т.е. от типа, описан от N.E. Murray *et al.*, "Lambdoid Phages That Simplify the Recovery of In Vitro Recombinants", Mol. Gen. Genet., 150, 53-61 (1977) и N.E. Murray *et al.*, "Molecular Cloning of the DNA Ligase from Bacteriophage T4", J. Mol. Biol., 132, 493-505 (1979) ) и рекомбинантната ДНК молекула да се получи чрез инкубиране с ДНК лигаза. Желаният рекомбинантен фаг след това се подбира както преди и се използва като лизогенен за гостоприемника-щам от E.coli.

Особено полезно е ламбда клониращите средства да съдържат температурно-клонираща мутация в репресорния ген cI и супресивна мутация в гена S, продукта от който е

необходим за лизиса на клетката-гостоприемник и гена E, продукт от който е главният капсиден протеин на вируса. Лизогенните клетки се отглеждат с тази система при относително ниска температура ( $28^{\circ}$ - $32^{\circ}$ ) и после се загряват до по-висока ( $40^{\circ}$ - $45^{\circ}$ ), за да се индуцира изрязването на профага. Удълженият растеж при по-високи температури води до високи нива на продукцията на протеина, който остава в клетките докато те не бъдат лизирани от фаговите генни продукти по нормалния път и докато фаговият генен инсерт не е енкапсиран, то той остава на разположение за по-нататъшна транскрипция. Изкуственият лизис на клетките след това освобождава желания продукт с висок добив. Тъй като при това приложение също се използва ламбда репресорна система за контролиране на експресията може би е необходимо да се контролира изрязването на профага и следователно броя на генните копия чрез хетероимунна контролна област, т.е. произхождаща от ламбоидния фаг 21.

Трябва да се разбира, че полипептидите, проявяващи активност на интерферон-бета (получени в съответствие с това изобретение) могат да се приготвят под форма на слети протеини, т.е. свързани към прокариотния N-краен сегмент, направляващ екскрецията, или под формата на проинтерферон (т.е. стартиращи със сигнална секвенция на интерферон, която може да се откачи по време на екскрецията) или като зрял интерферон (последния е удобен, тъй като зрелият фибробластен интерферон стартира с метионин, аминокиселина, използвана за иницииране на транслацията. Добивът от тези различни форми полипептиди може да се подобри чрез използване на всяка или на комбинация от

процедурите, дискутиирани по-горе. Също така могат да се замествят различни или всички кодони, използвани в настоящата ДНК секвенция. Те могат да кодират аминокиселини идентични на тези, кодирани от кодоните, които заместват, но да дават по-висок добив на полипептид. Алтернативно, смяната на един или няколко кодони, водещи до смяна на кодираната аминокиселина или до по-дълъг или по-къс сроден на HuIFN-beta полипептид, може да промени неговите свойства в полезна посока (като повишаване на стабилността, разтворимостта, антивирусната активност, 2,5-А синтетазната активност или специфичния обхват на гостоприемника).

Накрая, активността на полипептидите, получени чрез рекомбинантна ДНК на това изобретение, може да се подобри чрез фрагментиране, модифициране или дериватизиране на ДНК последователностите или полипептидите на настоящото изобретение по добре познати методи, без да се отдалечаваме от обхвата на изобретението.

#### ИДЕНТИФИЦИРАНЕ НА ХРОМОЗОМАЛНИТЕ ГЕНИ, КОДИРАЩИ ЧОВЕШКИ ИНТЕРФЕРОН-БЕТА

Колекция от хибридни фаги, произхождащи от фетална, човешка, хромозомална ДНК, генериирани чрез частично смилане с HaeII и AluI, и присъединени с EcoRI линкери към lambda Charon 4A-рамена е пригответа от R. M. Lawn et al., Cell, 15, pp. 1157-74 (1978). Тази генна банка е скринирана с *in situ* метод (W. D. Benton and R. W. Davis, Science, 196, pp. 180-82 (1977)); T. Maniatis et al., Cell, 15, pp. 687-701 (1978)); използвайки като сонда  $^{32}\text{P}$  маркиран инсерт, срязян с TaqI-BglII рестрикция от pHF1F-21.\* Един хибридизационно-

позитивен фагов клон се изолира от 600000 плаки чрез повтарящо се речистване на плаките, T. Maniatis *et al.* по-горе. Тази плака се обозначава lambda CH4A-gHFIF-1. Рестрикционният анализ показва, че тя съдържа 16.3 Kb човешка ДНК.

EcoRI смилането на lambda CH4A-gHFIF-1 генерира в прибавка към lambda Charon 4A-рамената 8 инсертни фрагмента"4.6, 3.5, 2.4, 1.9, 1.3, 1.2, 0.8 и 0.6 Kb дължина. След Southern blotинг, само 1.9 Kb фрагмента хибридиизира към TaqI-BglII фрагмента от pHFIF-21.

1.9 Kb фрагмента се клонира отново директно върху EcoRi участъка на pBR325 (производно на pBR322, което носи маркер за резистентност към хлорамфеникол, съдържащ единично EcoRI място). След лигиране на 0.6 мкг lambda CH4A-gHFIF-1, смляна с EcoRI към 100ng pBR325 и трансформиране в E.coli HB101, се подбират няколко клона. Само тези, които съдържат 1.9 Kb фрагмента, хибридиизират към кДНК сондата на интерферон-бета. Този клон се обозначава като p(325)-gHFIF-4.

Сравнението на рестрикционния фрагмент, произлизаш от pHFIF-21 и p(325)-gHFIF-4, показва, че няма намесващи се последователности в хромозомалния клон и ДНК информацията, носена от клона е идентична с тази на pHFIF-21.

Идентифицирането и изолирането на хромозомална ДНК, кодираща човешки интерферон-бета, дава възможност за трансформиране на подходящ гостоприемник с тази ДНК и експресиране на човешки интерферон-бета от него. Такова асоцииране има предимство, тъй като различни сигнали, асоциирани с хромозомалната ДНК, присъствуват в такъв клон. Тези сигнали след това ще могат да дадат по-високи

добиви при експресията и вероятно при постекспресионния процесинг на полипептида, кодиран от кодиращата порция на хромозомалната ДНК.

Микроорганизмите и рекомбинантните ДНК молекули, получени чрез процесите, описани тук, са заверени чрез култури, депозирани в немската микробна колекция (DSM), Гьотинген, Германия на 2. април 1980, и идентифицирани като HFIF A-C:

- A: E.coli HB101 (G-pBR322(Pst)/HFIF3)
- B: E.coli HB101 (G-pBR322(Pst)/HFIF6)
- C: E.coli HB101 (G-pBR322(Pst)/HFIF7)

Тези култури са получили ДЕПОЗИТЕН № DSM 1791-1793 респективно. Те също са заверени чрез култури, депозирани в DSM на 5. юни 1980 и са определени като HFIF-D до G:

- D: E. coli M5219 (G-pPLa-HFIF-67-12)
- E: E. coli K12ΔHI (G-pPLa-HFIF-67-12)
- F: E. coli M5219 (G-pPLa-HFIF-67-12Δ19)
- G: E. coli M5219 (G-pPLc-HFIF-67-8)

Тези култури са обозначени с DSM номера 1851-1854 респективно. И културите, депозирани в американската колекция за типизиране на култури ATCC, Rockville, Maryland на 26. февруари 1981 се идентифицират като HFIF H до I:

- H: E. coli M5219 (-pPLa-HFIF-67-12ΔMI)
- I: E. coli HB101 (p[325]-gHFIF-4)

Тези култури са получили ДЕПОЗИТНИ номера ATCC 31824 и 31825.

Тъй като тук представяме няколко от съществените форми на изобретението, то е ясно, че нашата базова конструкция може да се промени, за да се получат нови форми, които да

използват методите и съставните части на това изобретение. Следователно, обхватът на това изобретение трябва да бъде дефиниран с претенции, които ние прилагаме тук, вместо специфичните форми, които представихме до тук по пътя на примерите.

## ПАТЕНТНИ ПРЕТЕНЦИИ

1. Рекомбинантна ДНК молекула, способна да индуцира в едноклетъчен гостоприемник полипептид, проявяващ имуно-логична или биологична активност на човешки интерферон-бета. Споменатата ДНК молекула се състои от :
  - (a) ДНК инсерти от G-pPLa-HFIF-67-12 (HincII-Sau3AI), G-pPLa-HFIF-67-12~~A~~19(HincII-Sau3AI) и G-pPLa-HFIF-67-8 (HincII-Sau3AI), носени от микроорганизми, идентифициирани с входящи номера DSM 1851-1854 респективно.
  - (b) ДНК последователности, които хибридизират с някои от по-горе изброените инсерти и
  - (c) ДНК последователности, които са дегенерати като резултат от генетичния код на ДНК инсерти и секвенции, дефинирани в (a) и (b) и които при експресия кодират полипептиди, имащи същата аминокиселинна секвенция, споменатата ДНК е оперативно свързана към контролираща експресията последователност в споменатата рекомбинантна ДНК молекула.
2. Рекомбинантна ДНК молекула съгласно претенция 1, в която указаната ДНК секвенция (b), хибридизираща към ДНК-инсърта (a) е ДНК инсърт от G-pPLa-HFIF-67-12~~A~~M1 (HincII-Sau3AI), носен от микроорганизъм, идентифициран с входящ номер ATCC 31824.
3. Рекомбинантна ДНК молекула съгласно претенция 1, в която указаната ДНК секвенция (b), хибридизираща към ДНК-инсърта (a), е ДНК инсърт от p[325]-gHFIF-4 [EcoRI], носен от микроорганизъм, идентифициран с входящ номер ATCC 31825.
4. Рекомбинантна ДНК молекула съгласно претенции 1 до 3,

в която споменатата ДНК секвенция е избрана от ДНК секвенция с формула:

```

ATGACCAACAAAGTGTCTCCTCCAAATTGCTCTCCTGGCTTCCTCACTACAG
CTCTTTCCATGAGCTACAACTTGCTTGGATTCCCTACAAAGAAGCAGCAATTTC
10 GTGTCAGAAGCTCCTGTGCAATTGAATGGGAGGCTTGAATACTGCCTCAAGCAC
AGGATGAACTTTGACATCCCTGAGGGATTAAGCAGCTGCAGCAGTTCCAGAAGG
AGGACGCCGCAATTGACCATCTATGAGATGCTCCAGAACATCTTGCTATTTCA
ACAAGATTCACTCAAGCACTGGCTGGAATGAGACTATTGAGAACCTCCCTGGCT
AATGCTATCATCAGATAAAACCATCTGAAGAACAGTCCTGGAAAGAAAAACTGGAGA
AAGAAGATTTCACCAGGGAAAACATGAGCACTGACACTGCACTGAAAGATATTA
15 TGGGAGGATTCTGCATTACCTGAAGGCCAAGGAGTACAGTCAGTCAGTGCCCTGGACC
ATAGTCAGACTGGAATCTAAGGAACCTTTACTTCATTAACAGACTTACAGCTT
ACCTCCGAAAC, and
ATGAGCTACAACTTGCTTGGATTCCCTACAAAGAAGCAG
20 CAATTTCAGTGTCAAGAAGCTCCTGTGCAATTGAATGGGAGGCTTGAATACTGC
CTCAAGCACAGGATGAATTGACATCCCTGAGGGATTAAGCAGCTGCAGCAGT
TCCAGAAGGGAGGCCGCAATTGACCATCTATGAGATGCTCCAGAACATCTTG
TATTTTCAGACAAGATTCACTCAAGCACTGGCTGGAATGAGACTATTGAGAAC
CTCCGGCTAATGCTATCATCAGATAAAACCATCTGAAGAACAGTCCTGGAAAGAAA
AACTGGAGAAGAAGATTTCACCAGGGAAAACATGAGCACTGCACTGCACTGAA
25 AAGATATTATGGGAGGATTCTGCATTACCTGAAGGCCAAGGAGTACAGTCAGTC
GCCTGGACCATAAGTCAGACTGGAATCTAAGGAACCTTTACTTCATTAACAGAC
TTACAGGTTACCTCCGAAAC.

```

5. Рекомбинантна ДНК молекула съгласно претенции 1 до 4, в която споменатата контролираща експресията секвенция е избрана от lac-системата, бета-lac-системата, trp-системата, главната операторна и промоторна област на ламбда фага, контролната област на fd-покриващия протеин и други последователности, които контролират експресията на прокариотни и еукариотни клетки и техни вируси.

6. Рекомбинантна ДНК молекула, съгласно някоя от претенциите от 1 до 5, избрана от G-pPLa-HFIF-67-12, G-pPLa-HFIF-67-12 19 и G-pPLa-HFIF-67-8, като указаната рекомбинантна ДНК молекула е носена от микроорганизми, идентифицирани с д<sup>е</sup>позитни №№ DSM 1851-1854 респективно.

7. Рекомбинантна ДНК молекула, съгласно претенции 1 до 5. Споменатата рекомбинантна ДНК молекула е G-pPLa-HFIF-67-12 M1 , носена от микроорганизъм, идентифициран с депозитен № ATCC 31824.
8. Едноклетъчен гостоприемник трансформиран поне с една рекомбинантна ДНК молекула, съгласно всяка от претенциите от 1 до 7.
9. Трансформиран гостоприемник съгласно претенция 8, избран от E.coli M5219 (G-pPLa-HFIF-67-12)(DSM 1851), E.coli K12 HI (G-pPLa-HFIF-67-12)(DSM 1852), E.coli M5219 (G-pPLa-HFIF-67-12 19)(DSM 1853), E.coli M5219 (G-pPLa-HFIF-67-8)(DSM 1854), и E.coli K12 HI (G-pPLa-HFIF-67-8).
10. Трансформиран гостоприемник съгласно претенция 8, избран от E.coli M5219 (G-pPLa-HFIF-67-12 M1)(ATCC 31824).
11. Метод за трансформиране на едноклетъчен гостоприемник, съдържащ етап на вмъкване в гостоприемника на рекомбинантна ДНК молекула, съгласно която и да е от претенциите 1 до 7.
12. Метод за получаване на полипептид, проявяващ имуно-логична или биологична активност на човешки интерферон-бета, съдържащ етапите на трансформиране на едноклетъчен гостоприемник с рекомбинантна ДНК молекула съгласно коя да е от претенциите от 1 до 7 и култивиране на гостоприемника.
13. Метод за получаване на полипептид, проявяващ имуно-логична или биологична активност на човешки интерферон-бета, съдържащ етап на култивиране на едноклетъчен организъм, който е трансформиран с рекомбинантна ДНК молекула, съгласно коя да е от претенциите от 1 до 7.
14. Метод съгласно претенции 12 или 13, в който полипептида, проявяващ имуно-логична или биологична активност

на човешки интерферон-бета, е избран от полипептидите на формулата:

Met-Thr-Asn-Lys-Cys-Leu-Leu-Gln-Ile-Ala-Leu-Leu-Leu-Cys-Phe-Ser-Thr-Thr-Ala-Leu-Ser-Met-Ser-Tyr-Asn-Leu-Leu-Gly-Phe-Leu-Gln-Arg-Ser-Ser-Asn-Phe-Gln-Cys-Gln-Lys-Leu-Leu-Trp-Gln-Leu-Asn-Gly-Arg-Leu-Glu-Tyr-Cys-Leu-Lys-Asp-Arg-Met-Asn-Phe-Asp-Ile-Pro-Glu-Glu-Ile-Lys-Gln-Leu-Gln-Phe-Gln-Lys-Glu-Asp-Ala-Ala-Leu-Thr-Ile-Tyr-Glu-Met-Leu-Gln-Asn-Ile-Phe-Ala-Ile-Phe--Arg-Gln-Asp-Ser-Ser-Ser-Thr-Gly-Trp-Asn-Glu-Thr-Ile-Val-Glu-Asn-Leu-Ala-Asn-Val-Tyr-His-Gln-Ile-Asn-His-Leu-Lys-Thr-Val-Leu-Glu-Glu-Lys-Leu-Glu-Lys-Glu-Asp-Phe-Thr-Arg-Gly-Lys-Leu-Met-Ser-Ser-Leu-His-Leu-Lys-Arg-Tyr-Tyr-Gly-Arg-Ile-Leu-His-Tyr-Leu-Lys-Ala-Lys-Glu-Tyr-Ser-His-Cys-Ala-Trp-Thr-Ile-Val-Arg-Val-Glu-Ile-Leu-Arg-Asn-Phe-Tyr-Phe-Ile-Asn-Arg-Leu-Thr-Gly-Tyr-Leu-Arg-Asn, and

Met-Ser-Tyr-Asn-Leu-Leu-Gly-Phe-Leu-Gln-Arg-Ser-Ser-Asn-Phe-Gln-Cys-Gln-Lys-Leu-Leu-Trp-Gln-Leu-Asn-Gly-Arg-Leu-Glu-Tyr-Cys-Leu-Lys-Asp-Arg-Met-Asn-Phe-Asp-Ile-Pro-Glu-Glu-Ile-Lys-Gln-Leu-Gln-Gln-Phe-Gln-Lys-Glu-Asp-Ala-Ala-Leu-Thr-Ile-Tyr-Glu-Met-Leu-Gln-Asn-Ile-Phe-Ala-Ile-Phe-Arg-Gln--Asp-Ser-Ser-Ser-Thr-Gly-Trp-Asn-Glu-Thr-Ile-Val-Glu-Asn-Leu-Ala-Asn-Val-Tyr-His-Gln-Ile-Asn-His-Leu-Lys-Thr-Val-Leu-Glu-Glu-Lys-Leu-Glu-Lys-Glu-Asp-Phe-Thr-Arg-Gly-Lys-Leu-Met-Ser-Ser-Leu-His-Leu-Lys-Arg-Tyr-Tyr-Gly-Arg-Ile-Leu-His-Tyr-Leu-Lys-Ala-Lys-Glu-Tyr-Ser-His-Cys-Ala-Trp-Thr-Ile-Val-Arg-Val-Glu-Ile-Leu-Arg-Asn-Phe-Tyr-Phe-Ile-Asn-Arg-Leu-Thr-Gly-Tyr-Leu-Arg-Asn.

15. Метод за получаване на полипептид, проявяващ имунологична или биологична активност на човешки интерферон-бета, съдържащ етап на култивиране на едноклетъчен организъм, който е трансформиран с ДНК последователност, избрана от ДНК последователностите на формула

ATGACCAACAAGTGTCTCTCCAATTGCTCTCTGGTGTGCTTCTCCACTACAG  
 CTCTTTCCATGAGCTACAACCTGCTTGGATTCCCTACAAAGAACAGCAATTTC  
 GTGTCAGAAGCTCCGTGGCAATTGAATGGGAGGCTTGAATACTGCCTCAAGCAC  
 AGGATGAACCTTGACATCCCTGAGGAGATTAAGCAGCTGCAGCAGTCCAGAAGG  
 AGGACGCCGCATTGACCACATCTATGAGATGCTCCAGAACATCTTGCTATTTCA  
 ACAAGATTCATCTAGCACTGGCTGGAATGAGACTATTGTTGAGAACCTCCGGCT  
 AATGTCATCATCAGATAAACCATCTGAAGACAGTCCGGAAAGAAAAACTGGAGA  
 AAGAAGATTTCACCAAGGGAAAACATGAGCAGTCTGCACCTGAAAAGATATTA  
 TGGGAGGATTCTGCATTACCTGAAGGCCAAGGAGTACAGTCAGTGCCTGGACC  
 ATAGTCAGAGTGGAAATCCTAAGGAACCTTACTTCATTAACAGACTTACAGGTT  
 ACCTCCGAAAC, and

ATGAGCTACAACCTGCTTGGATTCCCTACAAAGAACAG  
 CAATTTCAGTGTCAAGCTCCGTGGCAATTGAATGGGAGGCTTGAATACTGC  
 CTCAAGCACAGGATGAACCTTGACATCCCTGAGGAGATTAAGCAGCTGCAGCAGT  
 TCCAGAAGGAGGACGCCGCATTGACCACATCTATGAGATGCTCCAGAACATCTTG  
 TATTTTCAGACAAGATTCATCTAGCACTGGCTGGAATGAGACTATTGTTGAGAAC  
 CTCCCTGGCTAATGTCATCATCAGATAAACCATCTGAAGACAGTCCGGAAAGAAA  
 AACTGGAGAAAAGAAGATTTCACCAAGGGAAAACATGAGCAGTCTGCACCTGAA  
 AAGATATTATGGGAGGATTCTGCATTACCTGAAGGCCAAGGAGTACAGTCAGTGT  
 GCCTGGACCATAGTCAGAGTGGAAATCCTAAGGAACCTTACTTCATTAACAGAC  
 TTACAGGTTACCTCCGAAAC,

16. Методът от претенция 15, в който указания полипептид, проявяващ имунологична или биологична активност на човешки интерферон-бета, е избран от полипептидите на формула

Met-Thr-Asn-Lys-Cys-Leu-Leu-Gln-Ile-Ala-Leu-Leu-Leu-  
 Cys-Phe-Ser-Thr-Thr-Ala-Leu-Ser-Met-Ser-Tyr-Asn-Leu-  
 Leu-Gly-Phe-Leu-Gln-Arg-Ser-Ser-Asn-Phe-Gln-Cys-Gln-  
 Lys-Leu-Leu-Trp-Gln-Leu-Asn-Gly-Arg-Leu-Glu-Tyr-Cys-  
 Leu-Lys-Asp-Arg-Met-Asn-Phe-Asp-Ile-Pro-Glu-Glu-Ile-  
 Lys-Gln-Leu-Gln-Gln-Phe-Gln-Lys-Glu-Asp-Ala-Ala-Leu-  
 Thr-Ile-Tyr-Glu-Met-Leu-Gln-Asn-Ile-Phe-Ala-Ile-Phe-  
 Arg-Gln-Asp-Ser-Ser-Ser-Thr-Gly-Trp-Asn-Glu-Thr-Ile-  
 Val-Glu-Asn-Leu-Leu-Ala-Asn-Val-Tyr-His-Gln-Ile-Asn-  
 His-Leu-Lys-Thr-Val-Leu-Glu-Glu-Lys-Leu-Glu-Lys-Glu-  
 Asp-Phe-Thr-Arg-Gly-Lys-Leu-Met-Ser-Ser-Leu-His-Leu-  
 Lys-Arg-Tyr-Tyr-Gly-Arg-Ile-Leu-His-Tyr-Leu-Lys-Ala-  
 Lys-Glu-Tyr-Ser-His-Cys-Ala-Trp-Thr-Ile-Val-Arg-Val-  
 Glu-Ile-Leu-Arg-Asn-Phe-Tyr-Phe-Ile-Asn-Arg-Leu-Thr-  
 Gly-Tyr-Leu-Arg-Asn, and

Met-Ser-Tyr-Asn-Leu-Leu-Gly-  
 Phe-Leu-Gln-Arg-Ser-Ser-Asn-Phe-Gln-Cys-Gln-Lys-Leu-  
 Leu-Trp-Gln-Leu-Asn-Gly-Arg-Leu-Glu-Tyr-Cys-Leu-Lys-  
 Asp-Arg-Met-Asn-Phe-Asp-Ile-Pro-Glu-Glu-Ile-Lys-Gln-  
 Leu-Gln-Gln-Phe-Gln-Lys-Glu-Asp-Ala-Ala-Leu-Thr-Ile-  
 Tyr-Glu-Met-Leu-Gln-Asn-Ile-Phe-Ala-Ile-Phe-Arg-Gln--  
 Asp-Ser-Ser-Ser-Thr-Gly-Trp-Asn-Glu-Thr-Ile-Val-Glu-  
 Asn-Leu-Leu-Ala-Asn-Val-Tyr-His-Gln-Ile-Asn-His-Leu-  
 Lys-Thr-Val-Leu-Glu-Glu-Lys-Leu-Glu-Lys-Glu-Asp-Phe-  
 Thr-Arg-Gly-Lys-Leu-Met-Ser-Ser-Leu-His-Leu-Lys-Arg-  
 Tyr-Tyr-Gly-Arg-Ile-Leu-His-Tyr-Leu-Lys-Ala-Lys-Glu-  
 Tyr-Ser-His-Cys-Ala-Trp-Thr-Ile-Val-Arg-Val-Glu-Ile-  
 Leu-Arg-Asn-Phe-Tyr-Phe-Ile-Asn-Arg-Leu-Thr-Gly-Tyr-  
 Leu-Arg-Asn.

17. Съединение за третиране на човешки вируси, третиране на човешки тумори или рак или за имуномодулиране, което съдържа като единствен интерферон бета полипептид, получен съгласно една от претенциите 12-16.

18. Използване като единствен интерферон-бета на полипептид, получен съгласно една от претенциите 12 до 16 за получаване на съединение, с което да се третират човешки вируси, човешки тумори или рак или за имуномодулиране.

19. Рекомбинантна ДНК молекула, способна да индуцира експресия в едноклетъчен гостоприемник полипептид, проявяващ имунологична или биологична активност на човешки интерферон-бета, реално, както е описан тук чрез примери.

20. Едноклетъчен гостоприемник, трансформиран с поне една рекомбинантна ДНК молекула, както е дефиниран в претенция 19.

21. Метод за трансформиране на едноклетъчен гостоприемник с рекомбинантна ДНК молекула, както е дефинирано от коя да е от претенции 1-7 и 19, по същество, както е описан чрез примери.
22. Трансформиран гостоприемник, когато е получен по метод, съгласно претенции 11 или 21.
23. Метод за получаване на полипептид, проявяващ имунологична или биологична активност на човешки интерферон-бета, по същество, както е описан чрез примери.
24. Полипептид, който е получен по методите, както е описано във всяка една от претенциите 12-16 и 23, по същество, както е описан по емпиричен път.
25. Използването на полипептид, получен съгласно която и да е от претенциите 12-16 и 23, в препарати, медикаменти за третиране на човешки вируси, рак и за имуномодулиране.

ПРИЛОЖЕНИЕ: 13 ФИГУРИ

---

Издание на Патентното ведомство на Република България  
1113 София, бул. "Д-р Г. М. Димитров" 52-Б

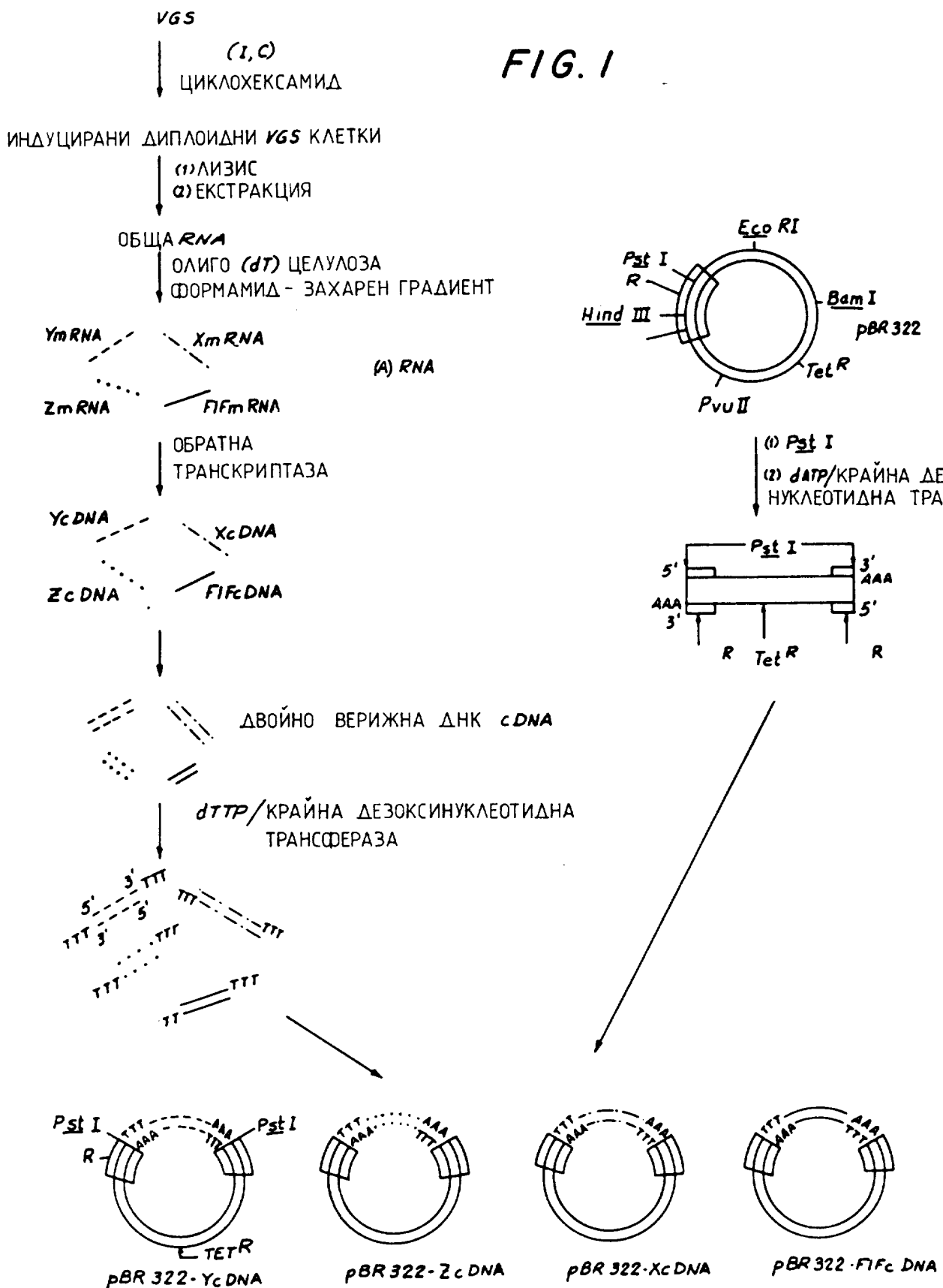
Експерт: Ст. Стефанова

Редактор: Р. Николова

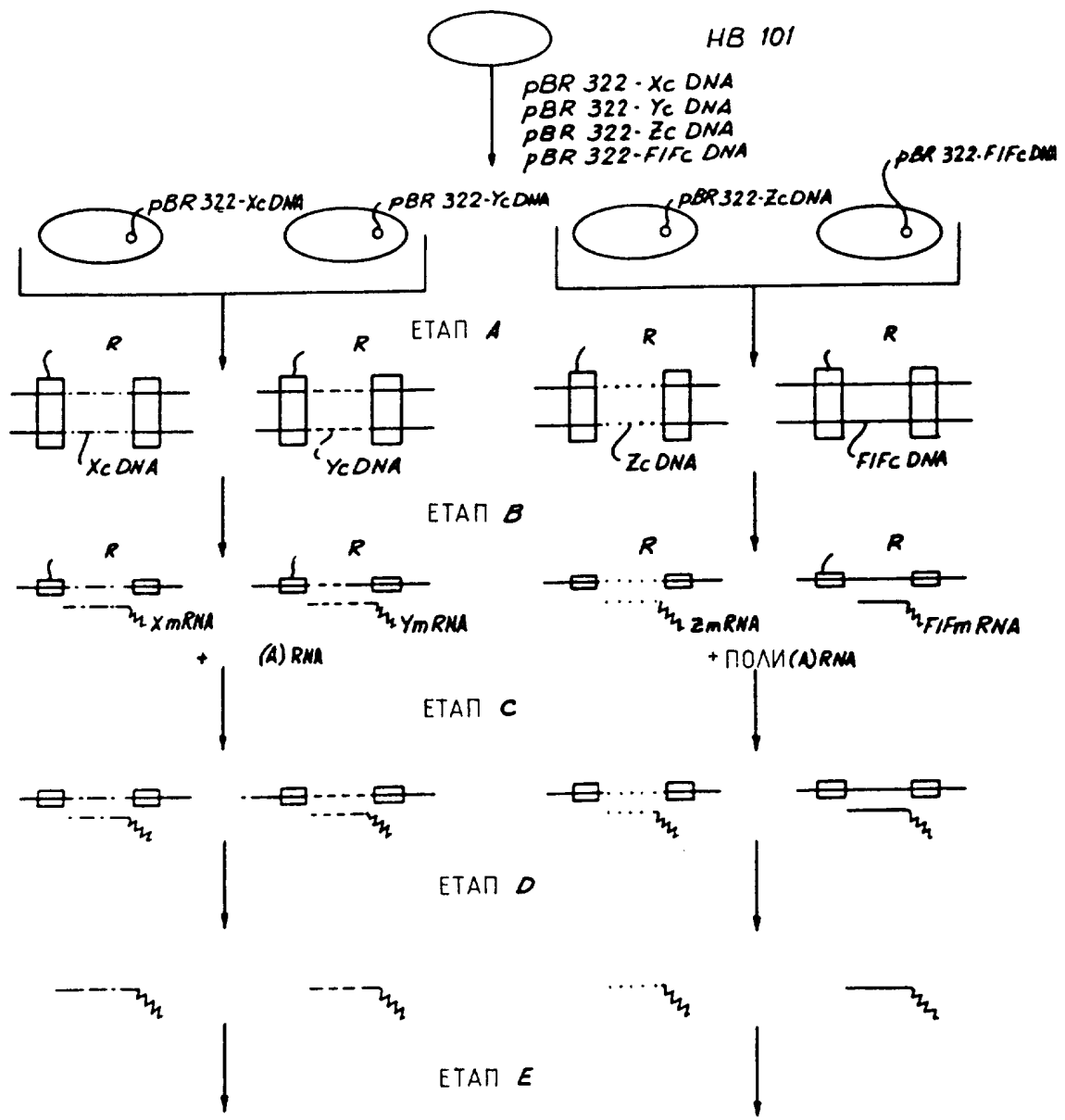
Пор.

Тираж: 40 ЗС

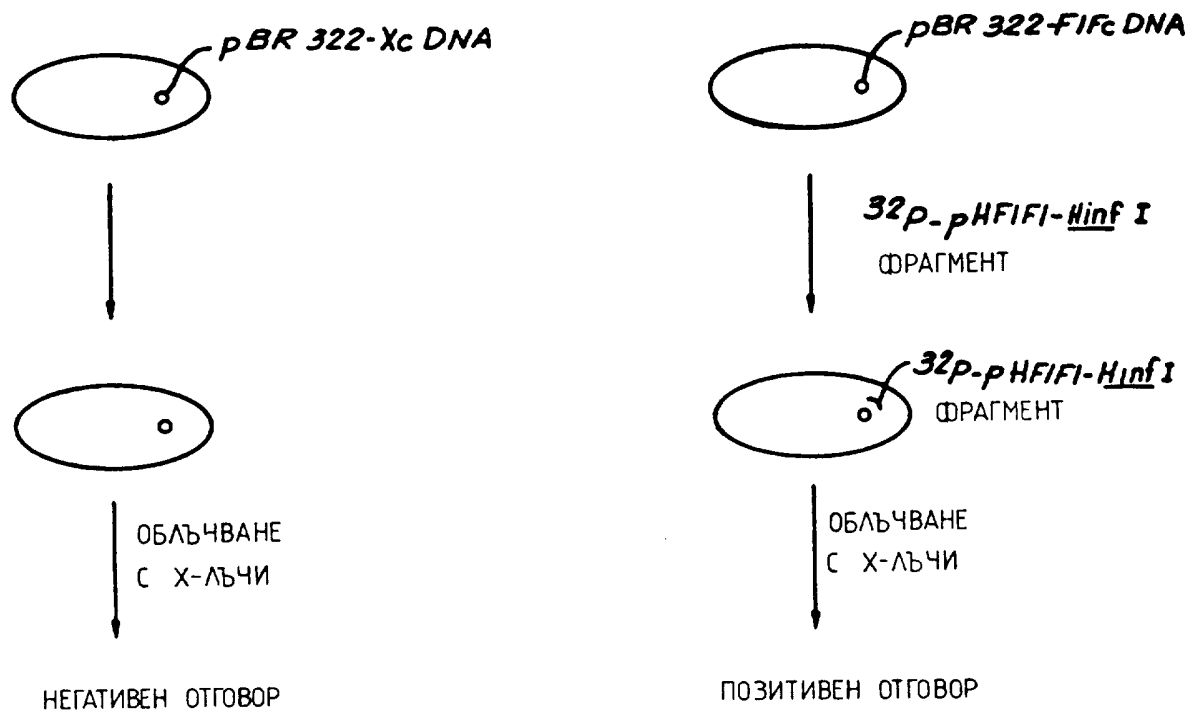
*FIG. 1*



*FIG. 2*

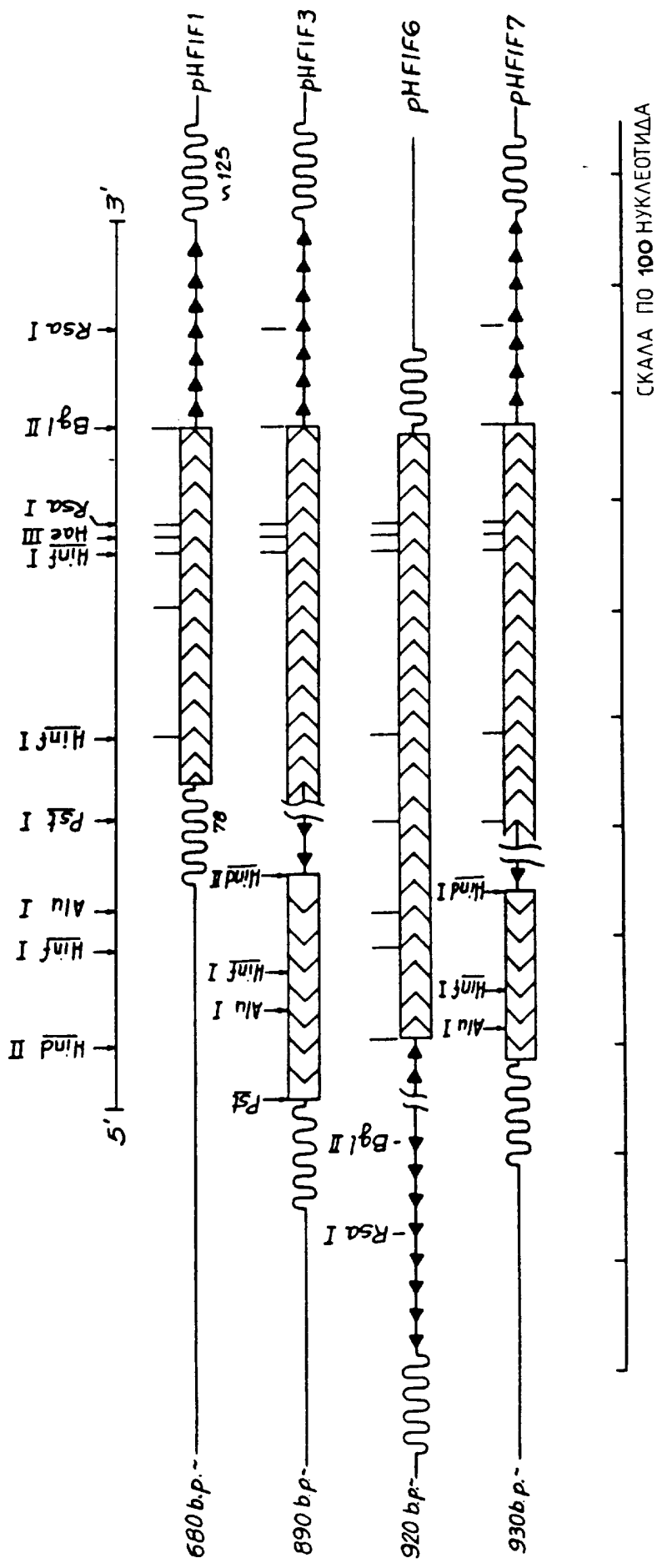


*FIG. 3*



GCAA CCTTTCGAAG CCTTTGCTC 66CACAAACAG GTAGTAGGCC ACACTGTTCG TGTGTTGAC ATG, ACC, AAC, AAG, TGT, CTC, CTC, CAA, ATT, GCT, CTC, CTG, 100  
 -20 MET-Thr-Asn-Lys-Cys-Leu-Leu-Gln-Ile-Ala-Leu-Leu-  
 LEU-Cys-Phe-Ser-Thr-Ala-Leu-Ser-Met-Ser-Tyr-Asn-<sup>-1</sup>Leu-<sup>+1</sup>Leu-Gly-Phe-Leu-Gln-Arg-Ser-Ser-Asn-Phe-Gln-Cys-Gln-Lys-Leu-Leu-  
 TTG, TGC, TCC, ACT, ACA, GCT, CTT, TCC, ATG, AGC, TAC, AAC, TTG, CTT, GGA, TTC, CTA, CAA, AGA, AGC, AGC, AAT, TTT, CAG, TGT, CAG, AAG, CTC, CTG, 190  
 10  
 TRP-Gln-Leu-Asn-Gly-Arg-Leu-Glu-Tyr-Cys-Leu-Lys-Asp-Arg-Met-Asn-Phe-Asp-Ile-Pro-Glu-Glu-Ile-Lys-Gln-Leu-Gln-Phe-Gln-  
 TGG, CAA, TTG, AAT, GGG, AGG, CTT, GAA, TAC, TGC, CTC, AAG, GAC, AGG, ATG, AAC, TTT, GAC, ATC, CCT, GAG, GAG, ATT, AAG, CAG, CTG, CAG, CAG, TTC, CAG, 280  
 20  
 Lys-Glu-Asp-Ala-Ala-Leu-Thr-Ile-Tyr-Glu-Met-Leu-Gln-Asn-Ile-Phe-Ala-Ile-Phe-Arg-Gln-Asp-Ser-Ser-Ser-Thr-Gly-Trp-Asn-Glu-  
 AAG, GAG, GAC, GCC, GCA, TTG, ACC, ATC, TAT, GAG, ATG, CTC, CAG, AAC, ATC, ATT, TTC, GCT, ATT, TTG, CAA, GAT, TCA, TCT, AGC, ACT, GGC, TGG, AAT, GAG, 370  
 30  
 Thr-Ile-Val-Glu-Ala-Asn-Val-Tyr-His-Gln-Ile-Asn-His-Leu-Lys-Thr-Val-Leu-Glu-Glu-Lys-Glu-Lys-Glu-Asp-Phe-  
 ACT, ATT, GTT, GAG, AAC, CTC, CTC, GCT, GTC, TAT, CAT, CAG, ATA, AAC, CAT, GTC, GTC, GAA, GAA, AAA, CTG, GAG, AAA, GAA, GAT, TTC, 460  
 40  
 40  
 50  
 60  
 70  
 80  
 90  
 100  
 110  
 120  
 130  
 140  
 150  
 160  
 170  
 180  
 190  
 200  
 210  
 220  
 230  
 240  
 250  
 260  
 270  
 280  
 290  
 300  
 310  
 320  
 330  
 340  
 350  
 360  
 370  
 380  
 390  
 400  
 410  
 420  
 430  
 440  
 450  
 460  
 470  
 480  
 490  
 500  
 510  
 520  
 530  
 540  
 550  
 560  
 570  
 580  
 590  
 600  
 610  
 620  
 630  
 640  
 650  
 660  
 670  
 680  
 690  
 700  
 710  
 720  
 730  
 740  
 750  
 760  
 770  
 780  
 790  
 800  
 810  
 820  
 830  
 840  
 850  
 860  
 870  
 880  
 890  
 900  
 910  
 920  
 930  
 940  
 950  
 960  
 970  
 980  
 990  
 1000  
 1010  
 1020  
 1030  
 1040  
 1050  
 1060  
 1070  
 1080  
 1090  
 1100  
 1110  
 1120  
 1130  
 1140  
 1150  
 1160  
 1170  
 1180  
 1190  
 1200  
 1210  
 1220  
 1230  
 1240  
 1250  
 1260  
 1270  
 1280  
 1290  
 1300  
 1310  
 1320  
 1330  
 1340  
 1350  
 1360  
 1370  
 1380  
 1390  
 1400  
 1410  
 1420  
 1430  
 1440  
 1450  
 1460  
 1470  
 1480  
 1490  
 1500  
 1510  
 1520  
 1530  
 1540  
 1550  
 1560  
 1570  
 1580  
 1590  
 1600  
 1610  
 1620  
 1630  
 1640  
 1650  
 1660  
 1670  
 1680  
 1690  
 1700  
 1710  
 1720  
 1730  
 1740  
 1750  
 1760  
 1770  
 1780  
 1790  
 1800  
 1810  
 1820  
 1830  
 1840  
 1850  
 1860  
 1870  
 1880  
 1890  
 1900  
 1910  
 1920  
 1930  
 1940  
 1950  
 1960  
 1970  
 1980  
 1990  
 2000  
 2010  
 2020  
 2030  
 2040  
 2050  
 2060  
 2070  
 2080  
 2090  
 2100  
 2110  
 2120  
 2130  
 2140  
 2150  
 2160  
 2170  
 2180  
 2190  
 2200  
 2210  
 2220  
 2230  
 2240  
 2250  
 2260  
 2270  
 2280  
 2290  
 2300  
 2310  
 2320  
 2330  
 2340  
 2350  
 2360  
 2370  
 2380  
 2390  
 2400  
 2410  
 2420  
 2430  
 2440  
 2450  
 2460  
 2470  
 2480  
 2490  
 2500  
 2510  
 2520  
 2530  
 2540  
 2550  
 2560  
 2570  
 2580  
 2590  
 2600  
 2610  
 2620  
 2630  
 2640  
 2650  
 2660  
 2670  
 2680  
 2690  
 2700  
 2710  
 2720  
 2730  
 2740  
 2750  
 2760  
 2770  
 2780  
 2790  
 2800  
 2810  
 2820  
 2830  
 2840  
 2850  
 2860  
 2870  
 2880  
 2890  
 2900  
 2910  
 2920  
 2930  
 2940  
 2950  
 2960  
 2970  
 2980  
 2990  
 3000  
 3010  
 3020  
 3030  
 3040  
 3050  
 3060  
 3070  
 3080  
 3090  
 3100  
 3110  
 3120  
 3130  
 3140  
 3150  
 3160  
 3170  
 3180  
 3190  
 3200  
 3210  
 3220  
 3230  
 3240  
 3250  
 3260  
 3270  
 3280  
 3290  
 3300  
 3310  
 3320  
 3330  
 3340  
 3350  
 3360  
 3370  
 3380  
 3390  
 3400  
 3410  
 3420  
 3430  
 3440  
 3450  
 3460  
 3470  
 3480  
 3490  
 3500  
 3510  
 3520  
 3530  
 3540  
 3550  
 3560  
 3570  
 3580  
 3590  
 3600  
 3610  
 3620  
 3630  
 3640  
 3650  
 3660  
 3670  
 3680  
 3690  
 3700  
 3710  
 3720  
 3730  
 3740  
 3750  
 3760  
 3770  
 3780  
 3790  
 3800  
 3810  
 3820  
 3830  
 3840  
 3850  
 3860  
 3870  
 3880  
 3890  
 3900  
 3910  
 3920  
 3930  
 3940  
 3950  
 3960  
 3970  
 3980  
 3990  
 4000  
 4010  
 4020  
 4030  
 4040  
 4050  
 4060  
 4070  
 4080  
 4090  
 4100  
 4110  
 4120  
 4130  
 4140  
 4150  
 4160  
 4170  
 4180  
 4190  
 4200  
 4210  
 4220  
 4230  
 4240  
 4250  
 4260  
 4270  
 4280  
 4290  
 4300  
 4310  
 4320  
 4330  
 4340  
 4350  
 4360  
 4370  
 4380  
 4390  
 4400  
 4410  
 4420  
 4430  
 4440  
 4450  
 4460  
 4470  
 4480  
 4490  
 4500  
 4510  
 4520  
 4530  
 4540  
 4550  
 4560  
 4570  
 4580  
 4590  
 4600  
 4610  
 4620  
 4630  
 4640  
 4650  
 4660  
 4670  
 4680  
 4690  
 4700  
 4710  
 4720  
 4730  
 4740  
 4750  
 4760  
 4770  
 4780  
 4790  
 4800  
 4810  
 4820  
 4830  
 4840  
 4850  
 4860  
 4870  
 4880  
 4890  
 4900  
 4910  
 4920  
 4930  
 4940  
 4950  
 4960  
 4970  
 4980  
 4990  
 5000  
 5010  
 5020  
 5030  
 5040  
 5050  
 5060  
 5070  
 5080  
 5090  
 5100  
 5110  
 5120  
 5130  
 5140  
 5150  
 5160  
 5170  
 5180  
 5190  
 5200  
 5210  
 5220  
 5230  
 5240  
 5250  
 5260  
 5270  
 5280  
 5290  
 5300  
 5310  
 5320  
 5330  
 5340  
 5350  
 5360  
 5370  
 5380  
 5390  
 5400  
 5410  
 5420  
 5430  
 5440  
 5450  
 5460  
 5470  
 5480  
 5490  
 5500  
 5510  
 5520  
 5530  
 5540  
 5550  
 5560  
 5570  
 5580  
 5590  
 5600  
 5610  
 5620  
 5630  
 5640  
 5650  
 5660  
 5670  
 5680  
 5690  
 5700  
 5710  
 5720  
 5730  
 5740  
 5750  
 5760  
 5770  
 5780  
 5790  
 5800  
 5810  
 5820  
 5830  
 5840  
 5850  
 5860  
 5870  
 5880  
 5890  
 5900  
 5910  
 5920  
 5930  
 5940  
 5950  
 5960  
 5970  
 5980  
 5990  
 6000  
 6010  
 6020  
 6030  
 6040  
 6050  
 6060  
 6070  
 6080  
 6090  
 6100  
 6110  
 6120  
 6130  
 6140  
 6150  
 6160  
 6170  
 6180  
 6190  
 6200  
 6210  
 6220  
 6230  
 6240  
 6250  
 6260  
 6270  
 6280  
 6290  
 6300  
 6310  
 6320  
 6330  
 6340  
 6350  
 6360  
 6370  
 6380  
 6390  
 6400  
 6410  
 6420  
 6430  
 6440  
 6450  
 6460  
 6470  
 6480  
 6490  
 6500  
 6510  
 6520  
 6530  
 6540  
 6550  
 6560  
 6570  
 6580  
 6590  
 6600  
 6610  
 6620  
 6630  
 6640  
 6650  
 6660  
 6670  
 6680  
 6690  
 6700  
 6710  
 6720  
 6730  
 6740  
 6750  
 6760  
 6770  
 6780  
 6790  
 6800  
 6810  
 6820  
 6830  
 6840  
 6850  
 6860  
 6870  
 6880  
 6890  
 6900  
 6910  
 6920  
 6930  
 6940  
 6950  
 6960  
 6970  
 6980  
 6990  
 7000  
 7010  
 7020  
 7030  
 7040  
 7050  
 7060  
 7070  
 7080  
 7090  
 7010  
 7020  
 7030  
 7040  
 7050  
 7060  
 7070  
 7080  
 7090  
 7100  
 7110  
 7120  
 7130  
 7140  
 7150  
 7160  
 7170  
 7180  
 7190  
 7200  
 7210  
 7220  
 7230  
 7240  
 7250  
 7260  
 7270  
 7280  
 7290  
 7300  
 7310  
 7320  
 7330  
 7340  
 7350  
 7360  
 7370  
 7380  
 7390  
 7400  
 7410  
 7420  
 7430  
 7440  
 7450  
 7460  
 7470  
 7480  
 7490  
 7500  
 7510  
 7520  
 7530  
 7540  
 7550  
 7560  
 7570  
 7580  
 7590  
 7600  
 7610  
 7620  
 7630  
 7640  
 7650  
 7660  
 7670  
 7680  
 7690  
 7700  
 7710  
 7720  
 7730  
 7740  
 7750  
 7760  
 7770  
 7780  
 7790  
 7710  
 7720  
 7730  
 7740  
 7750  
 7760  
 7770  
 7780  
 7790  
 7800  
 7810  
 7820  
 7830  
 7840  
 7850  
 7860  
 7870  
 7880  
 7890  
 7810  
 7820  
 7830  
 7840  
 7850  
 7860  
 7870  
 7880  
 7890  
 7900  
 7910  
 7920  
 7930  
 7940  
 7950  
 7960  
 7970  
 7980  
 7990  
 8000  
 8010  
 8020  
 8030  
 8040  
 8050  
 8060  
 8070  
 8080  
 8090  
 8010  
 8020  
 8030  
 8040  
 8050  
 8060  
 8070  
 8080  
 8090  
 8100  
 8110  
 8120  
 8130  
 8140  
 8150  
 8160  
 8170  
 8180  
 8190  
 8110  
 8120  
 8130  
 8140  
 8150  
 8160  
 8170  
 8180  
 8190  
 8200  
 8210  
 8220  
 8230  
 8240  
 8250  
 8260  
 8270  
 8280  
 8290  
 8210  
 8220  
 8230  
 8240  
 8250  
 8260  
 8270  
 8280  
 8290  
 8300  
 8310  
 8320  
 8330  
 8340  
 8350  
 8360  
 8370  
 8380  
 8390  
 8310  
 8320  
 8330  
 8340  
 8350  
 8360  
 8370  
 8380  
 8390  
 8400  
 8410  
 8420  
 8430  
 8440  
 8450  
 8460  
 8470  
 8480  
 8490  
 8410  
 8420  
 8430  
 8440  
 8450  
 8460  
 8470  
 8480  
 8490  
 8500  
 8510  
 8520  
 8530  
 8540  
 8550  
 8560  
 8570  
 8580  
 8590  
 8510  
 8520  
 8530  
 8540  
 8550  
 8560  
 8570  
 8580  
 8590  
 8600  
 8610  
 8620  
 8630  
 8640  
 8650  
 8660  
 8670  
 8680  
 8690  
 8610  
 8620  
 8630  
 8640  
 8650  
 8660  
 8670  
 8680  
 8690  
 8700  
 8710  
 8720  
 8730  
 8740  
 8750  
 8760  
 8770  
 8780  
 8790  
 8710  
 8720  
 8730  
 8740  
 8750  
 8760  
 8770  
 8780  
 8790  
 8800  
 8810  
 8820  
 8830  
 8840  
 8850  
 8860  
 8870  
 8880  
 8890  
 8810  
 8820  
 8830  
 8840  
 8850  
 8860  
 8870  
 8880  
 8890  
 8900  
 8910  
 8920  
 8930  
 8940  
 8950  
 8960  
 8970  
 8980  
 8990  
 9000  
 9010  
 9020  
 9030  
 9040  
 9050  
 9060  
 9070  
 9080  
 9090  
 9010  
 9020  
 9030  
 9040  
 9050  
 9060  
 9070  
 9080  
 9090  
 9100  
 9110  
 9120  
 9130  
 9140  
 9150  
 9160  
 9170  
 9180  
 9190  
 9110  
 9120  
 9130  
 9140  
 9150  
 9160  
 9170  
 9180  
 9190  
 9200  
 9210  
 9220  
 9230  
 9240  
 9250  
 9260  
 9270  
 9280  
 9290  
 9210  
 9220  
 9230  
 9240  
 9250  
 9260  
 9270  
 9280  
 9290  
 9300  
 9310  
 9320  
 9330  
 9340  
 9350  
 9360  
 9370  
 9380  
 9390  
 9310  
 9320  
 9330  
 9340  
 9350  
 9360  
 9370  
 9380  
 9390  
 9400  
 9410  
 9420  
 9430  
 9440  
 9450  
 9460  
 9470  
 9480  
 9490  
 9410  
 9420  
 9430  
 9440  
 9450  
 9460  
 9470  
 9480  
 9490  
 9500  
 9510  
 9520  
 9530  
 9540  
 9550  
 9560  
 9570  
 9580  
 9590  
 9510  
 9520  
 9530  
 9540  
 9550  
 9560  
 9570  
 9580  
 9590  
 9600  
 9610  
 9620  
 9630  
 9640  
 9650  
 9660  
 9670  
 9680  
 9690  
 9610  
 9620  
 9630  
 9640  
 9650  
 9660  
 9670  
 9680  
 9690  
 9700  
 9710  
 9720  
 9730  
 9740  
 9750  
 9760  
 9770  
 9780  
 9790  
 9710  
 9720  
 9730  
 9740  
 9750  
 9760  
 9770  
 9780  
 9790  
 9800  
 9810  
 9820  
 9830  
 9840  
 9850  
 9860  
 9870  
 9880  
 9890  
 9810  
 9820  
 9830  
 9840  
 9850  
 9860  
 9870  
 9880  
 9890  
 9900  
 9910  
 9920  
 9930  
 9940  
 9950  
 9960  
 9970  
 9980  
 9990  
 9910  
 9920  
 9930  
 9940  
 9950  
 9960  
 9970  
 9980  
 9990  
 10000  
 10010  
 10020  
 10030  
 10040  
 10050  
 10060  
 10070  
 10080  
 10090  
 10010  
 10020  
 10030  
 10040  
 10050  
 10060  
 10070  
 10080  
 10090  
 10100  
 10110  
 10120  
 10130  
 10140  
 10150  
 10160  
 10170  
 10180  
 10190  
 10110  
 10120  
 10130  
 10140  
 10150  
 10160  
 10170  
 10180  
 10190  
 10200  
 10210  
 10220  
 10230  
 10240  
 10250  
 10260  
 10270  
 10280  
 10290  
 10210  
 10220  
 10230  
 10240  
 10250  
 10260  
 10270  
 10280  
 10290  
 10300  
 10310  
 10320  
 10330  
 10340  
 10350  
 10360  
 10370  
 10380  
 10390  
 10310  
 10320  
 10330  
 10340  
 10350  
 10360  
 10370  
 10380  
 10390  
 10400  
 10410  
 10420  
 10430  
 10440  
 10450  
 10460  
 10470  
 10480  
 10490  
 10410  
 10420  
 10430  
 10440  
 10450  
 10460  
 10470  
 10480  
 10490  
 10500  
 10510  
 10520  
 10530  
 10540  
 10550  
 10560  
 10570  
 10580  
 10590  
 1051

FIG. 5



АМИНОКИСЕЛИНЕН СЪСТАВ НА ЧОВЕШКИ  
ФИБРОБЛАСТЕН ИНТЕРФЕРОН

АМИНО- КИСЕЛИНА	СЪСТАВ		
	ДИРЕКТЕН АНАЛИЗ ПО	ДИРЕКТЕН АНАЛИЗ ПО	ИЗВЕДЕНА ОТ НУКЛЕОТИДНА ПОСЛЕДОВАТЕЛНОСТ
	TAN ET AL	KNIGHT ET AL	
ASP	20.6	18.9	5 17
ASN			12
THR	8.0	6.8	7
SER	11.7	10.5	9
GLU	27.5	27.0	13 24
GLN			11
PRO	4.4	2.7	1
GLY	5.4	7.8	6
ALA	9.3	10.0	6
CYS	N.D.	1.7	3
VAL	7.9	6.0	5
MET		2.9	4
ILE	10.0	9.0	11
LEU	26.9	20.4	24
TYR	3.2	7.5	10
PHE	7.7	9.4	9
HIS	4.6	4.9	5
LYS	12.3	11.6	11
ARG	8.6	10.9	11
TRP	0.0	1.0	3
ВСИЧКО:	168	169	166

FIG. 6

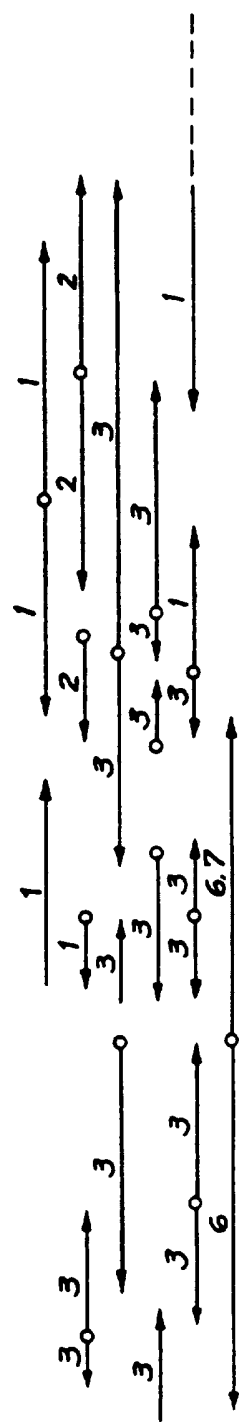
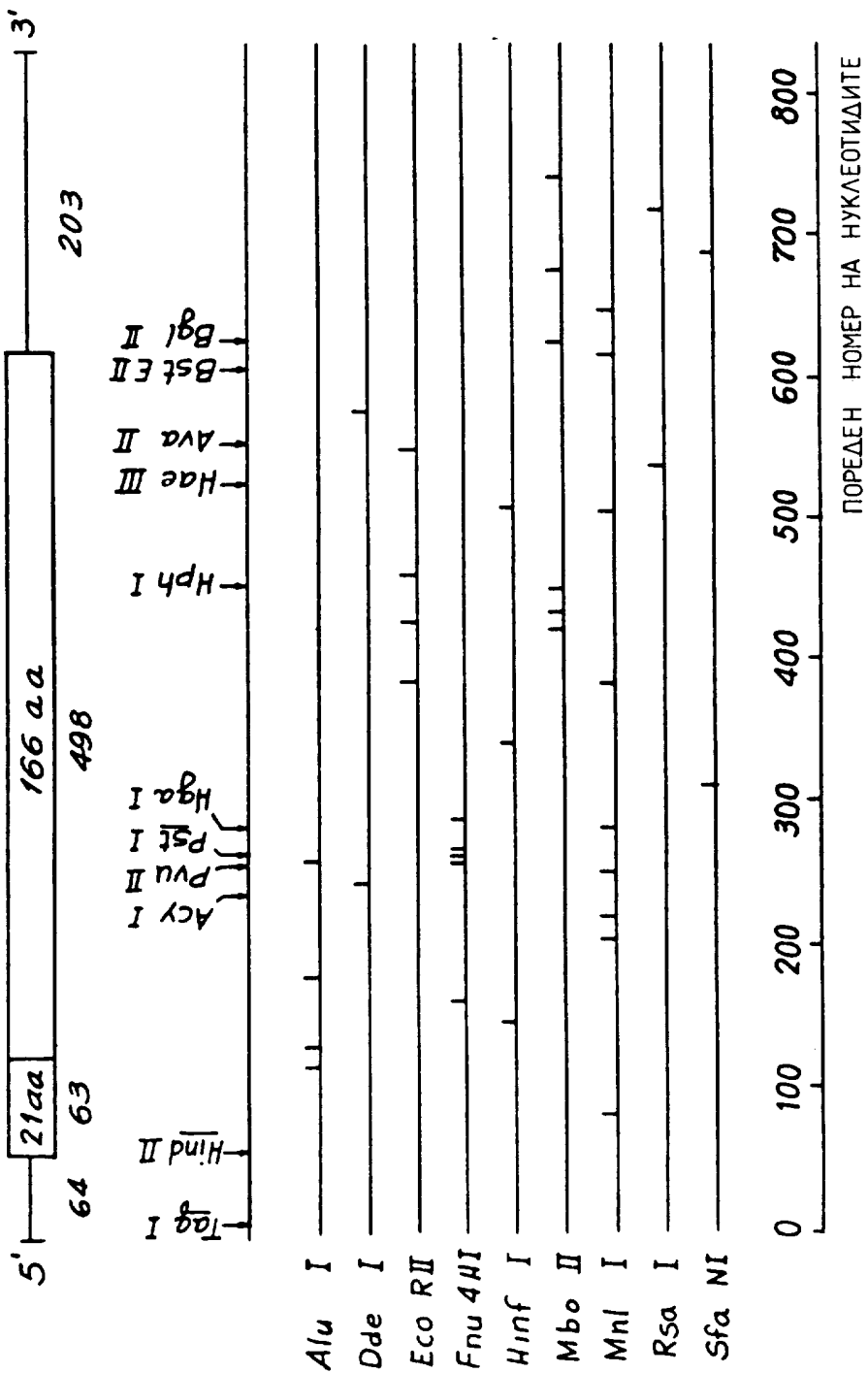


FIG. 7



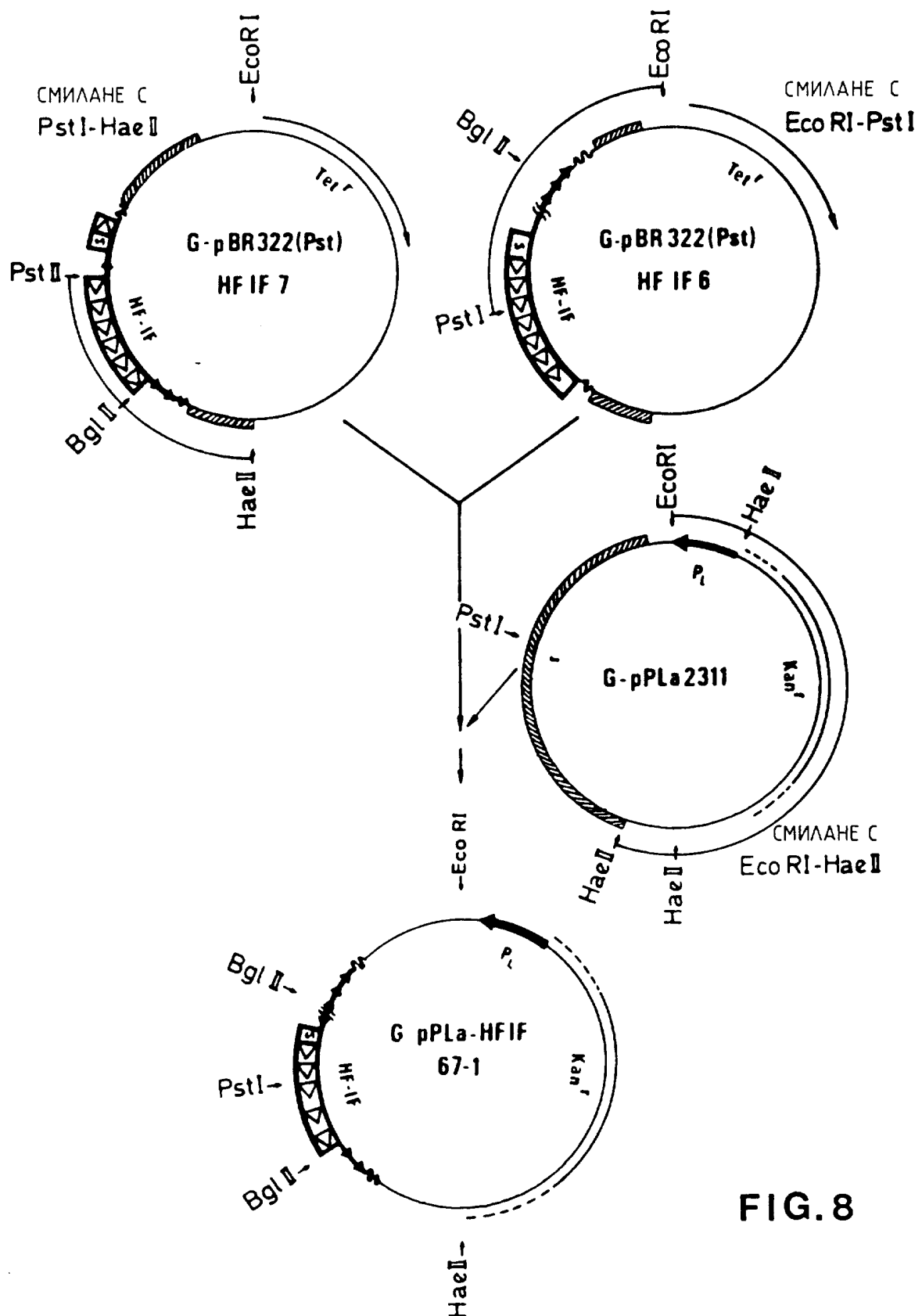


FIG. 8

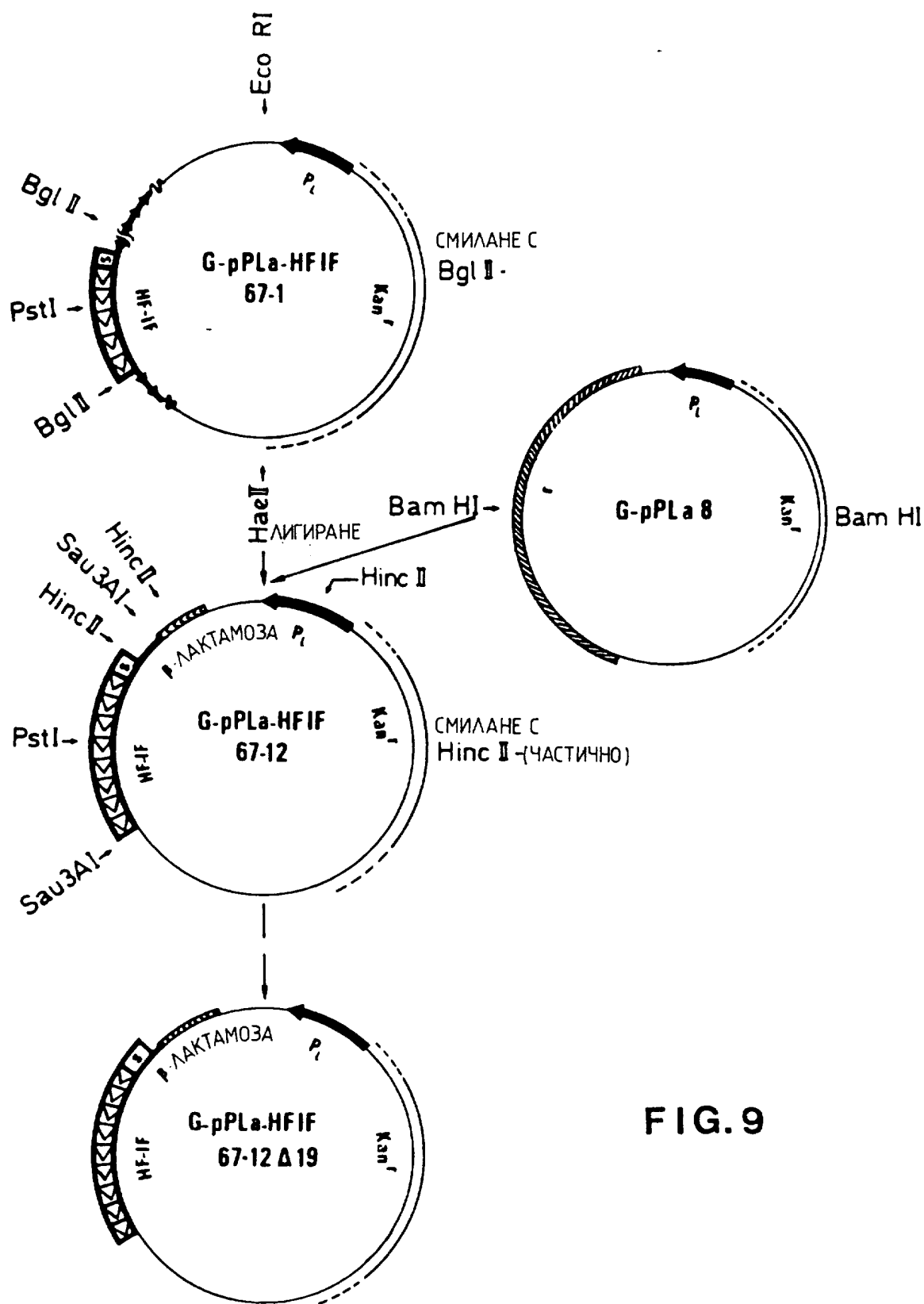


FIG. 9

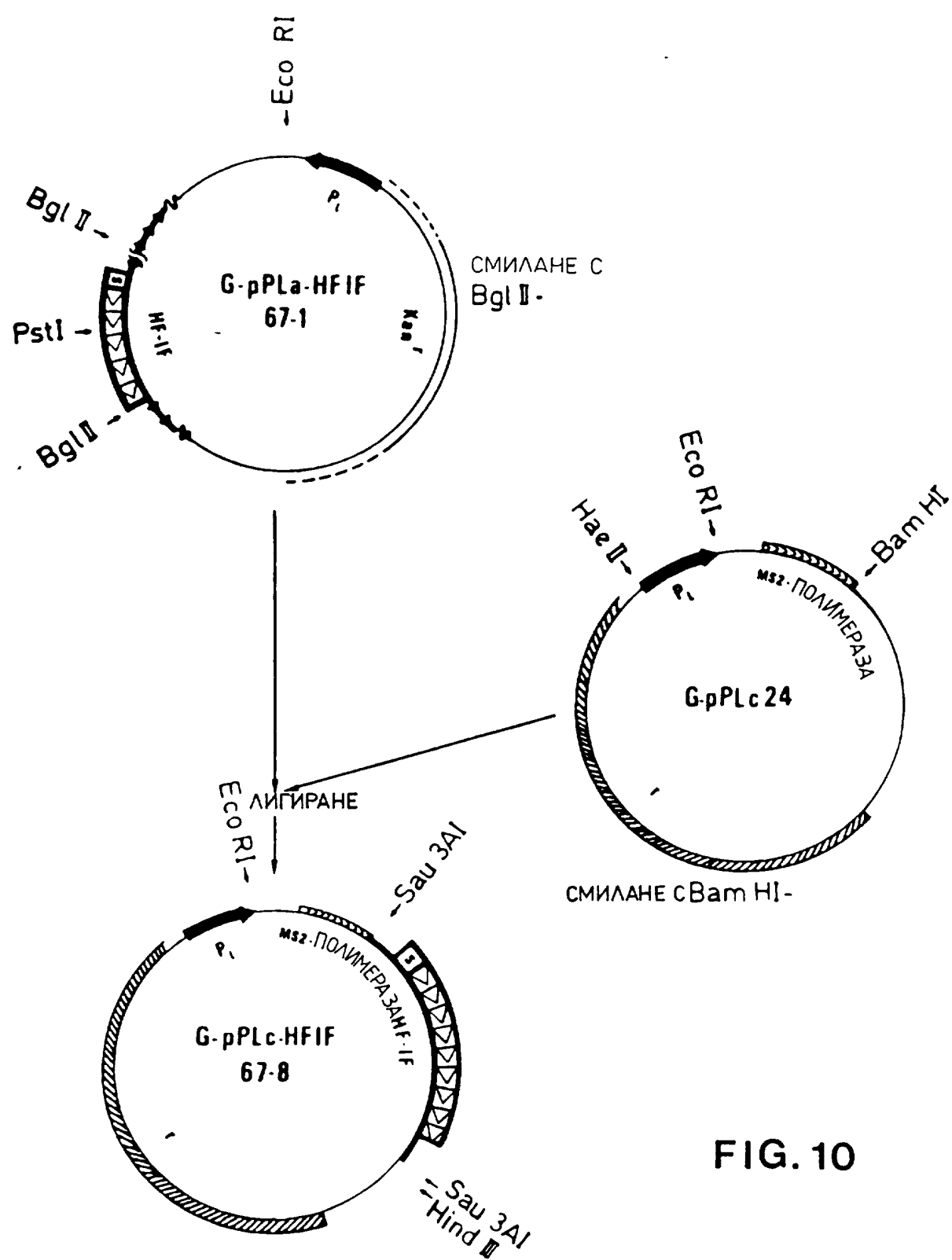
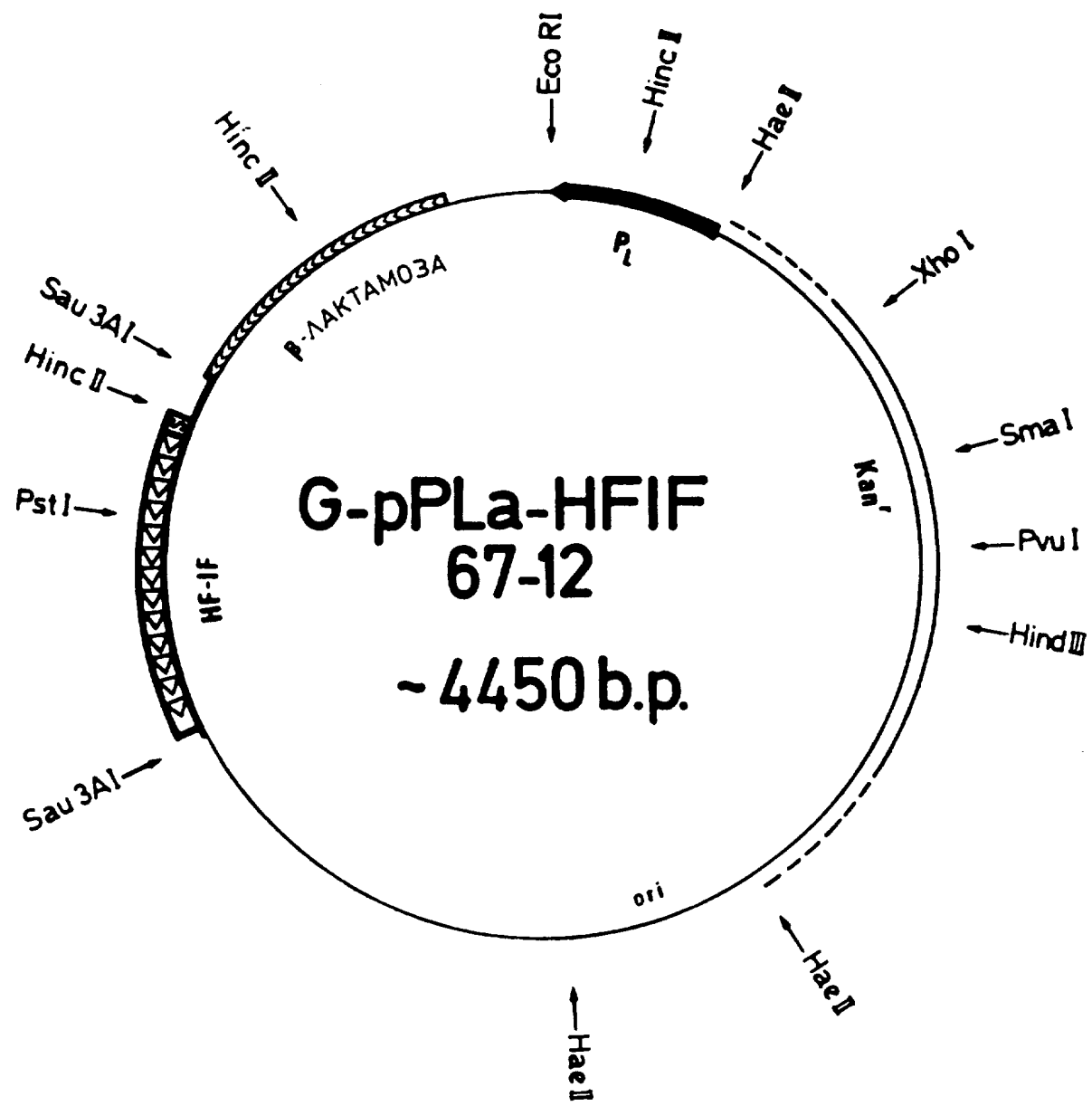
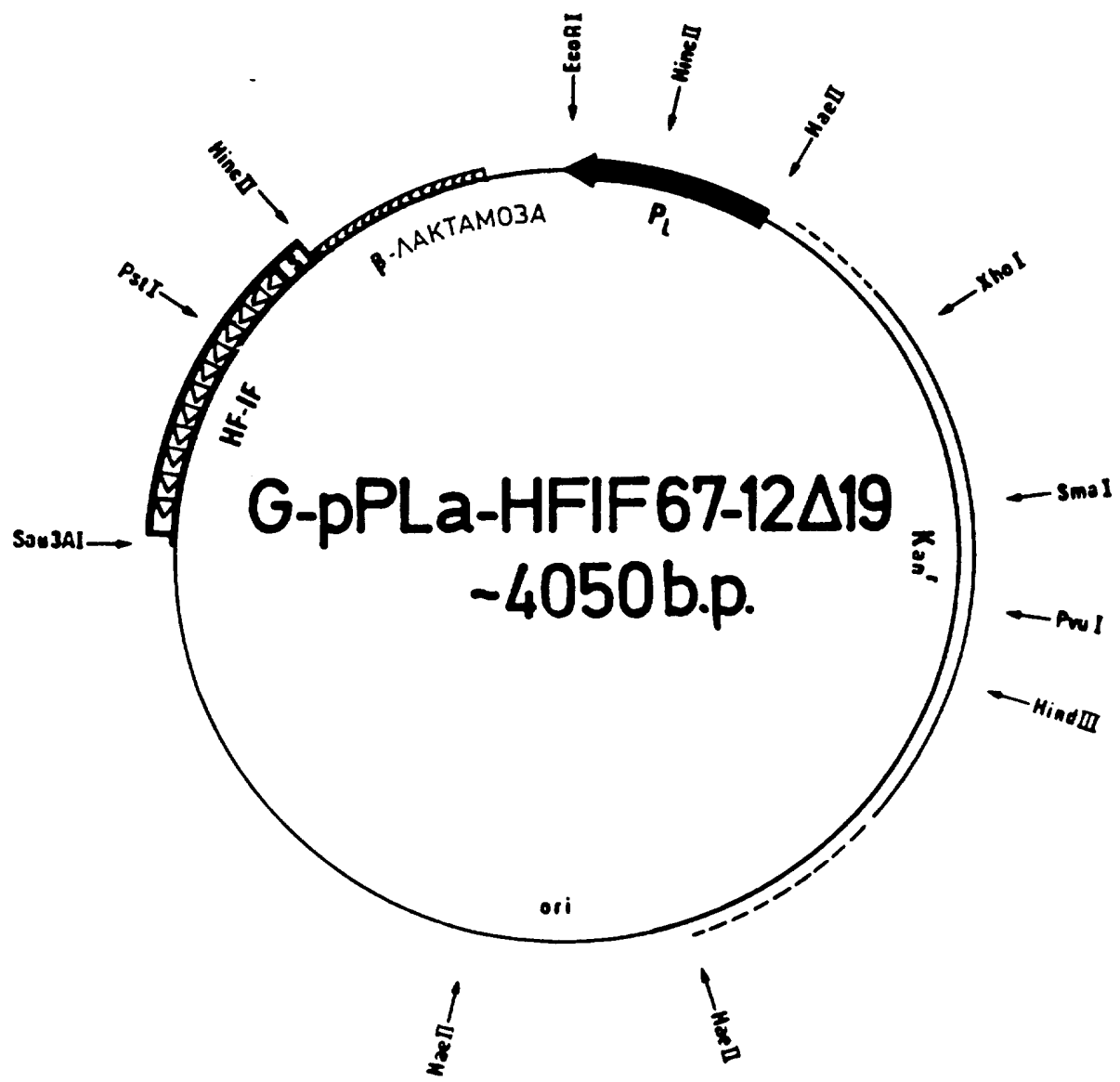


FIG. 10

**FIG. 11**



**FIG. 12**



**FIG.13**

